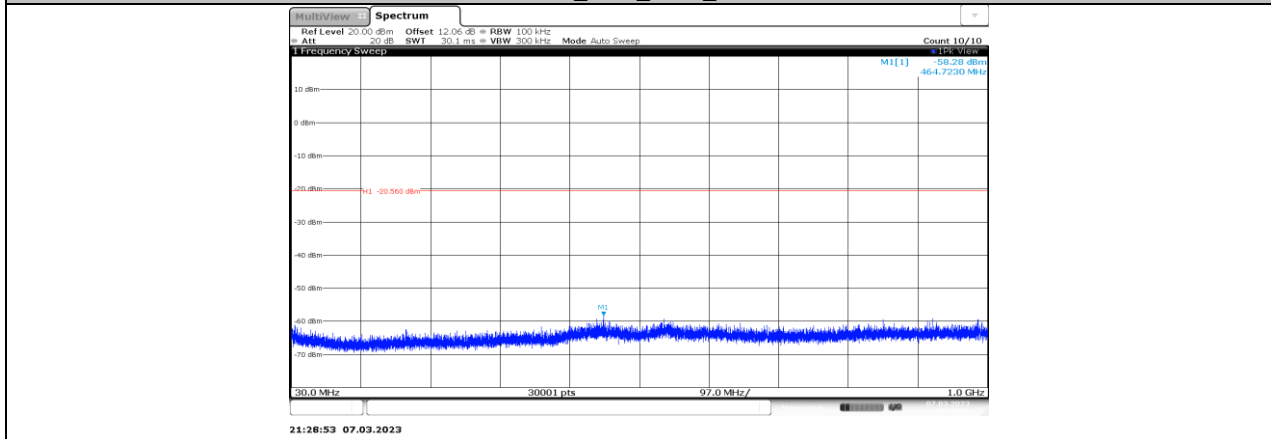
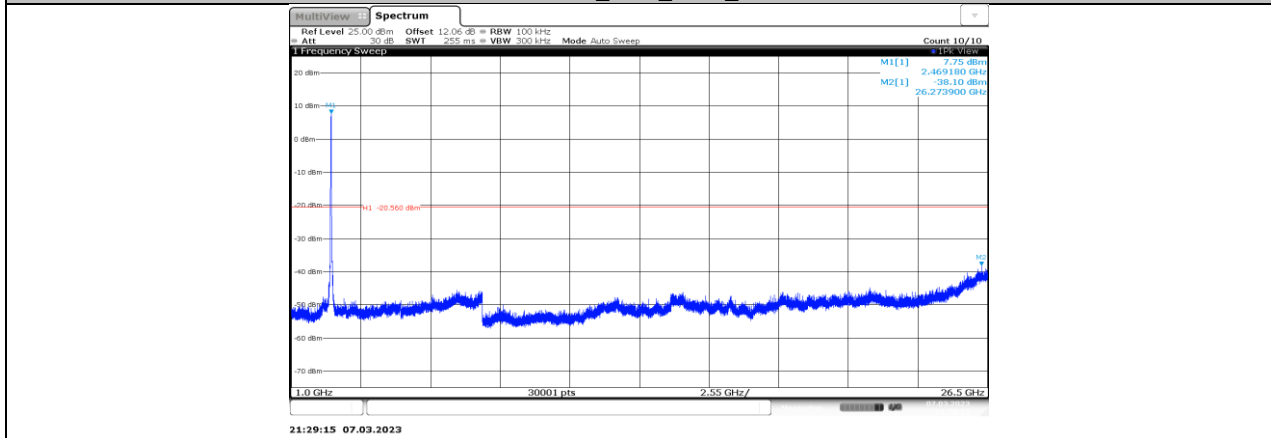


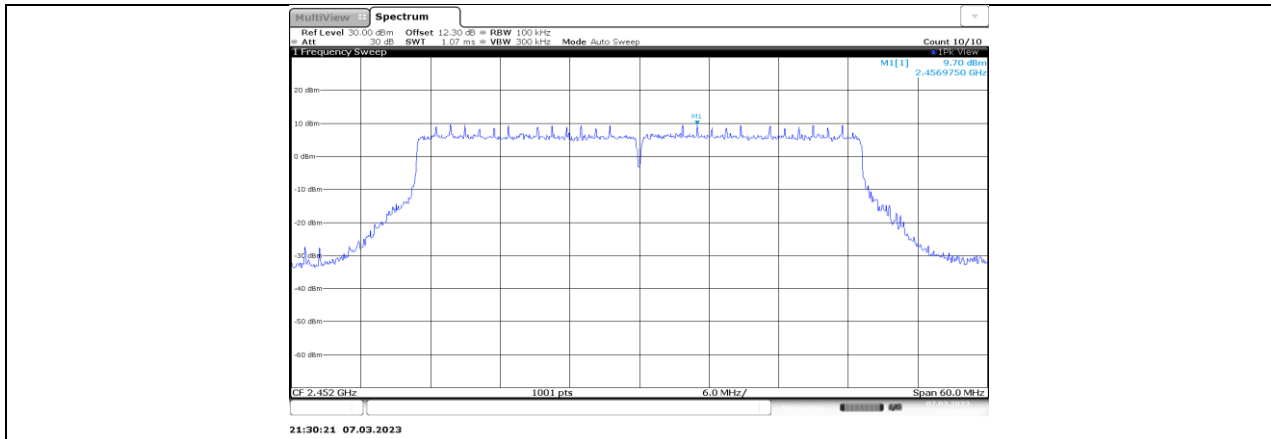
11AX40MIMO_Ant1_2452_0-Reference



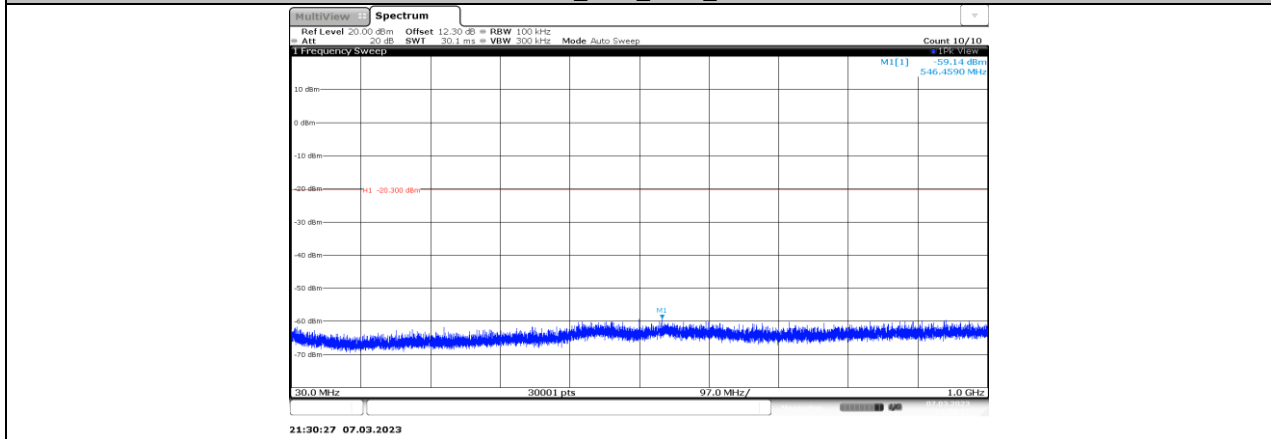
11AX40MIMO_Ant1_2452_30~1000



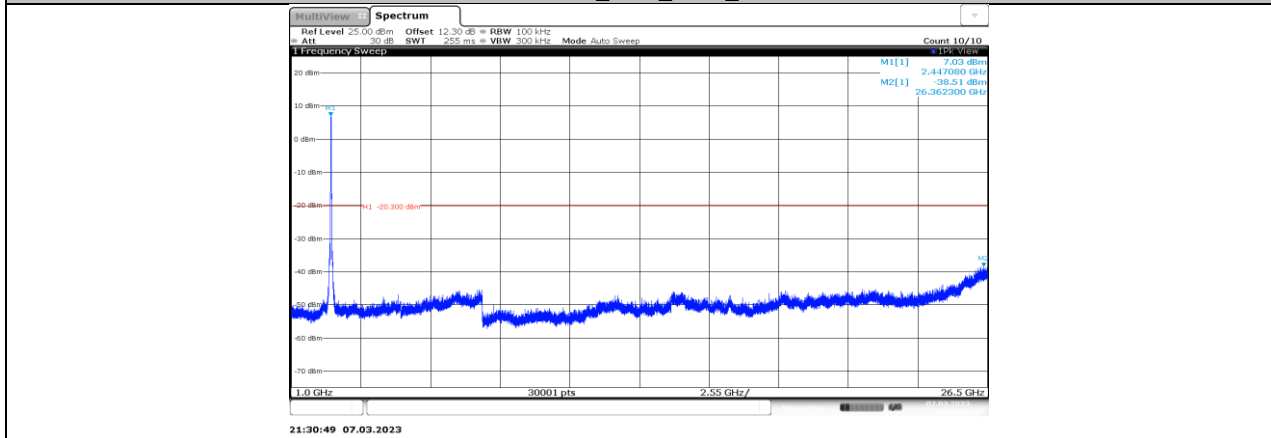
11AX40MIMO_Ant1_2452_1000~26500



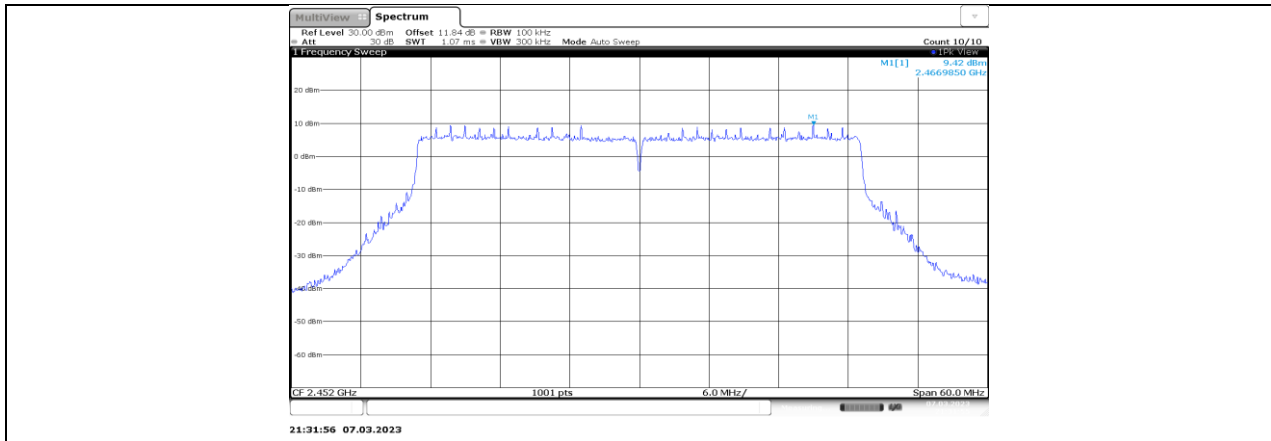
11AX40MIMO_Ant3_2452_0-Reference



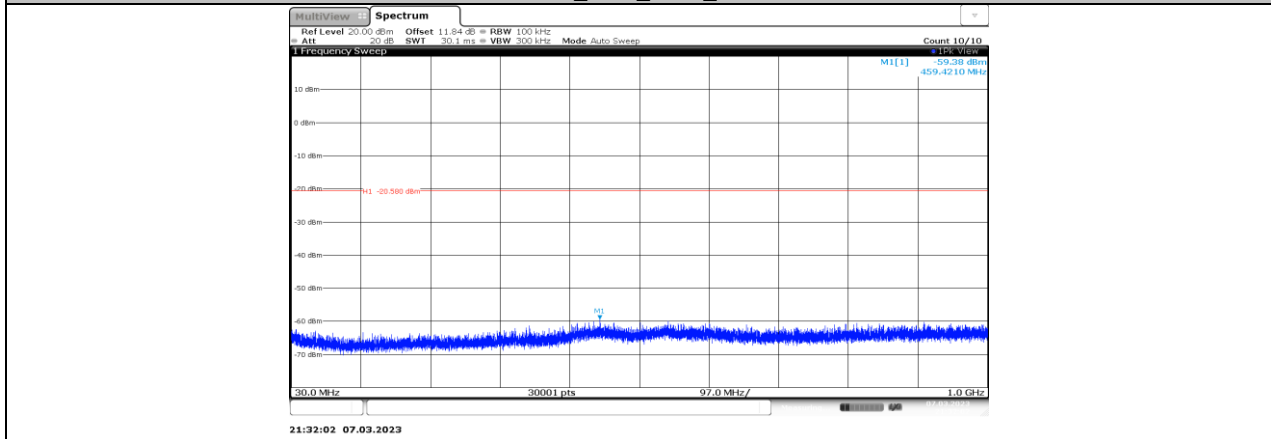
11AX40MIMO_Ant3_2452_30~1000



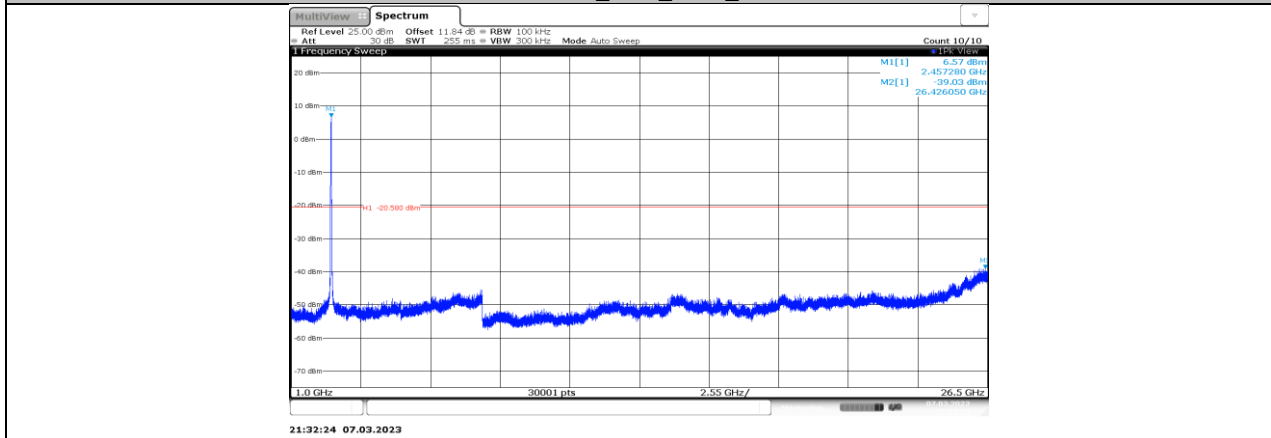
11AX40MIMO_Ant3_2452_1000~26500



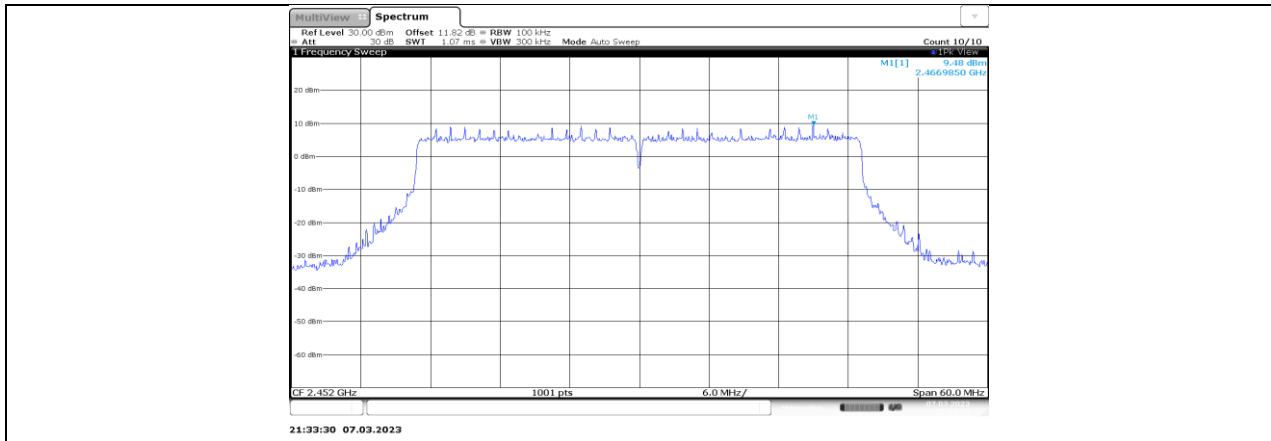
11AX40MIMO_Ant5_2452_0-Reference



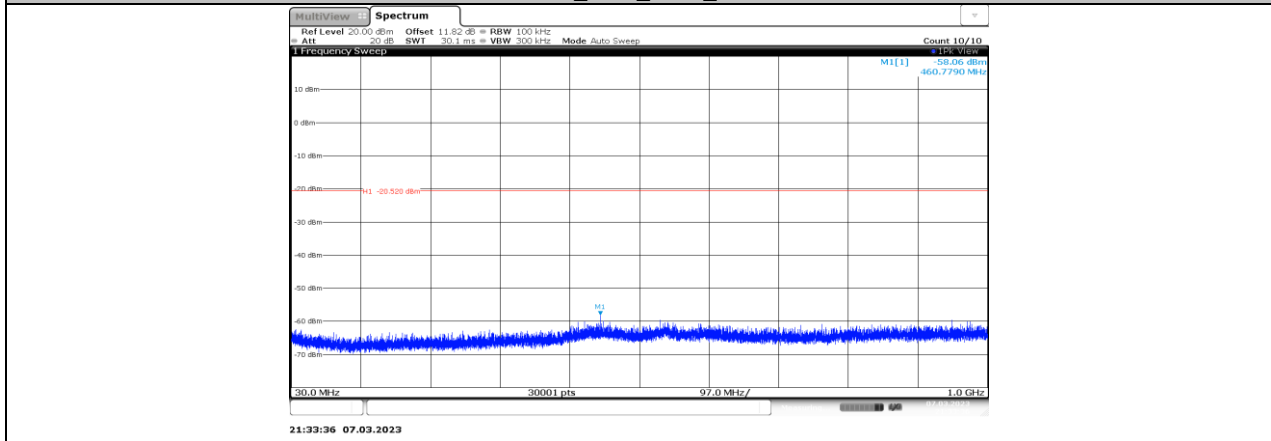
11AX40MIMO_Ant5_2452_30~1000



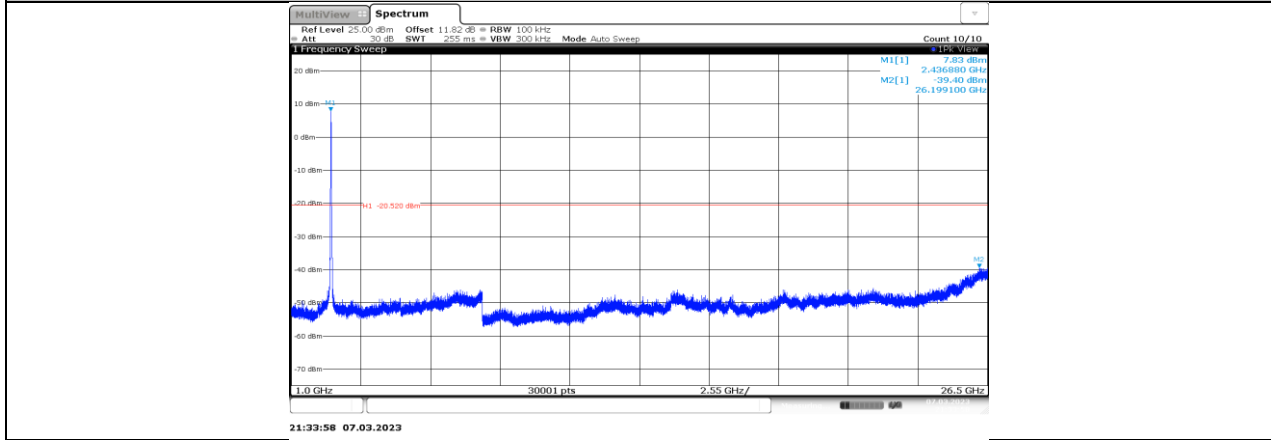
11AX40MIMO_Ant5_2452_1000~26500



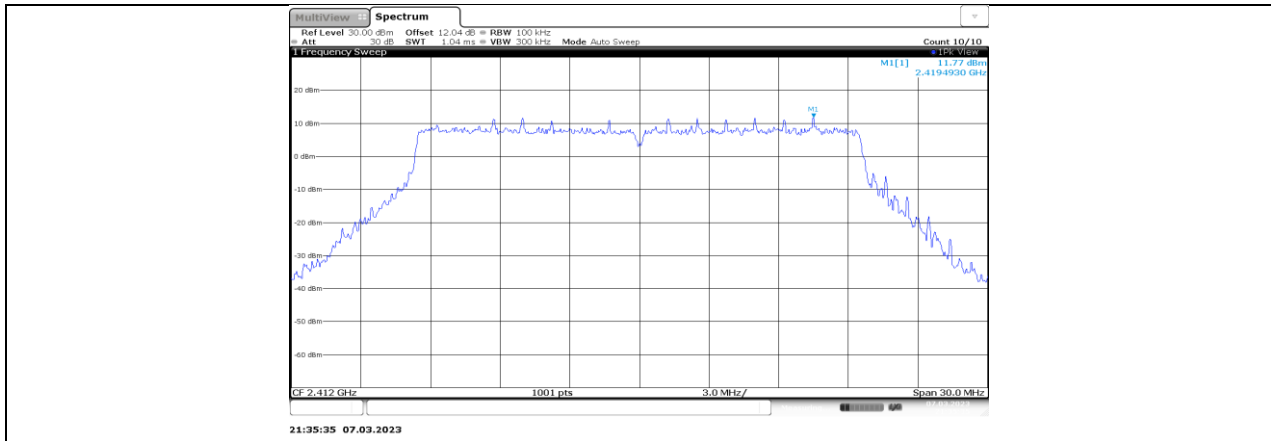
11AX40MIMO_Ant7_2452_0-Reference



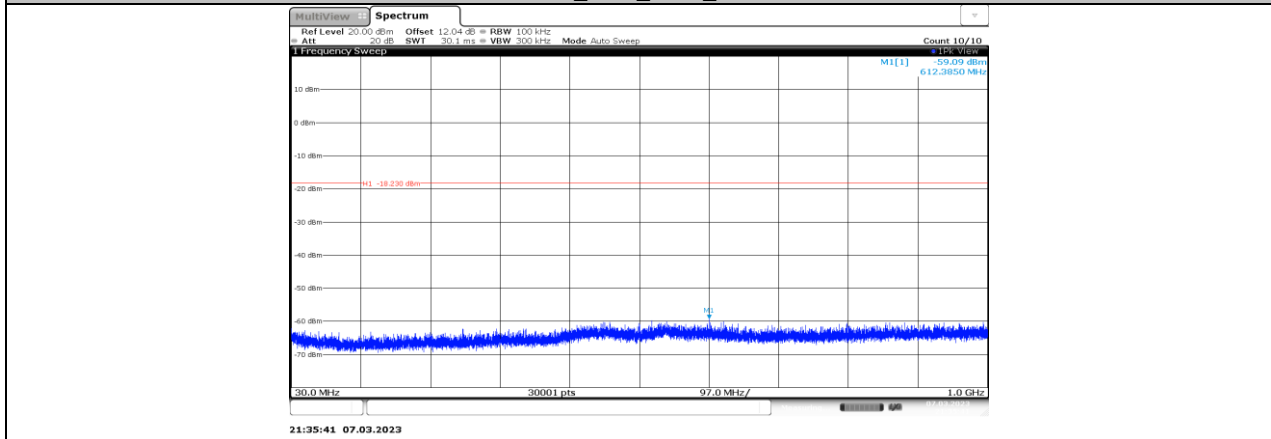
11AX40MIMO_Ant7_2452_30~1000



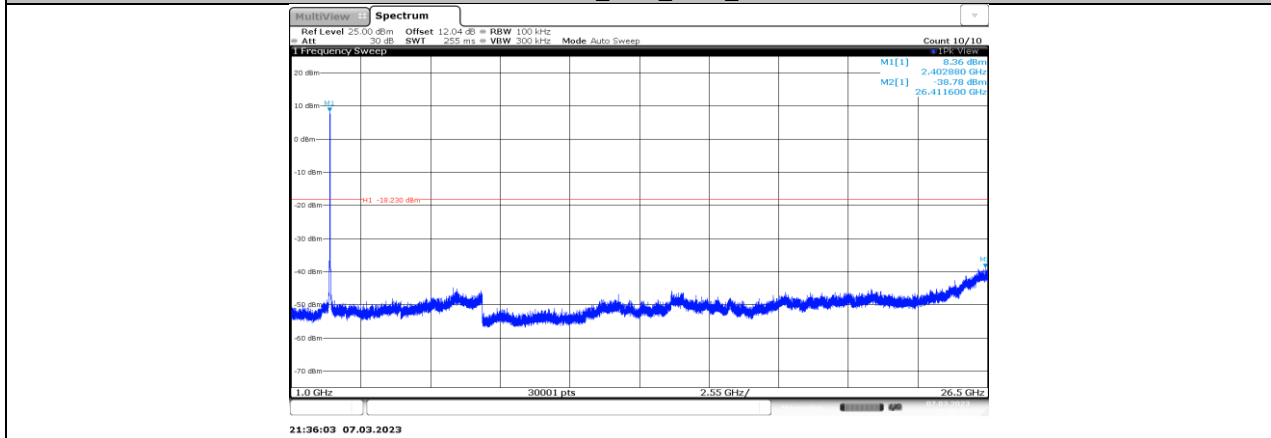
11AX40MIMO_Ant7_2452_1000~26500



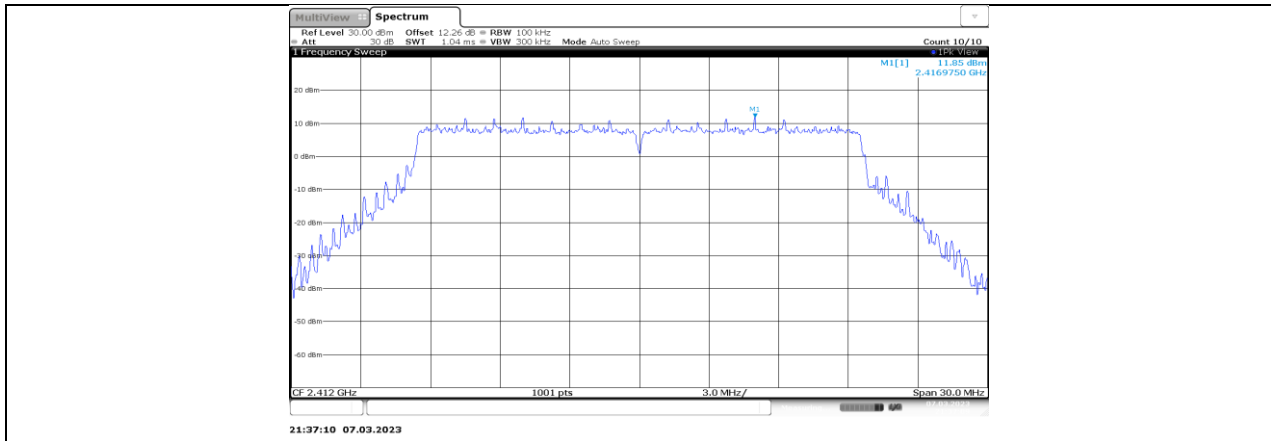
11BE20MIMO_Ant1_2412_0-Reference



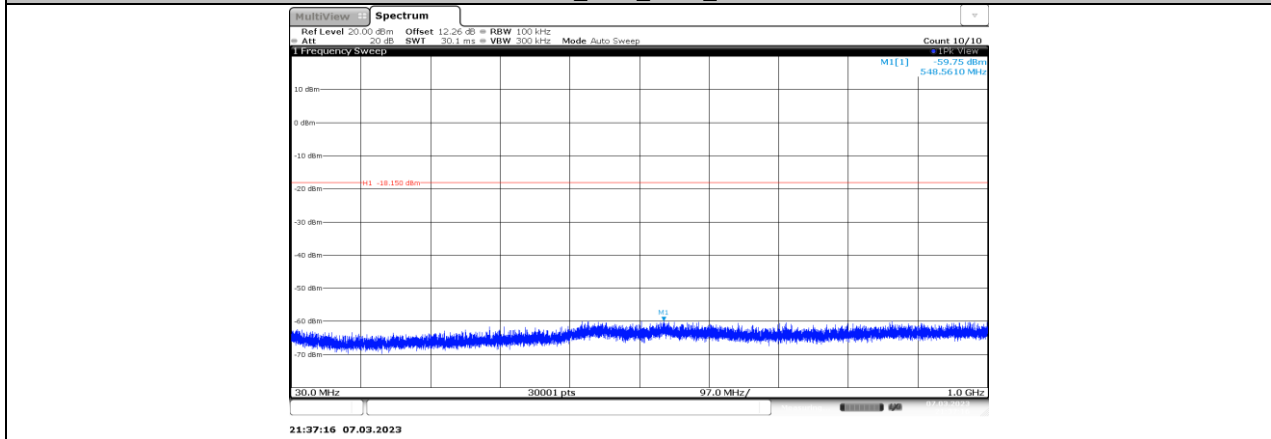
11BE20MIMO_Ant1_2412_30~1000



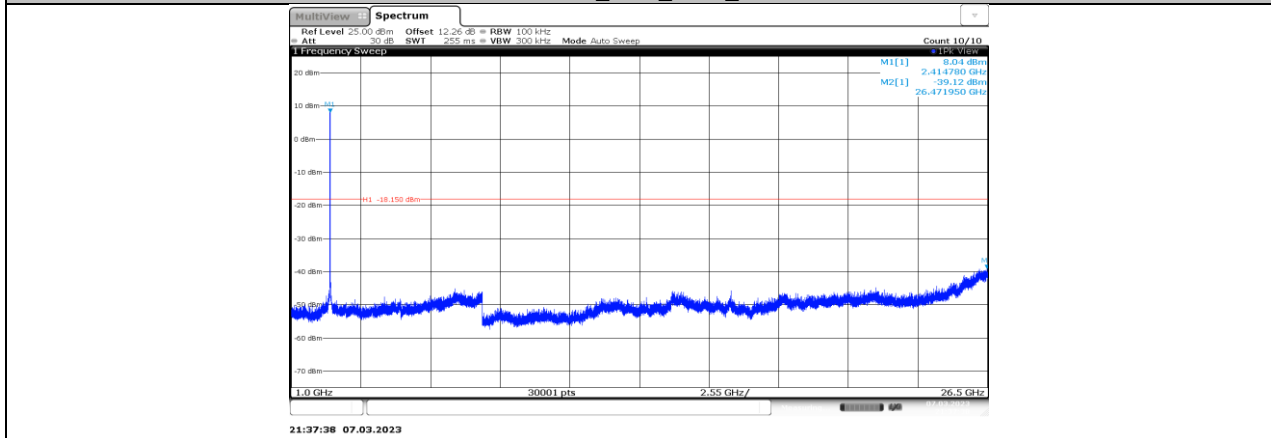
11BE20MIMO_Ant1_2412_1000~26500



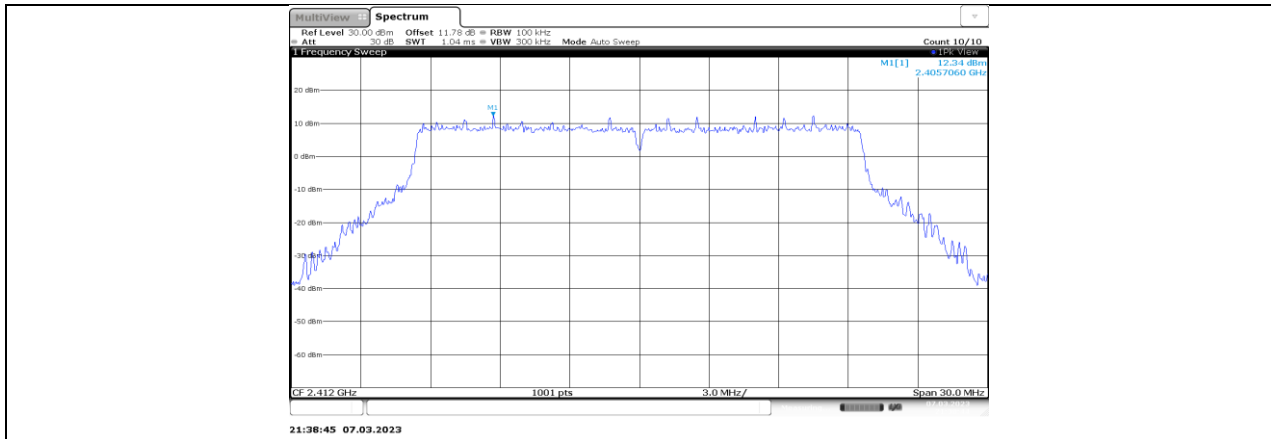
11BE20MIMO_Ant3_2412_0-Reference



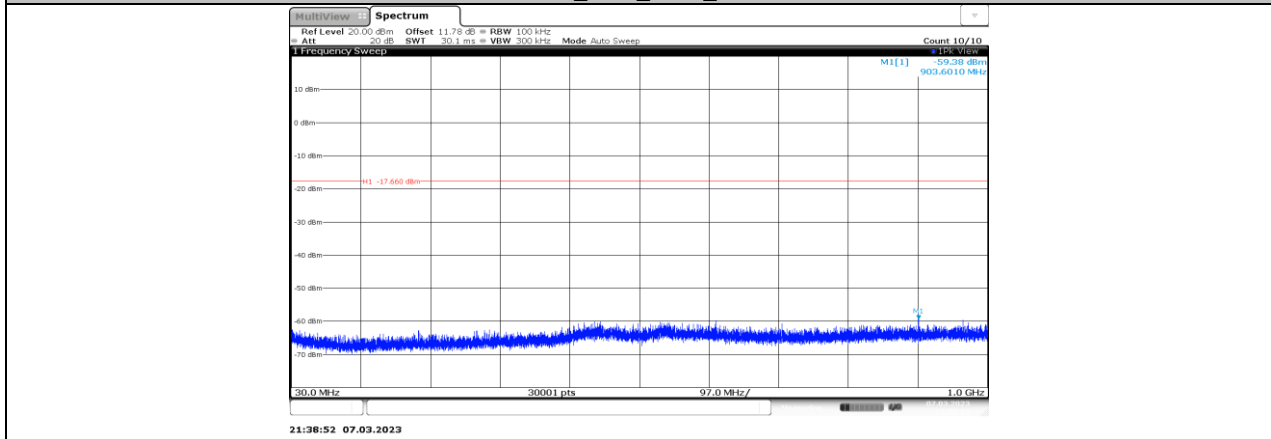
11BE20MIMO_Ant3_2412_30~1000



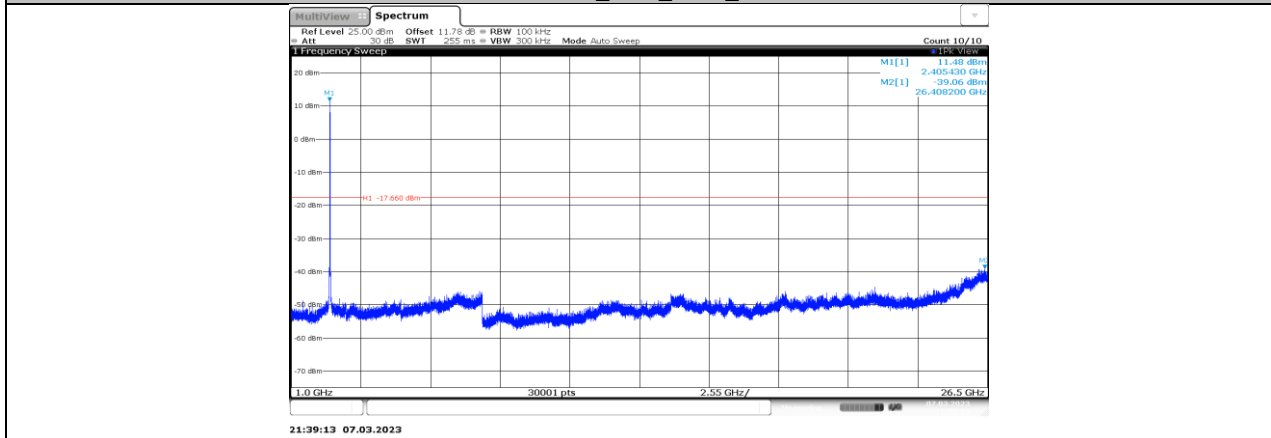
11BE20MIMO_Ant3_2412_1000~26500



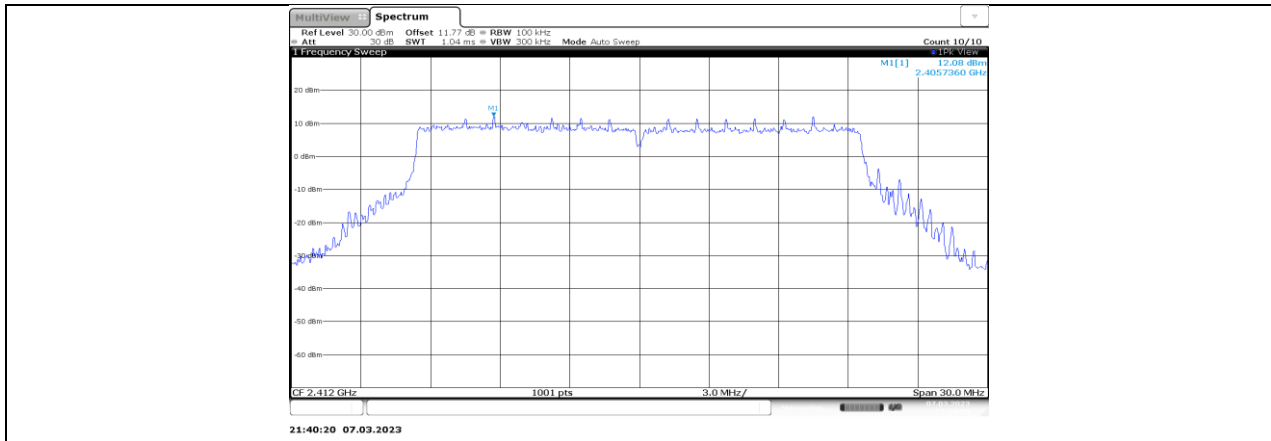
11BE20MIMO_Ant5_2412_0-Reference



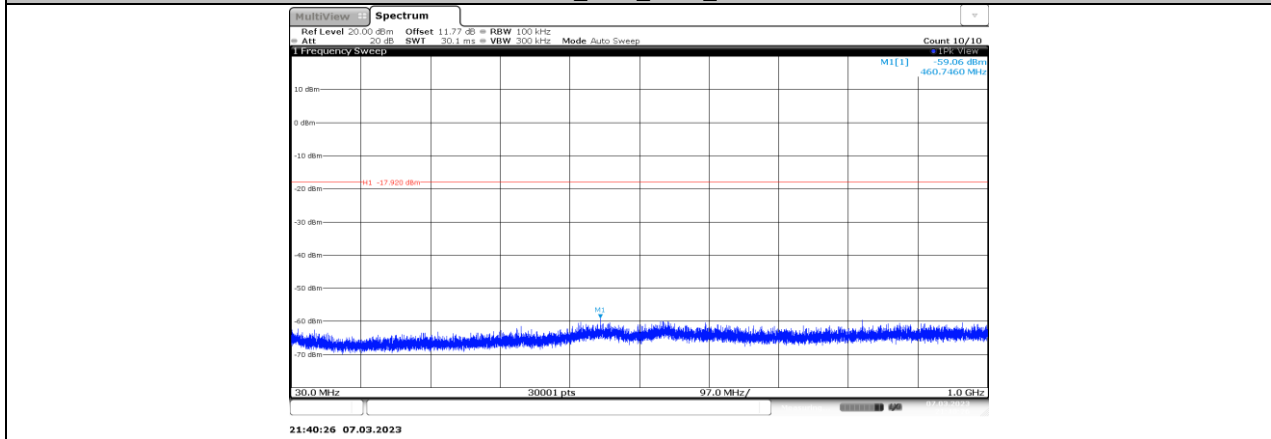
11BE20MIMO_Ant5_2412_30~1000



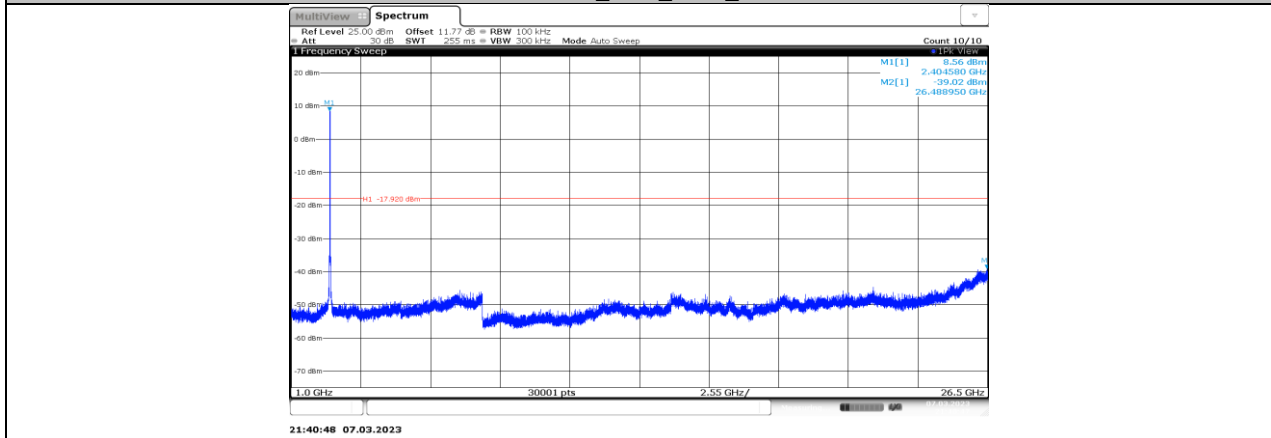
11BE20MIMO_Ant5_2412_1000~26500



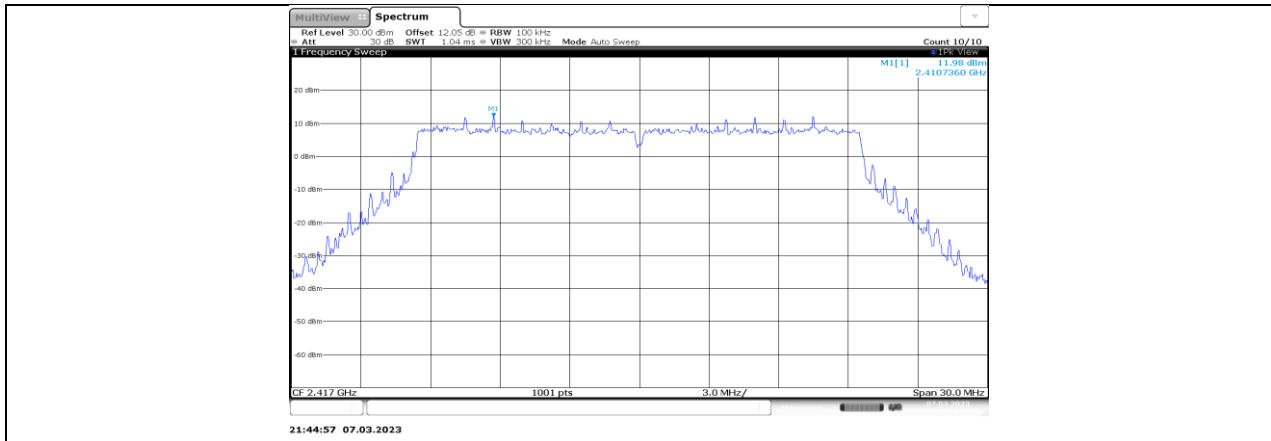
11BE20MIMO_Ant7_2412_0-Reference



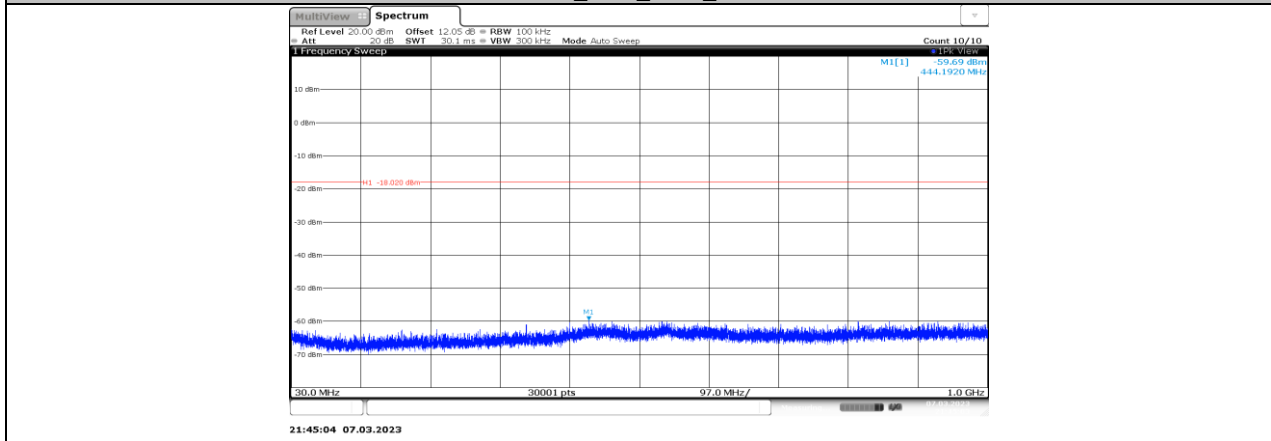
11BE20MIMO_Ant7_2412_30~1000



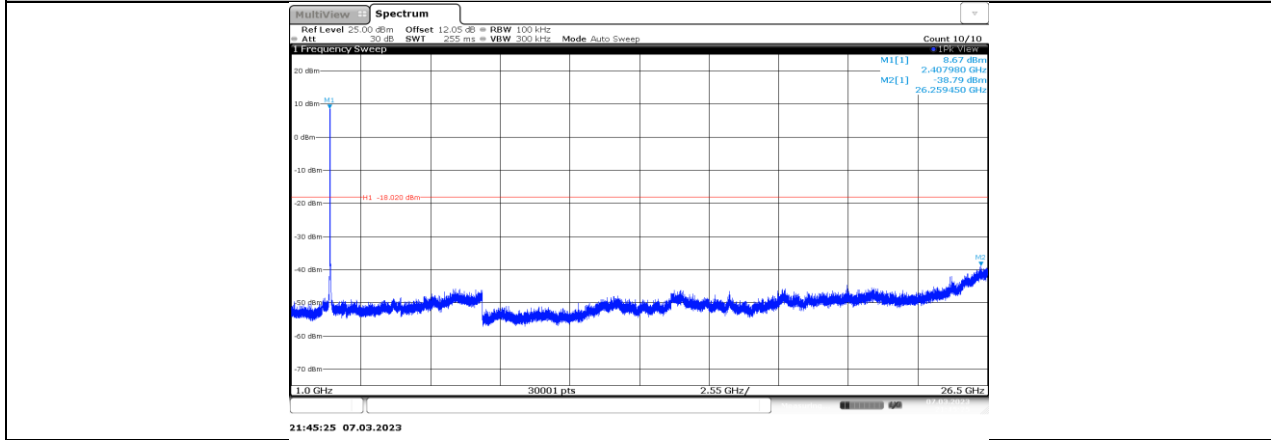
11BE20MIMO_Ant7_2412_1000~26500



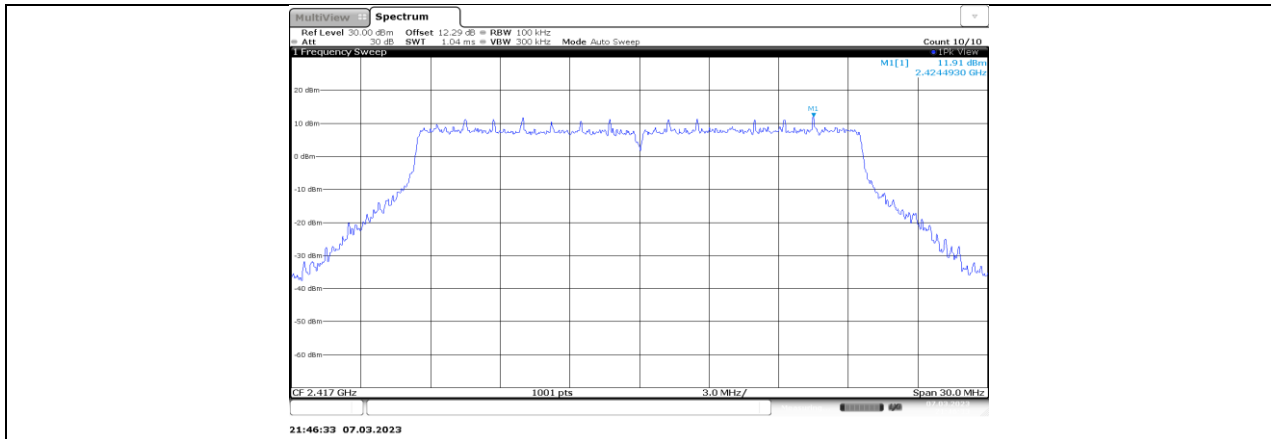
11BE20MIMO_Ant1_2417_0-Reference



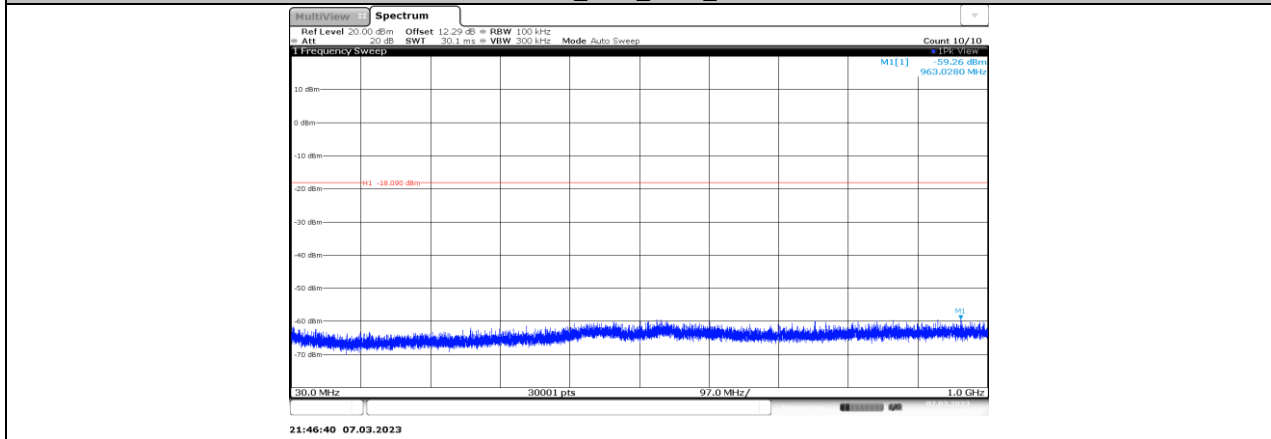
11BE20MIMO_Ant1_2417_30~1000



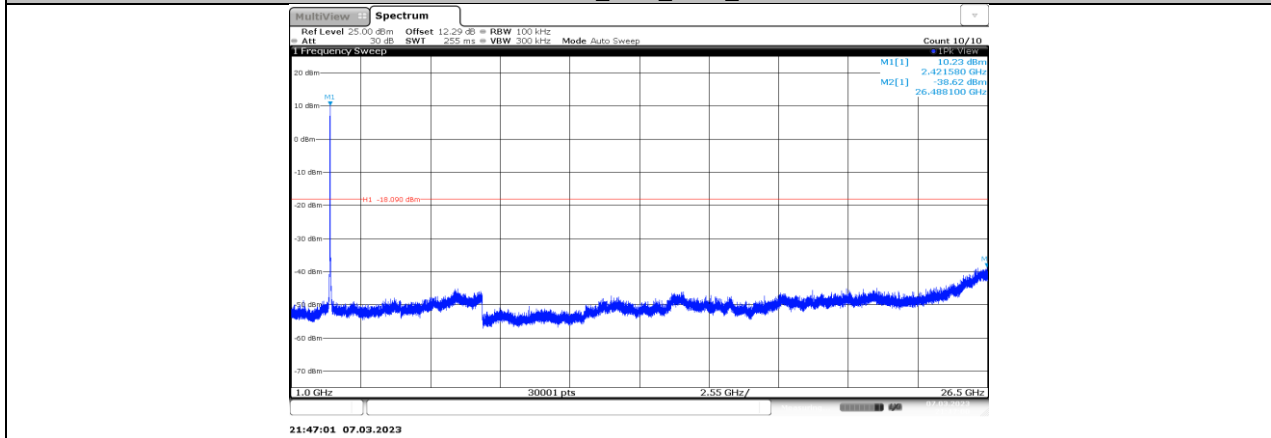
11BE20MIMO_Ant1_2417_1000~26500



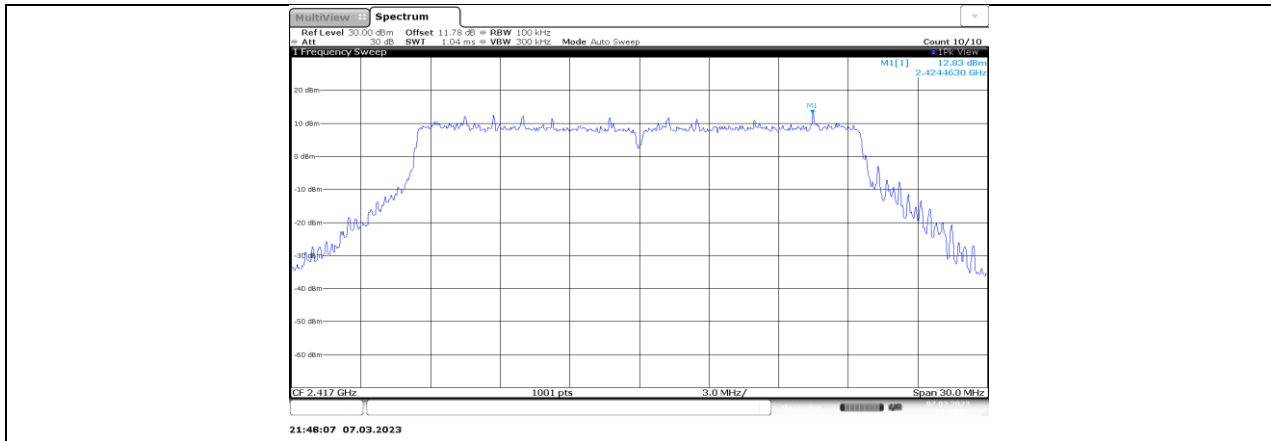
11BE20MIMO_Ant3_2417_0-Reference



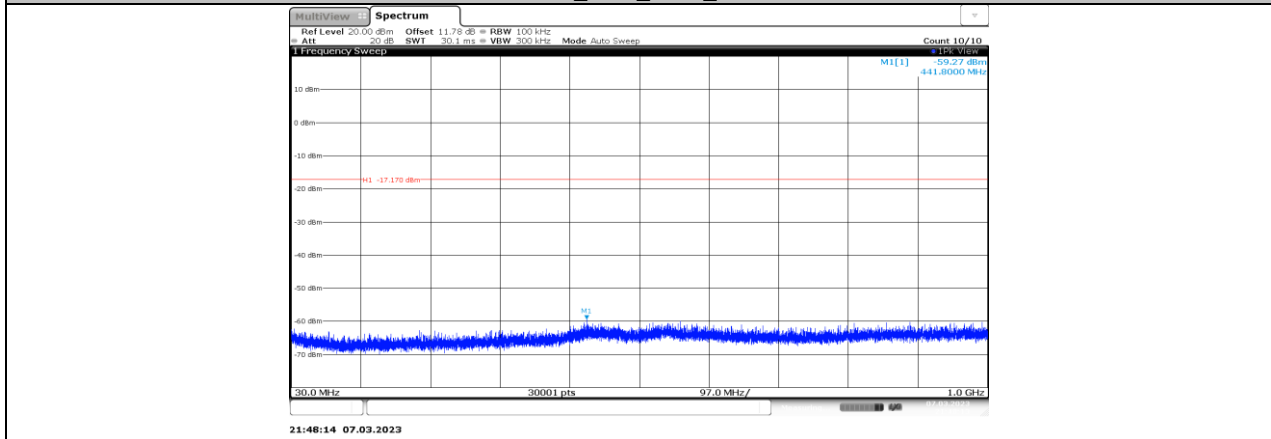
11BE20MIMO_Ant3_2417_30~1000



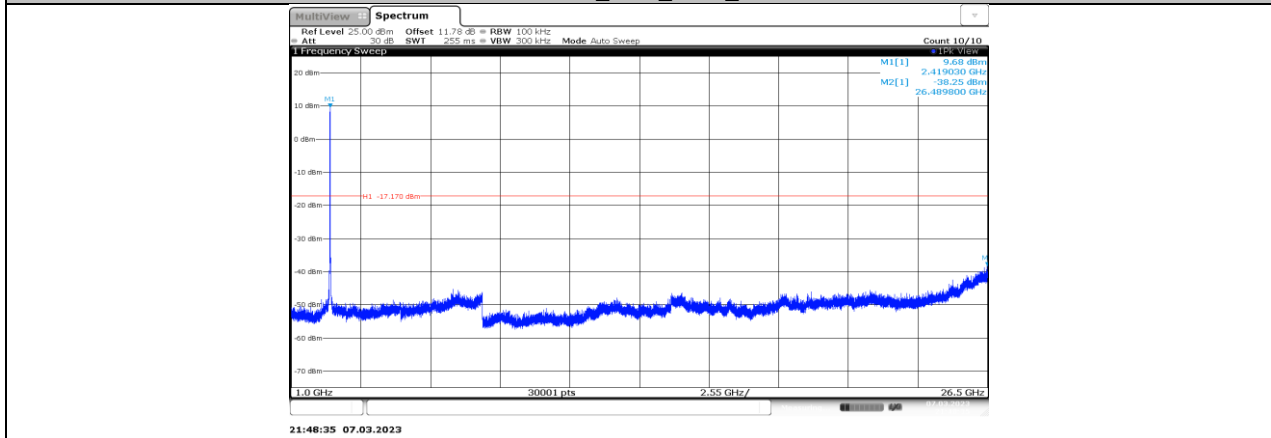
11BE20MIMO_Ant3_2417_1000~26500



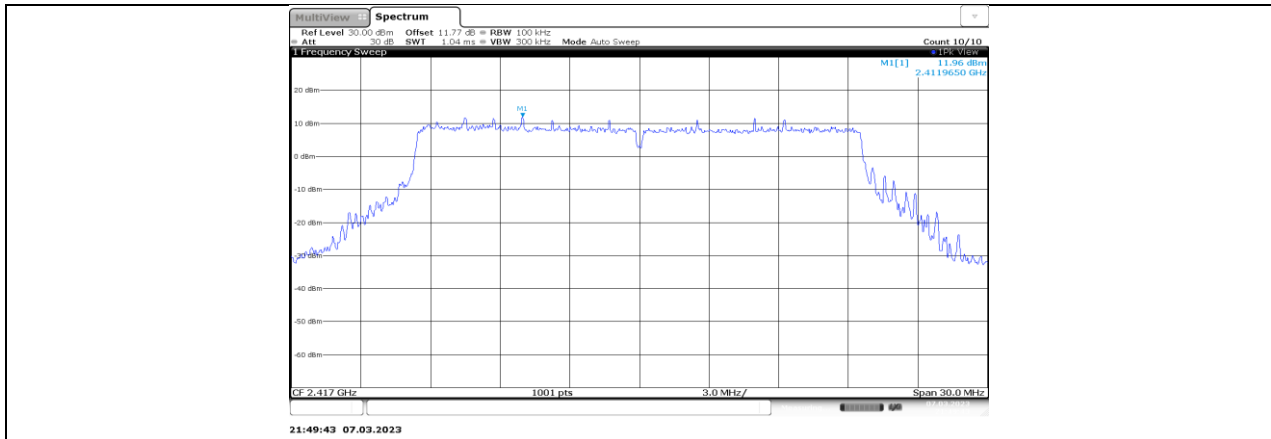
11BE20MIMO_Ant5_2417_0-Reference



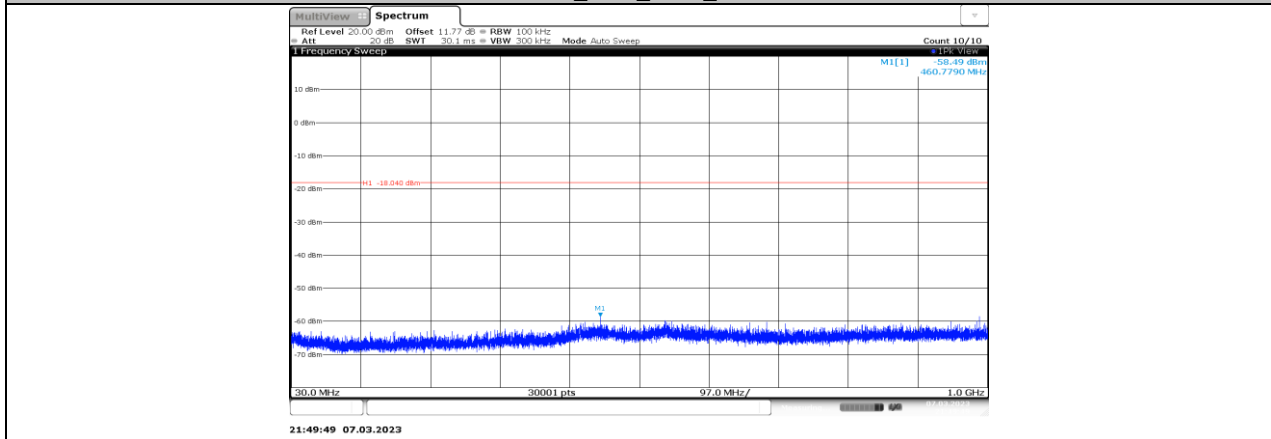
11BE20MIMO_Ant5_2417_30~1000



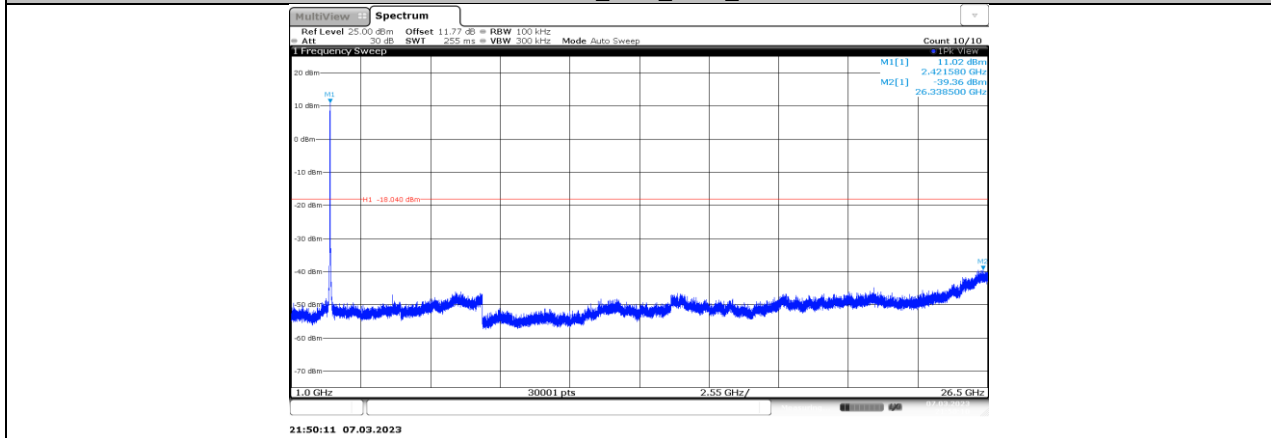
11BE20MIMO_Ant5_2417_1000~26500



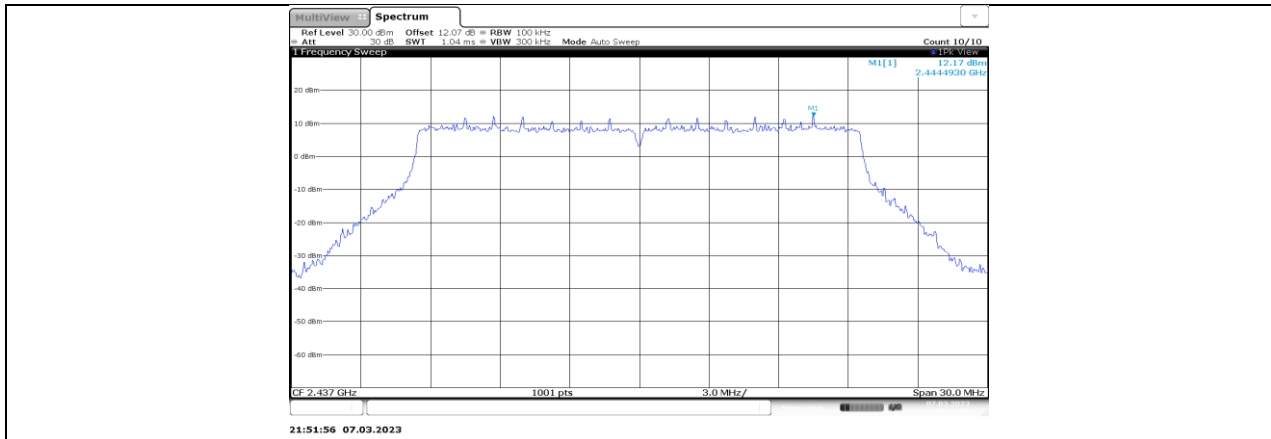
11BE20MIMO_Ant7_2417_0-Reference



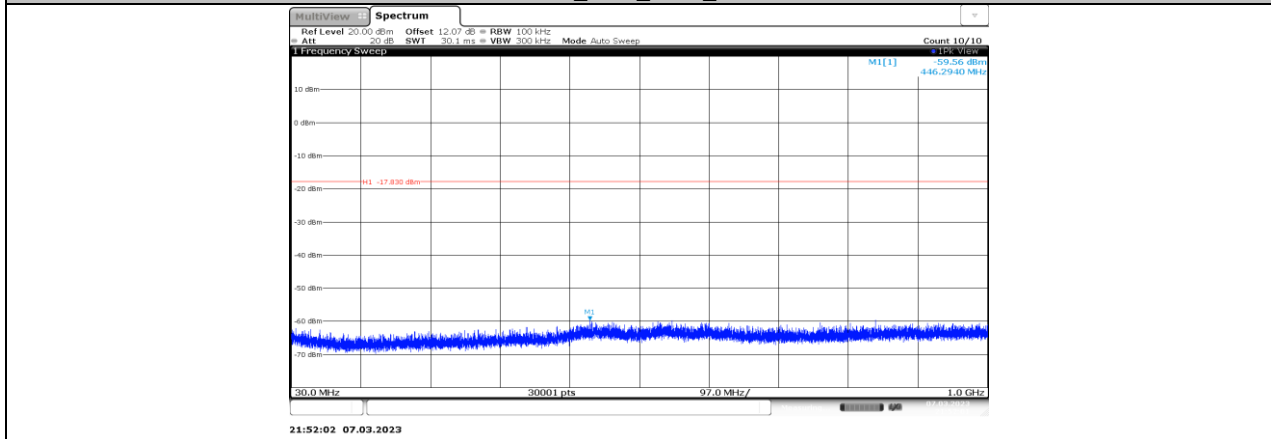
11BE20MIMO_Ant7_2417_30~1000



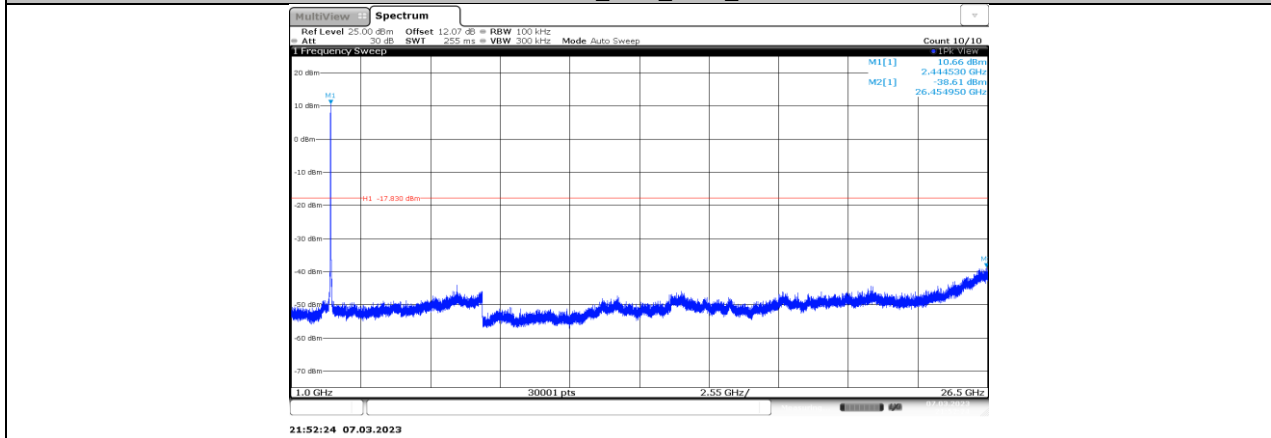
11BE20MIMO_Ant7_2417_1000~26500



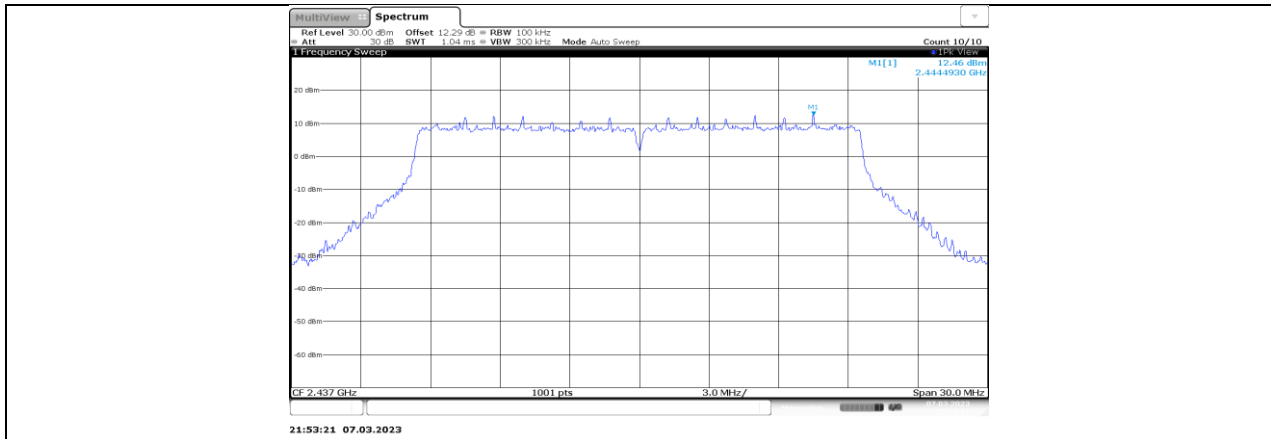
11BE20MIMO_Ant1_2437_0-Reference



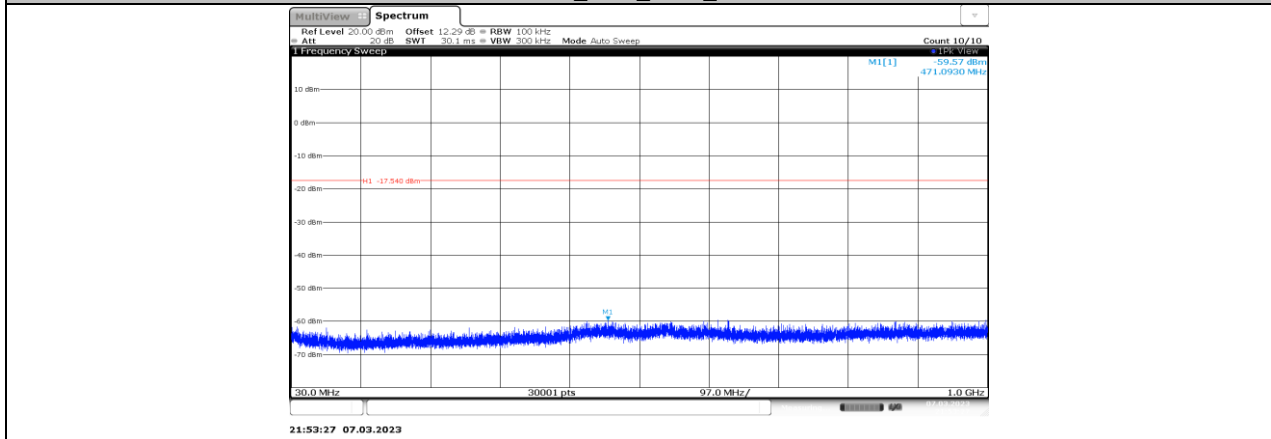
11BE20MIMO_Ant1_2437_30~1000



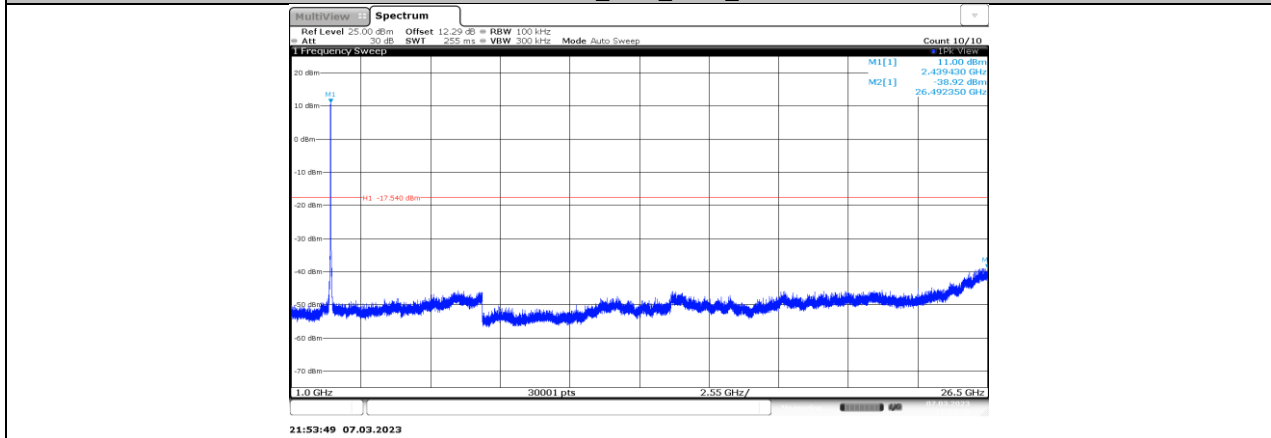
11BE20MIMO_Ant1_2437_1000~26500



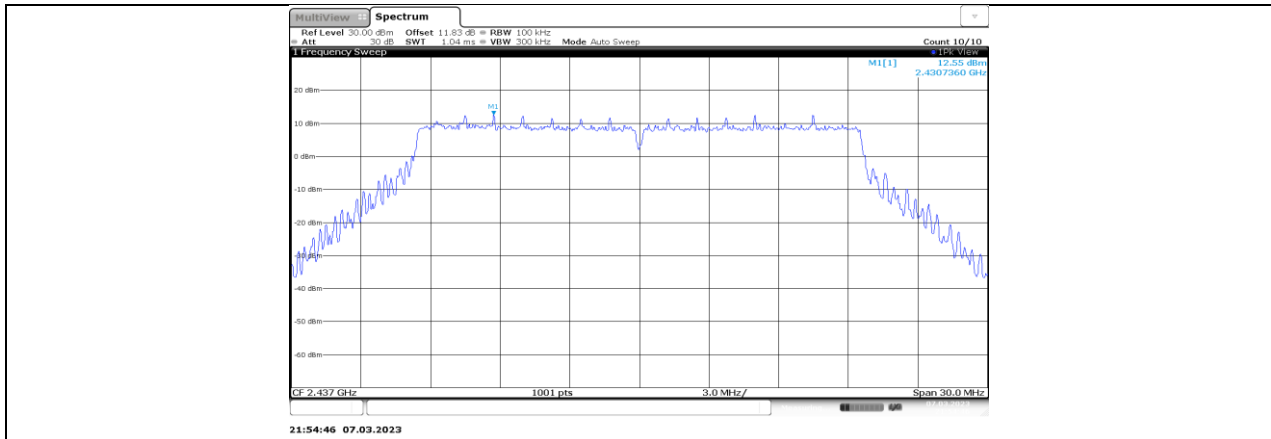
11BE20MIMO_Ant3_2437_0-Reference



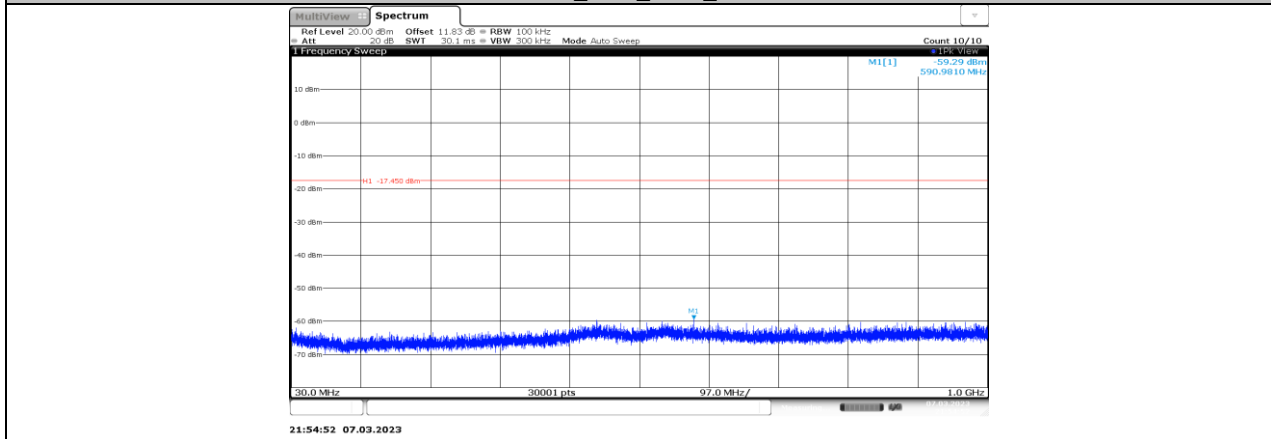
11BE20MIMO_Ant3_2437_30~1000



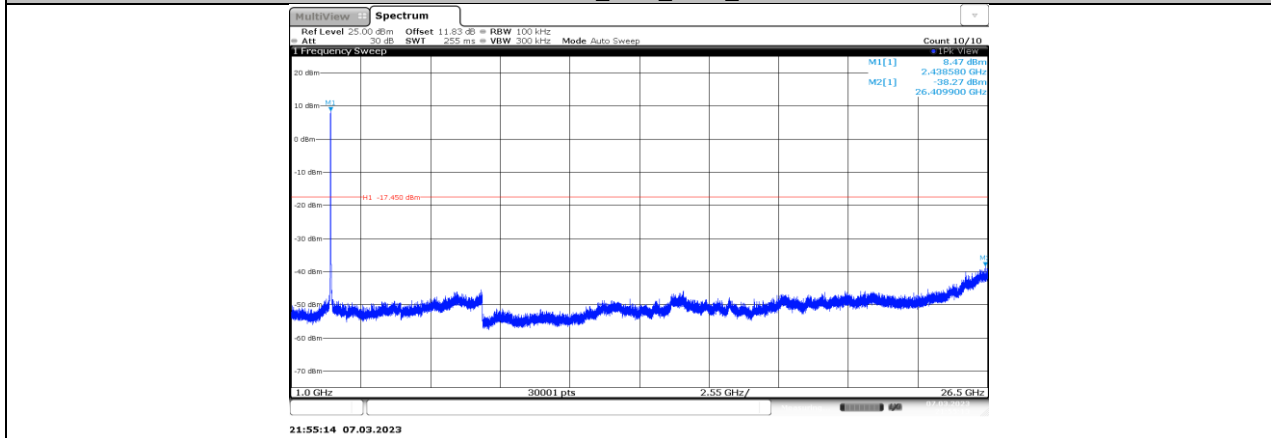
11BE20MIMO_Ant3_2437_1000~26500



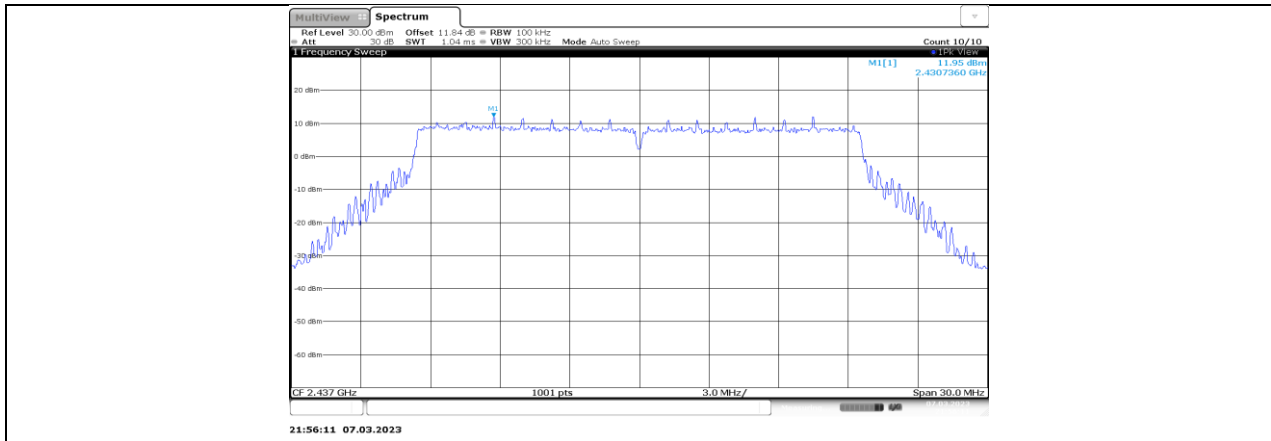
11BE20MIMO_Ant5_2437_0-Reference



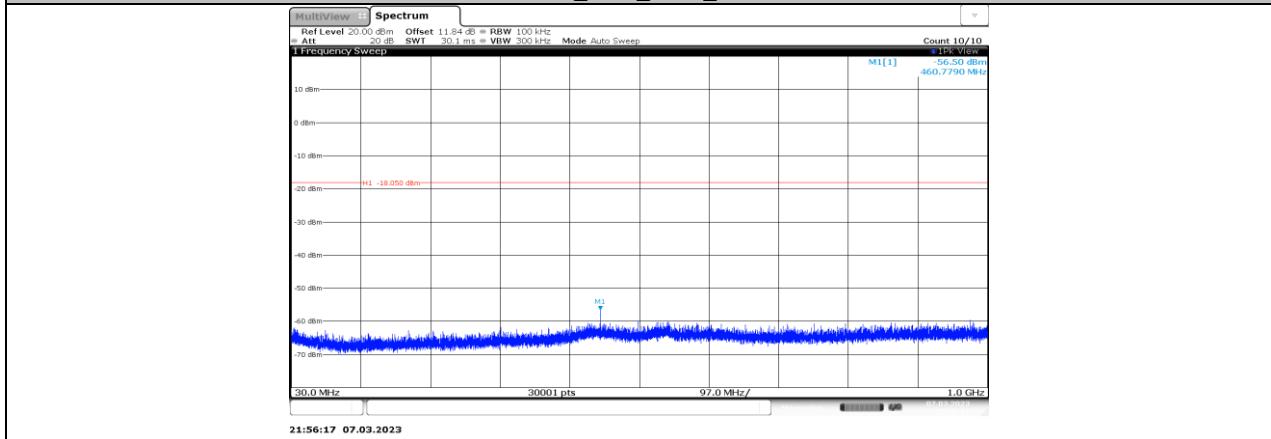
11BE20MIMO_Ant5_2437_30~1000



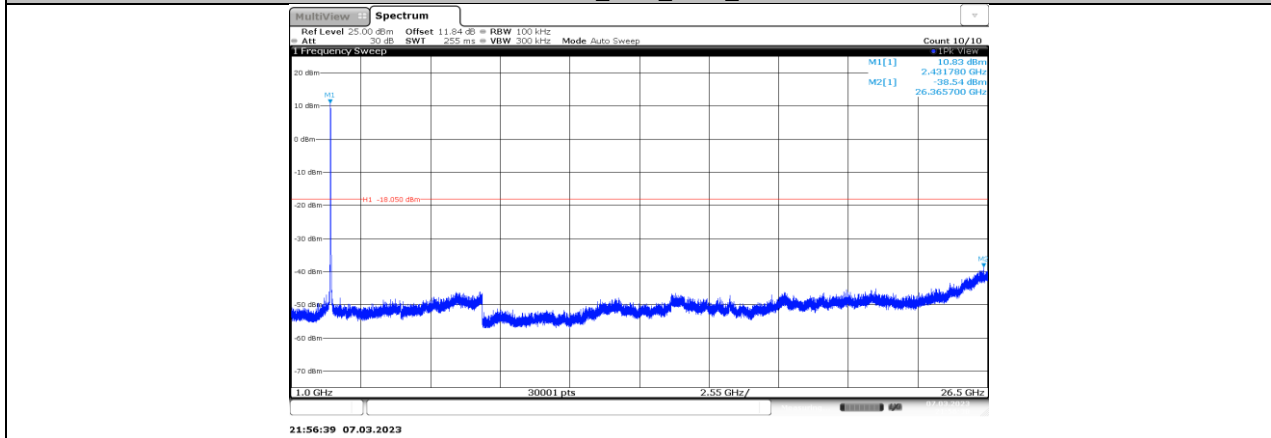
11BE20MIMO_Ant5_2437_1000~26500



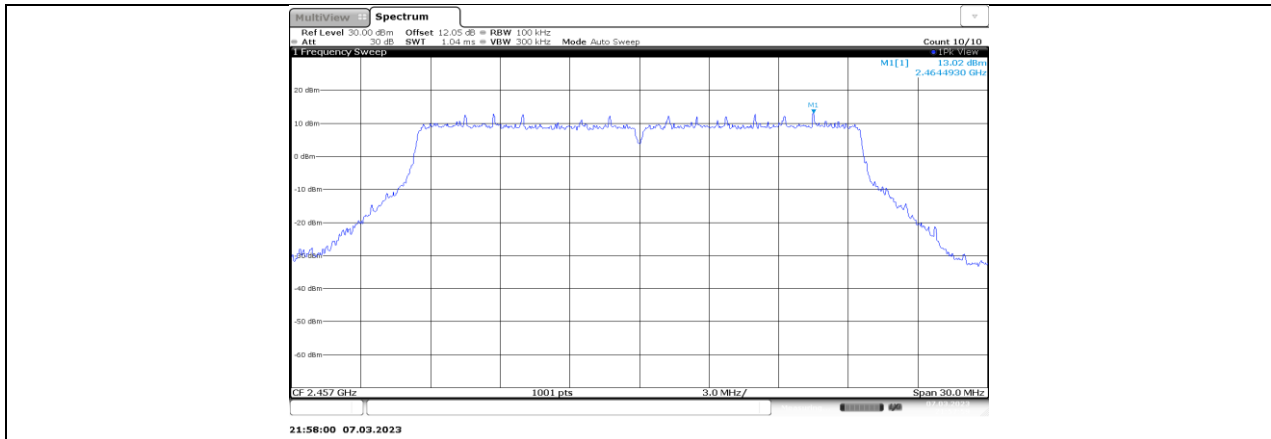
11BE20MIMO_Ant7_2437_0-Reference



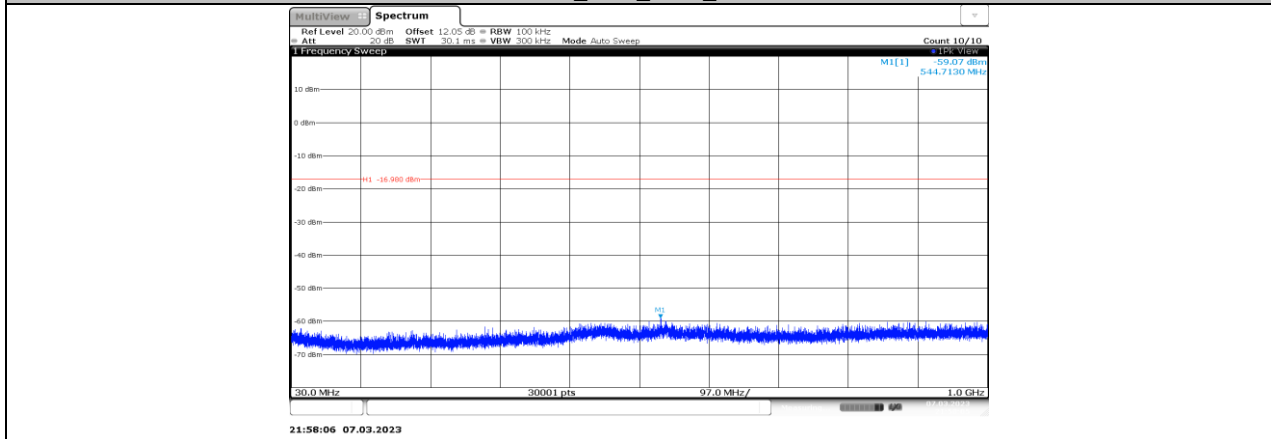
11BE20MIMO_Ant7_2437_30~1000



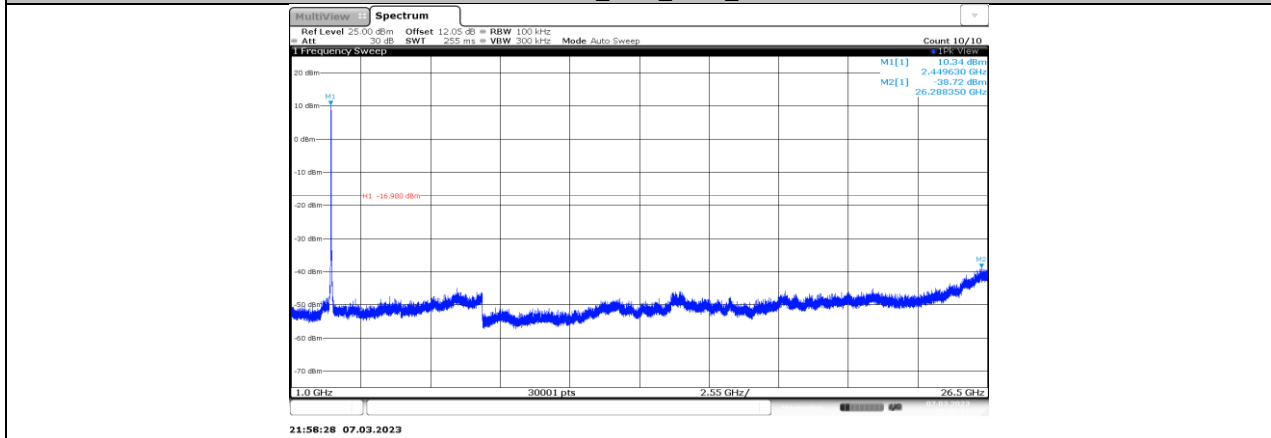
11BE20MIMO_Ant7_2437_1000~26500



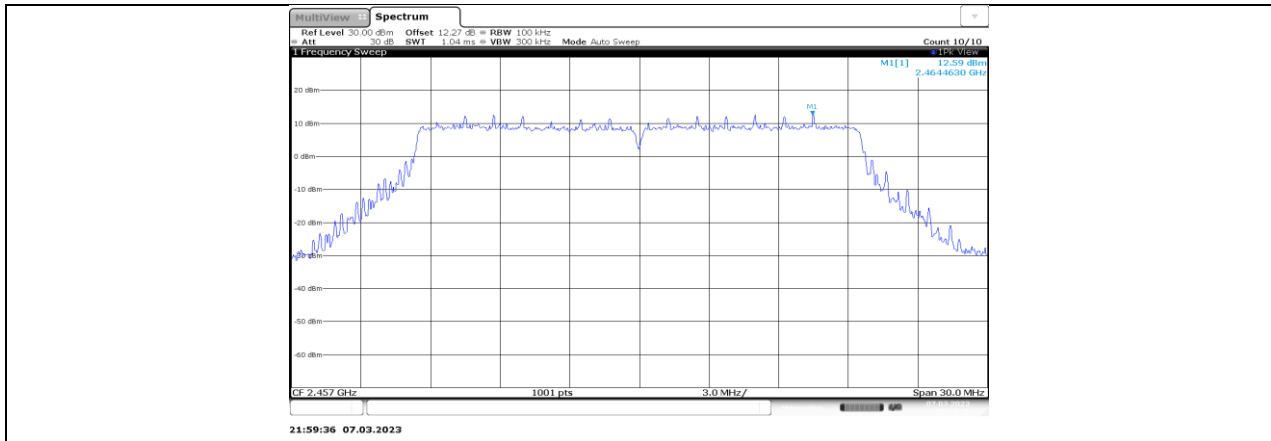
11BE20MIMO_Ant1_2457_0-Reference



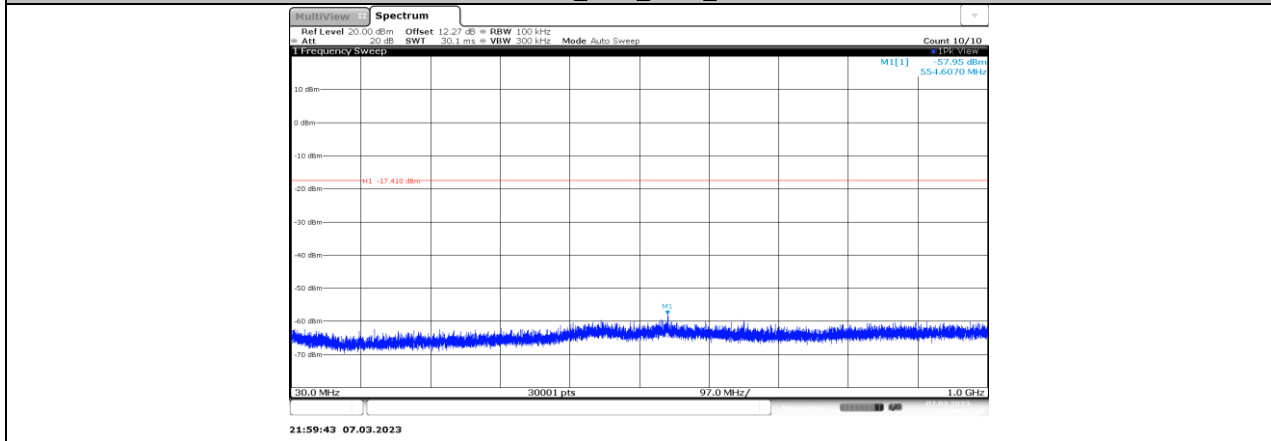
11BE20MIMO_Ant1_2457_30~1000



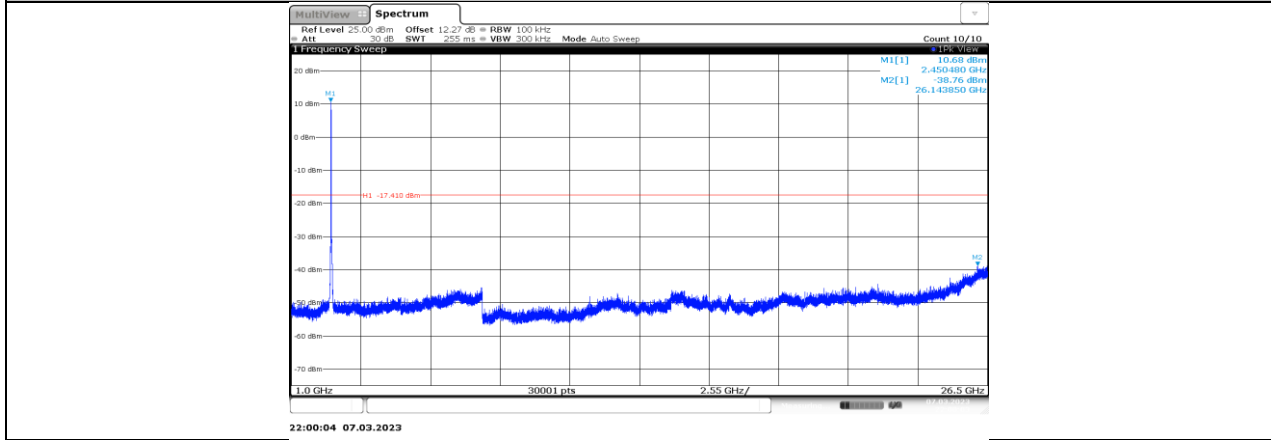
11BE20MIMO_Ant1_2457_1000~26500



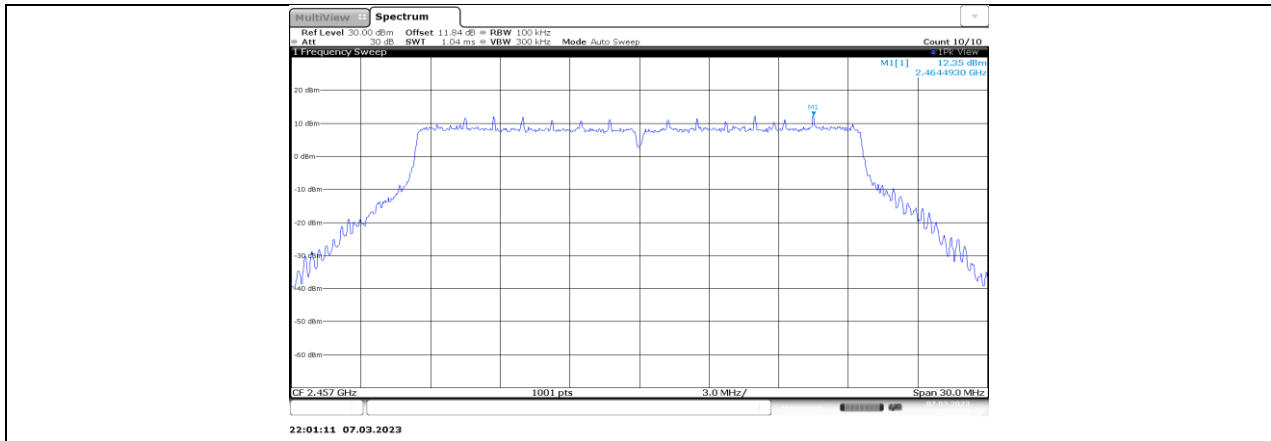
11BE20MIMO_Ant3_2457_0-Reference



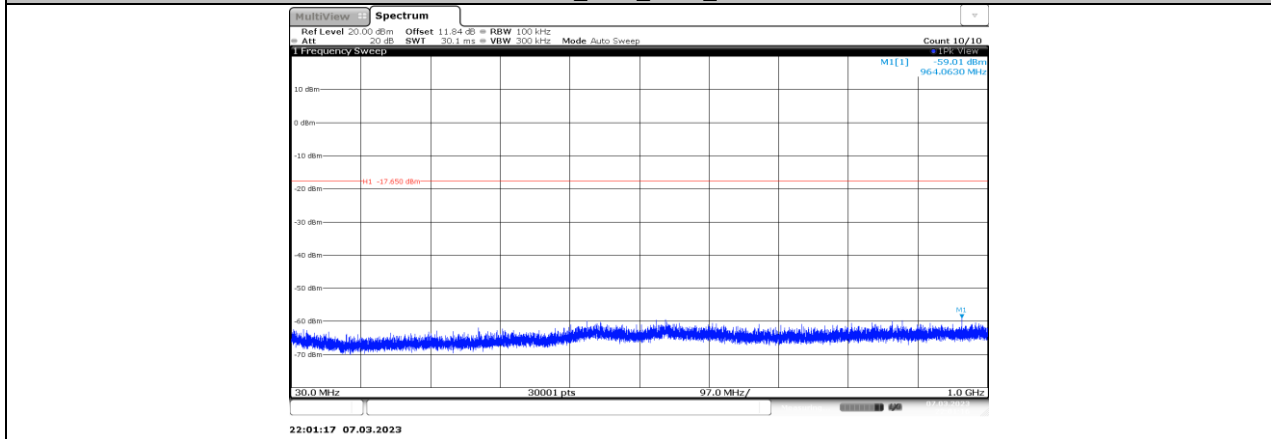
11BE20MIMO_Ant3_2457_30~1000



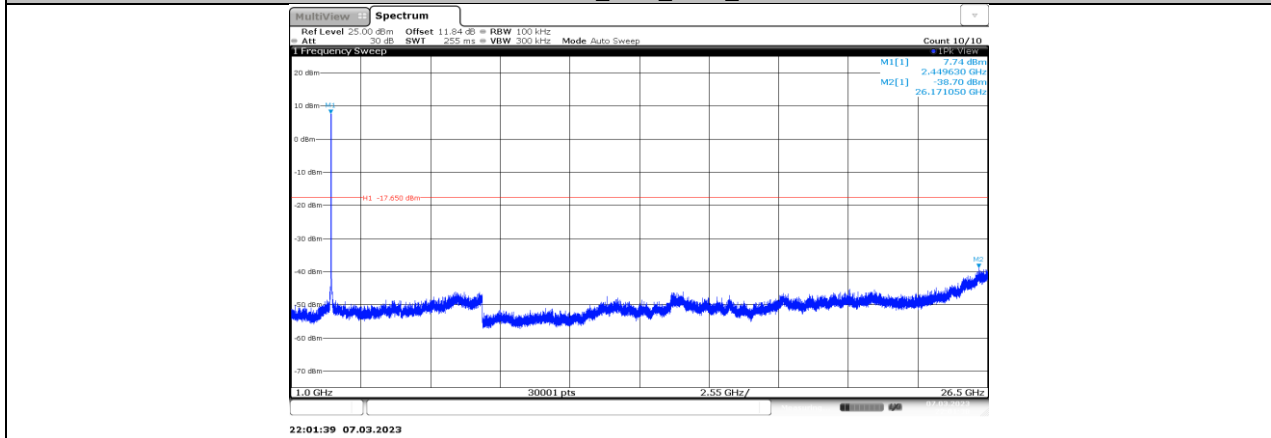
11BE20MIMO_Ant3_2457_1000~26500



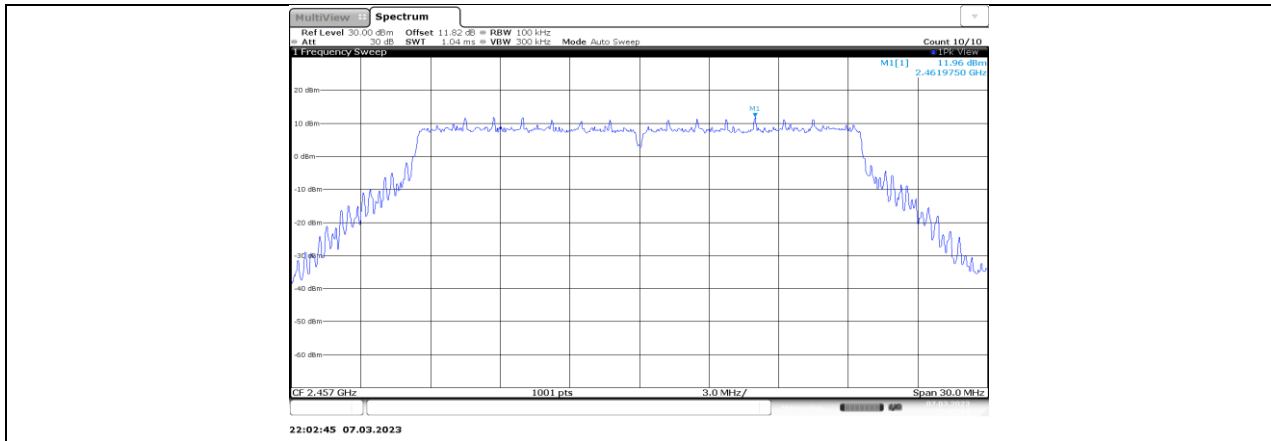
11BE20MIMO_Ant5_2457_0-Reference



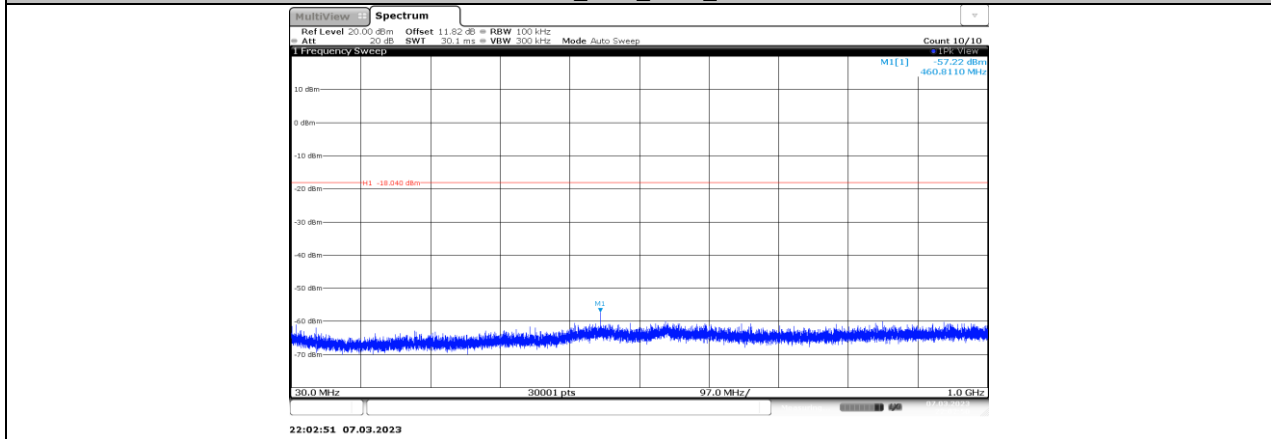
11BE20MIMO_Ant5_2457_30~1000



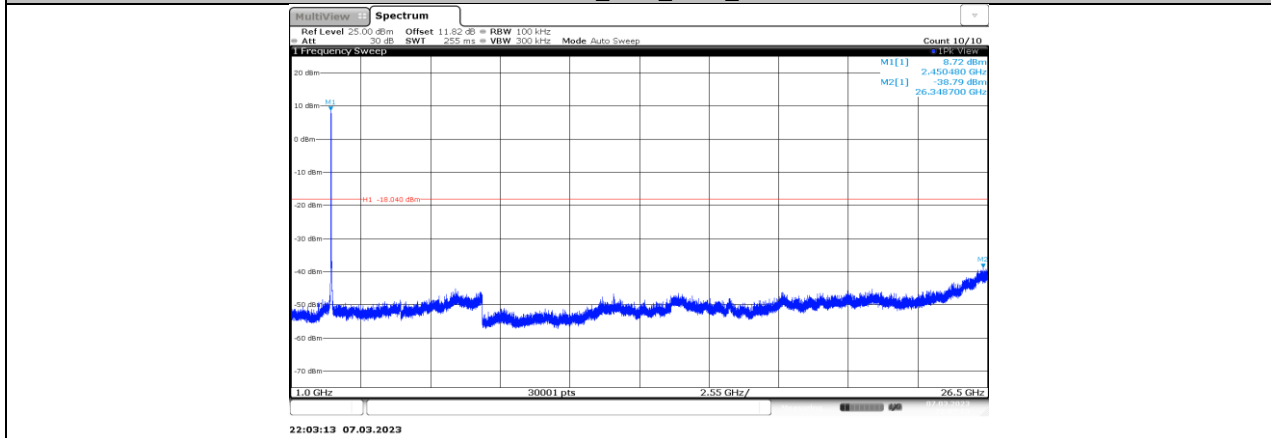
11BE20MIMO_Ant5_2457_1000~26500



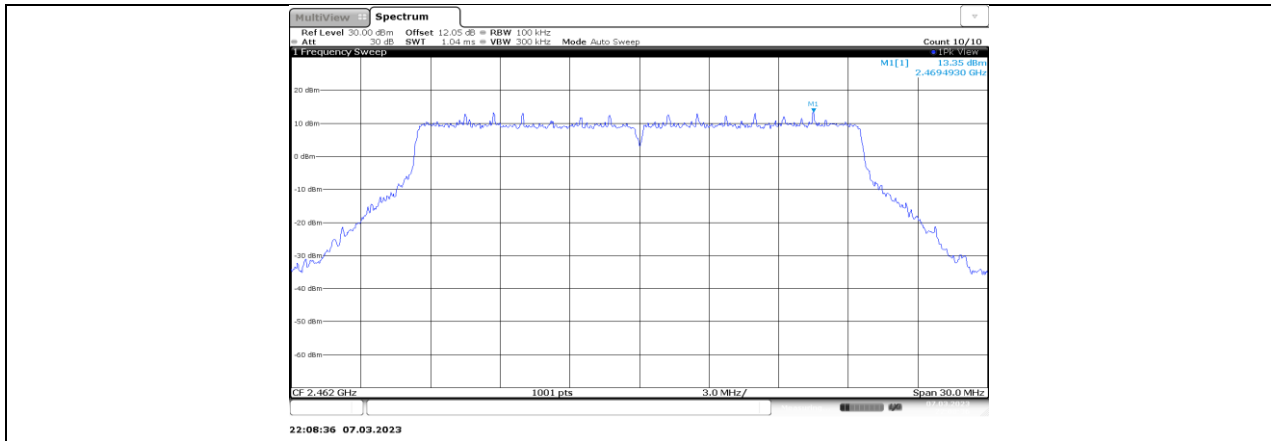
11BE20MIMO_Ant7_2457_0-Reference



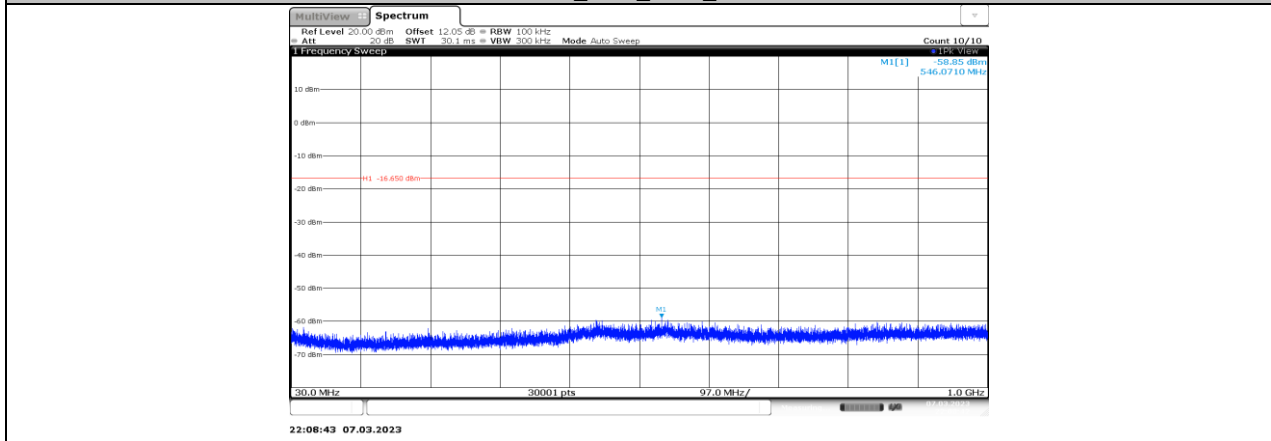
11BE20MIMO_Ant7_2457_30~1000



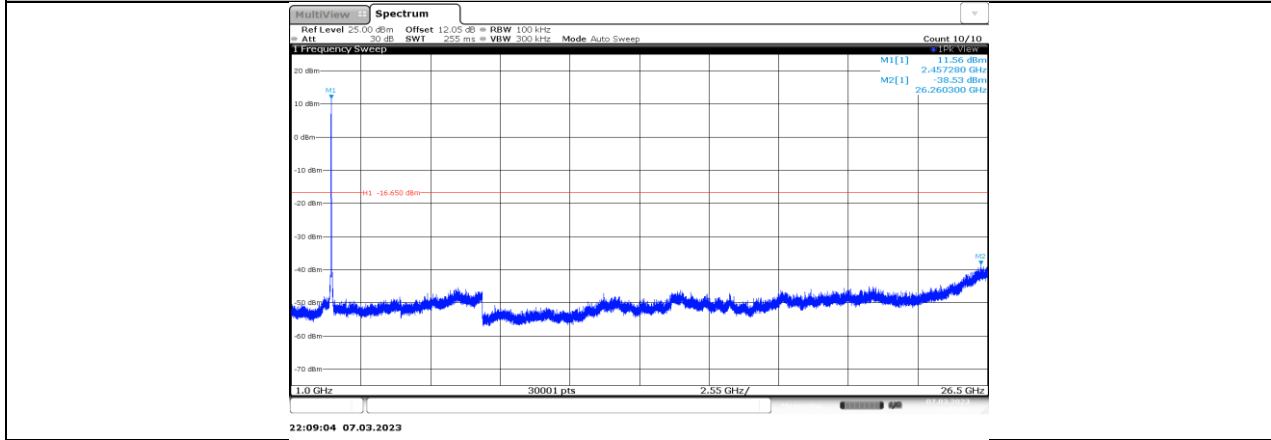
11BE20MIMO_Ant7_2457_1000~26500



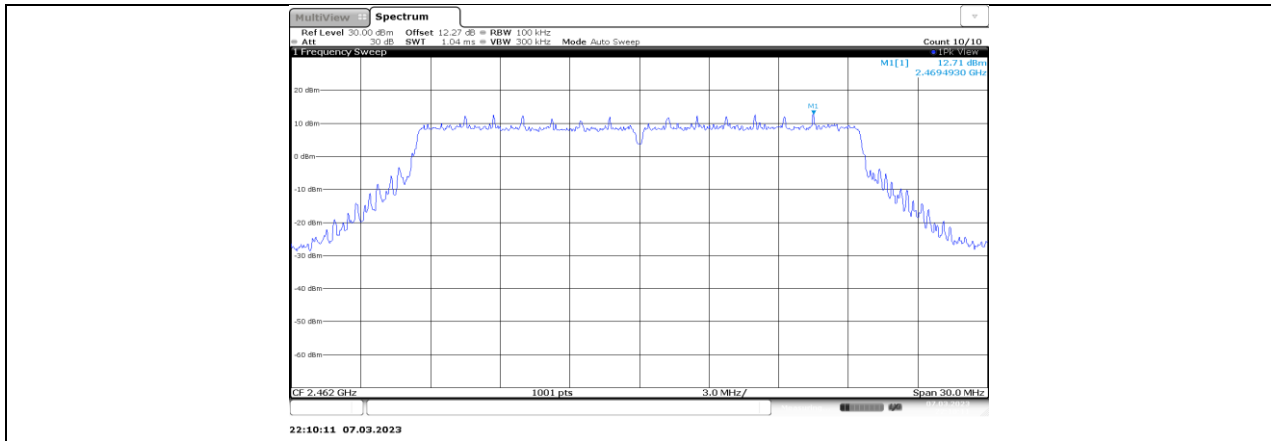
11BE20MIMO_Ant1_2462_0-Reference



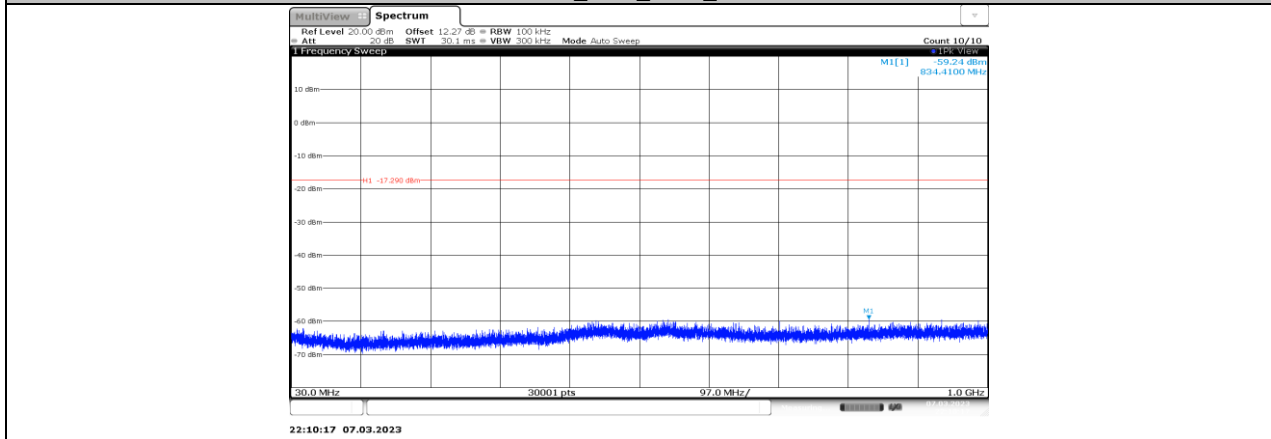
11BE20MIMO_Ant1_2462_30~1000



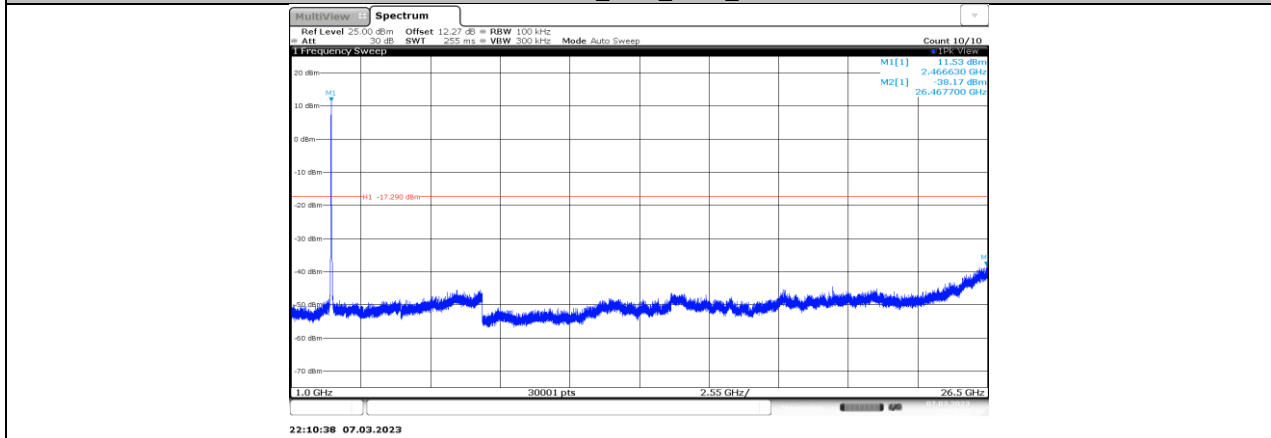
11BE20MIMO_Ant1_2462_1000~26500



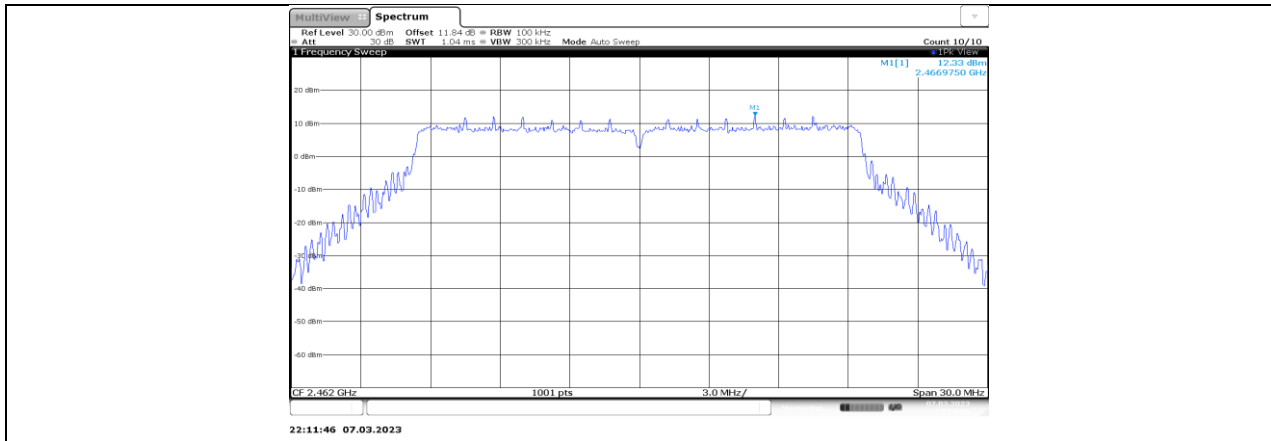
11BE20MIMO_Ant3_2462_0-Reference



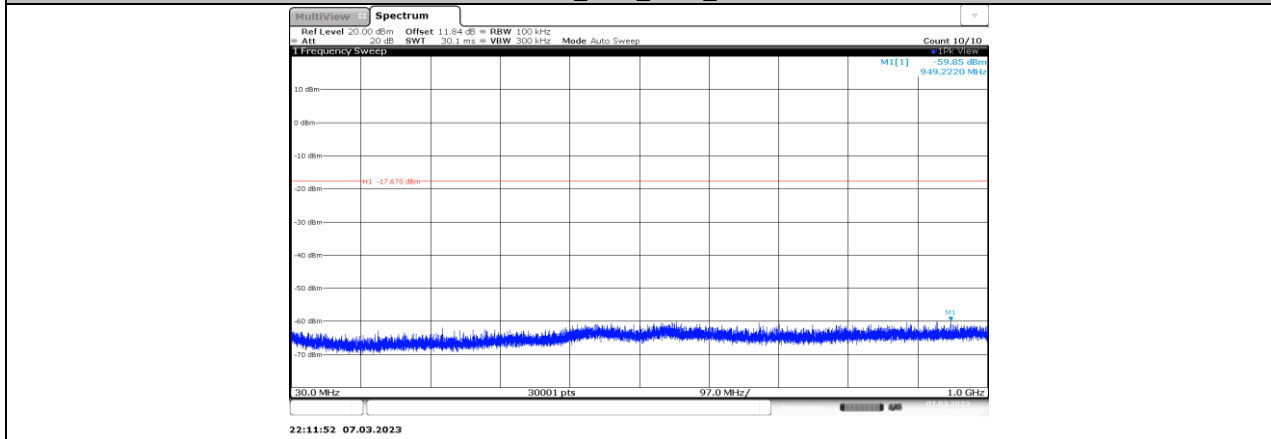
11BE20MIMO_Ant3_2462_30~1000



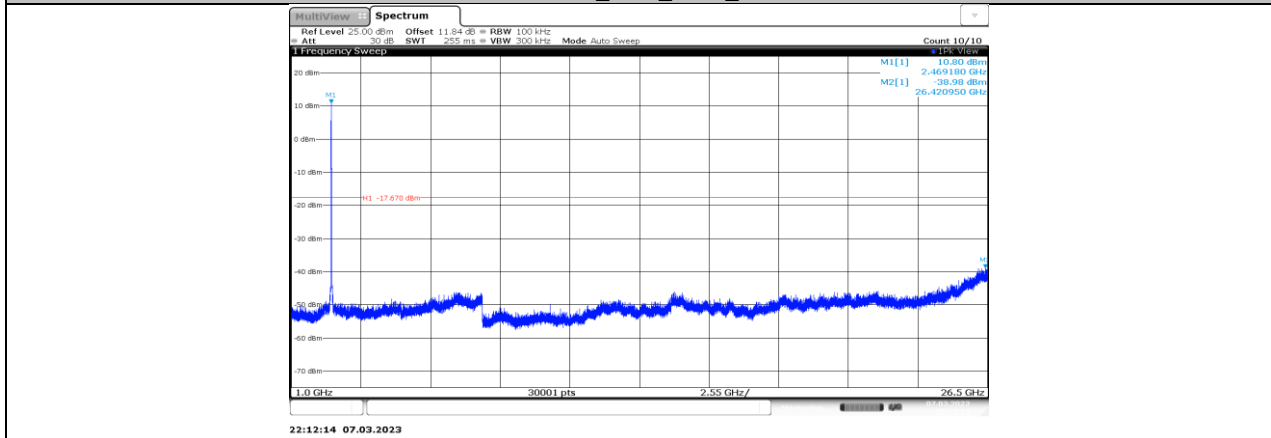
11BE20MIMO_Ant3_2462_1000~26500



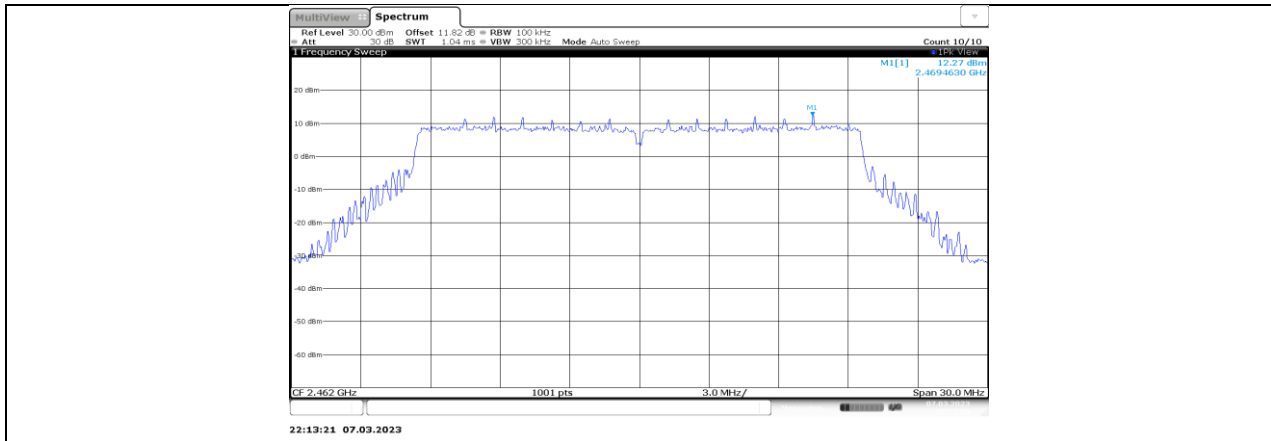
11BE20MIMO_Ant5_2462_0-Reference



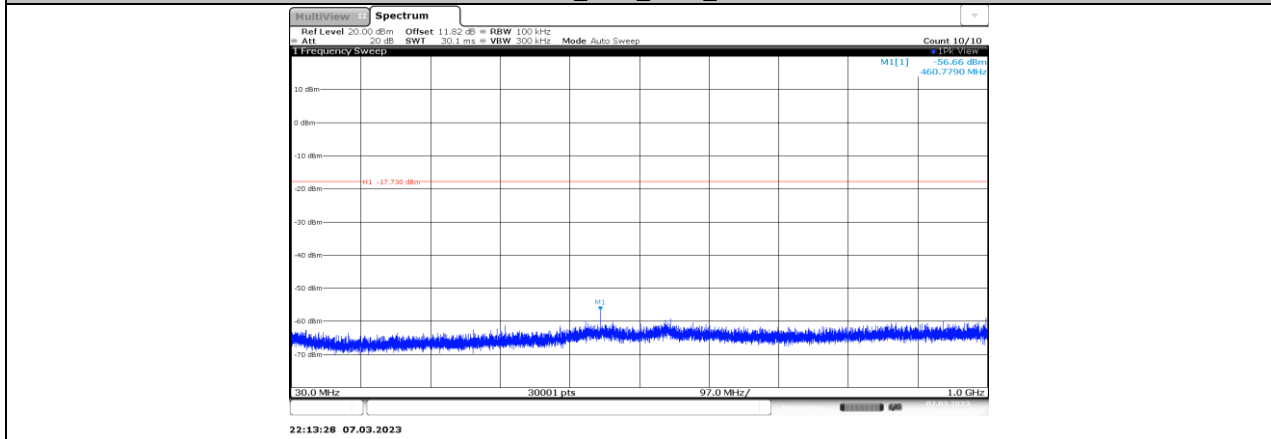
11BE20MIMO_Ant5_2462_30~1000



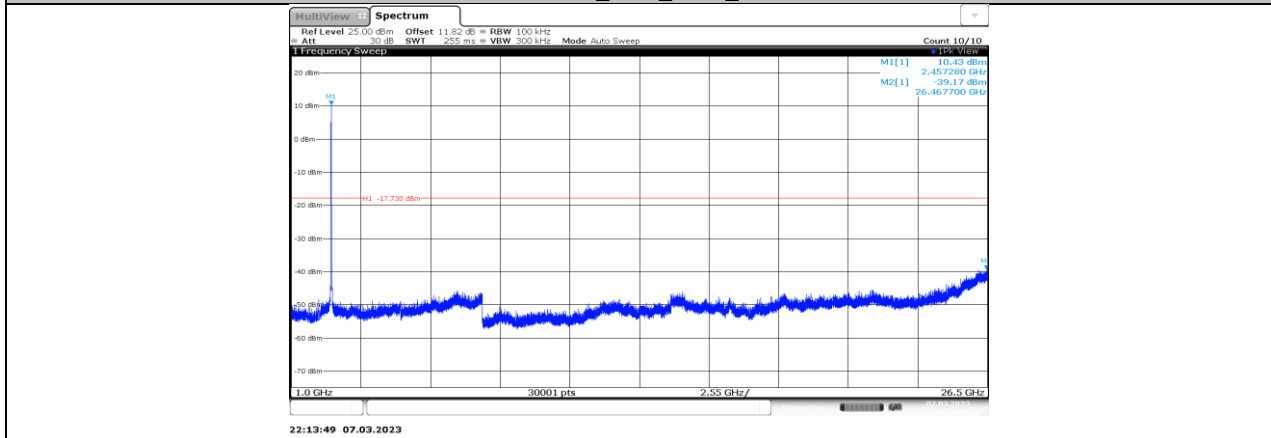
11BE20MIMO_Ant5_2462_1000~26500



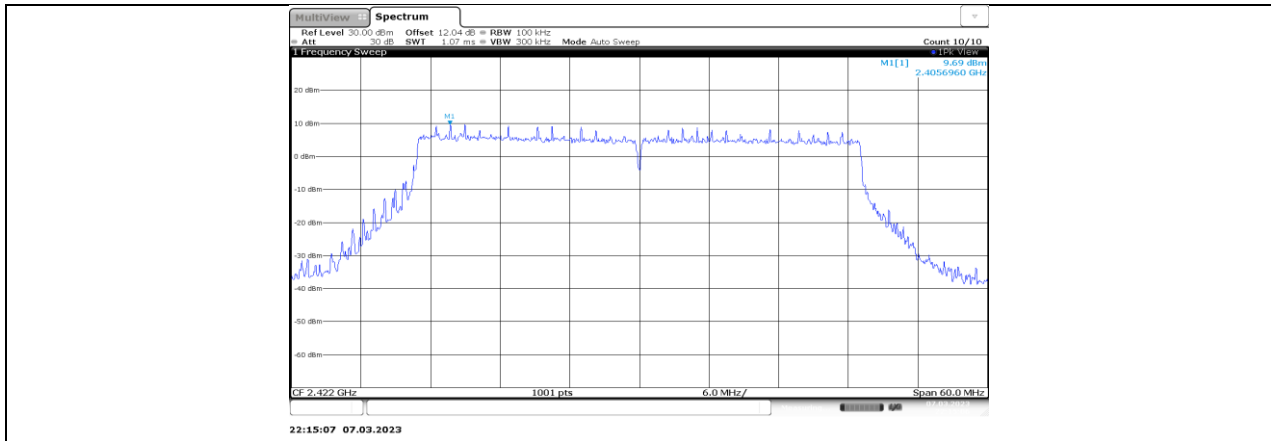
11BE20MIMO_Ant7_2462_0-Reference



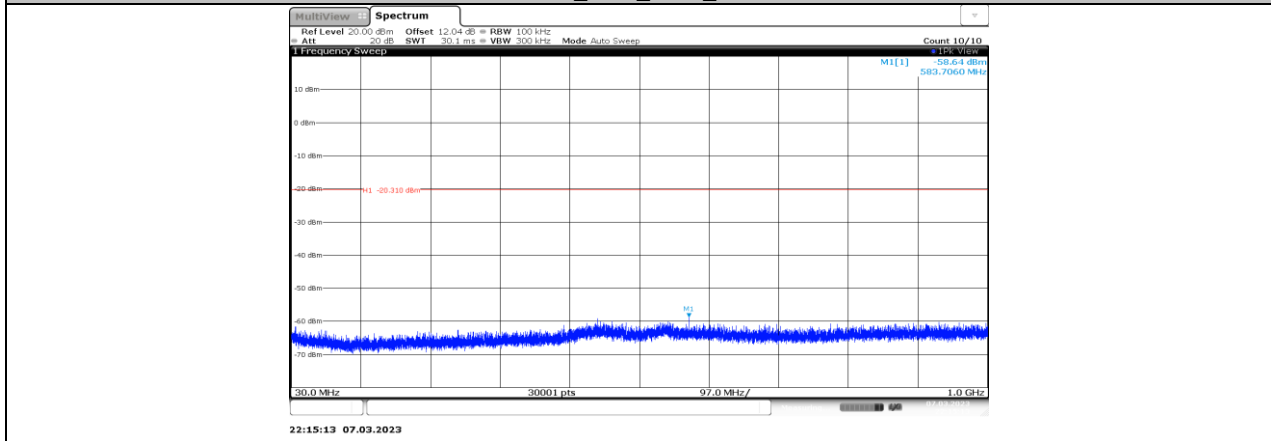
11BE20MIMO_Ant7_2462_30~1000



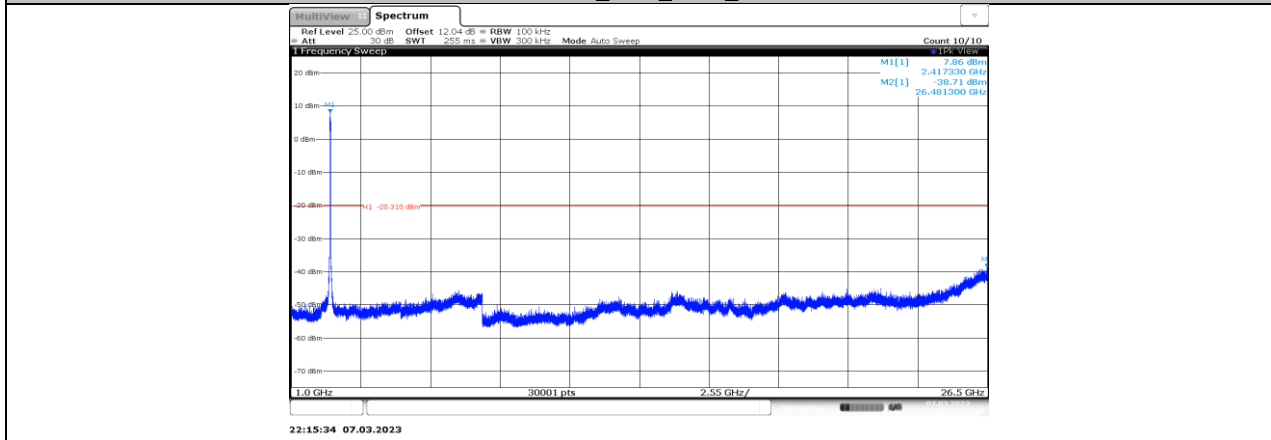
11BE20MIMO_Ant7_2462_1000~26500



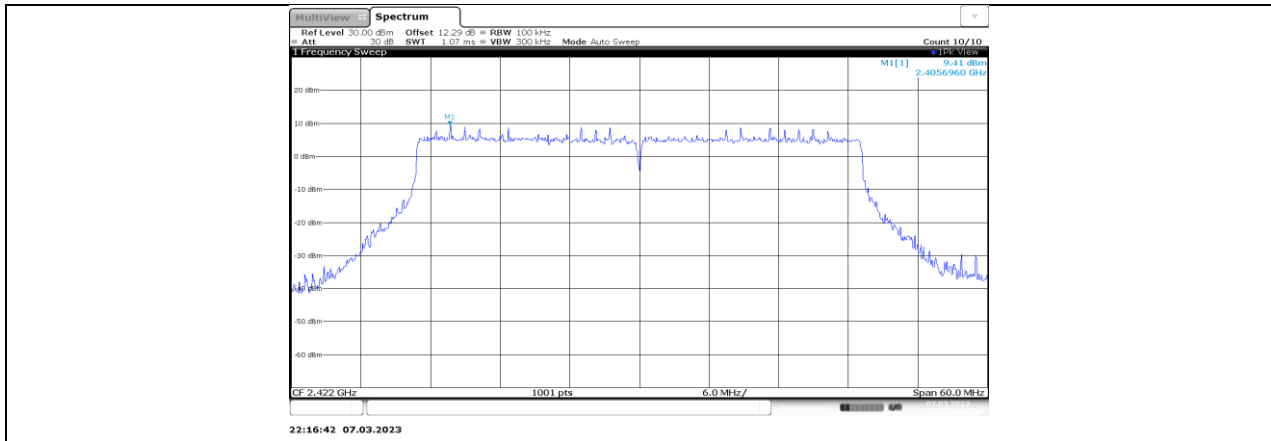
11BE40MIMO_Ant1_2422_0-Reference



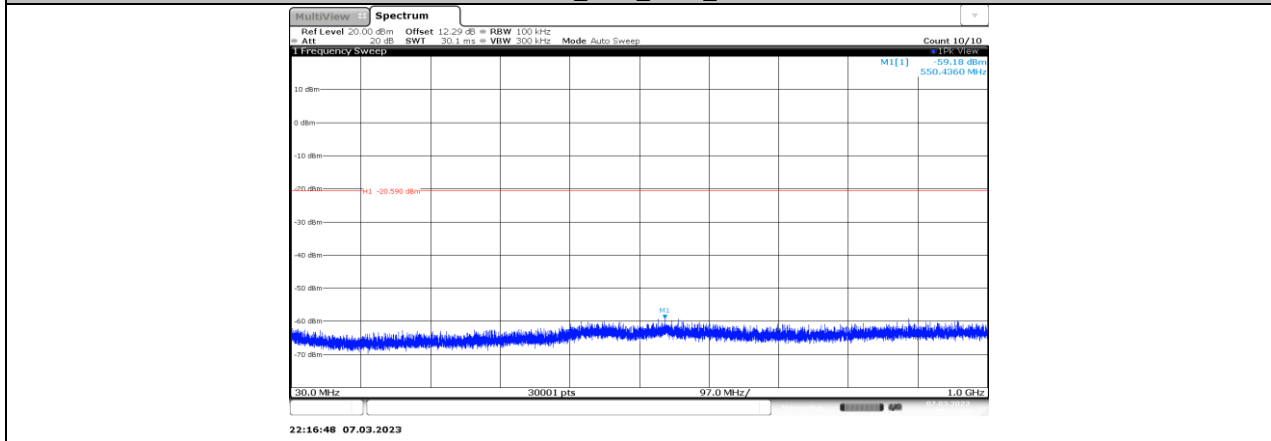
11BE40MIMO_Ant1_2422_30~1000



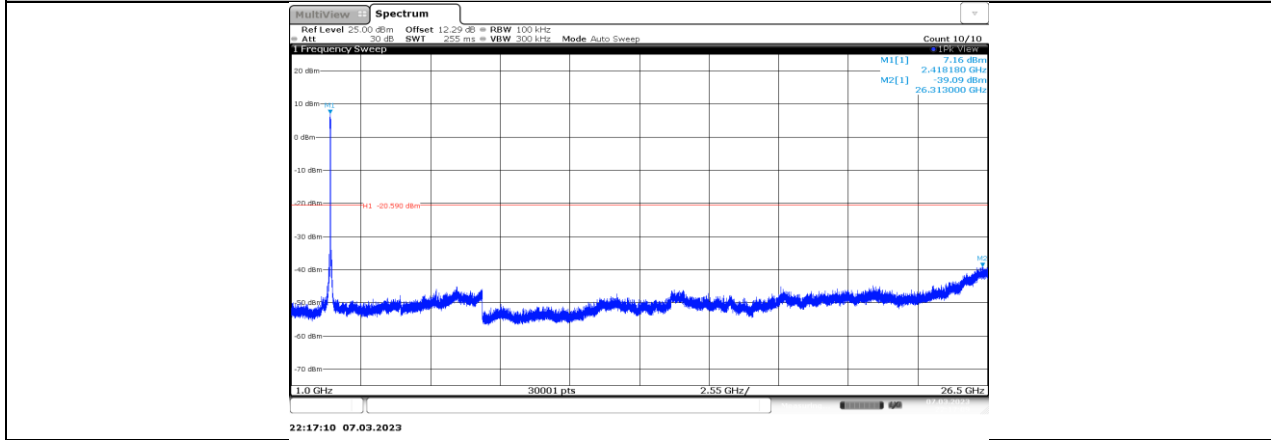
11BE40MIMO_Ant1_2422_1000~26500



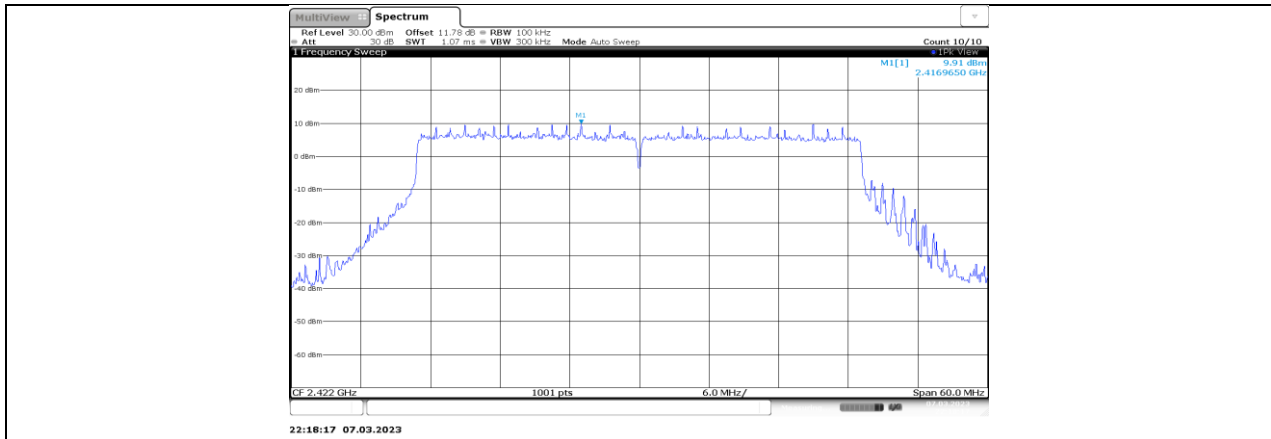
11BE40MIMO_Ant3_2422_0-Reference



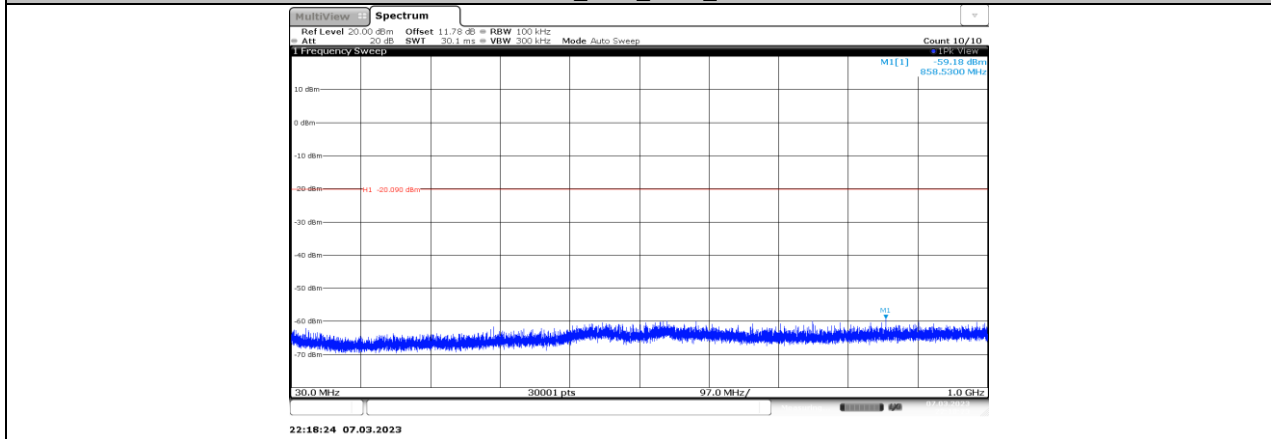
11BE40MIMO_Ant3_2422_30~1000



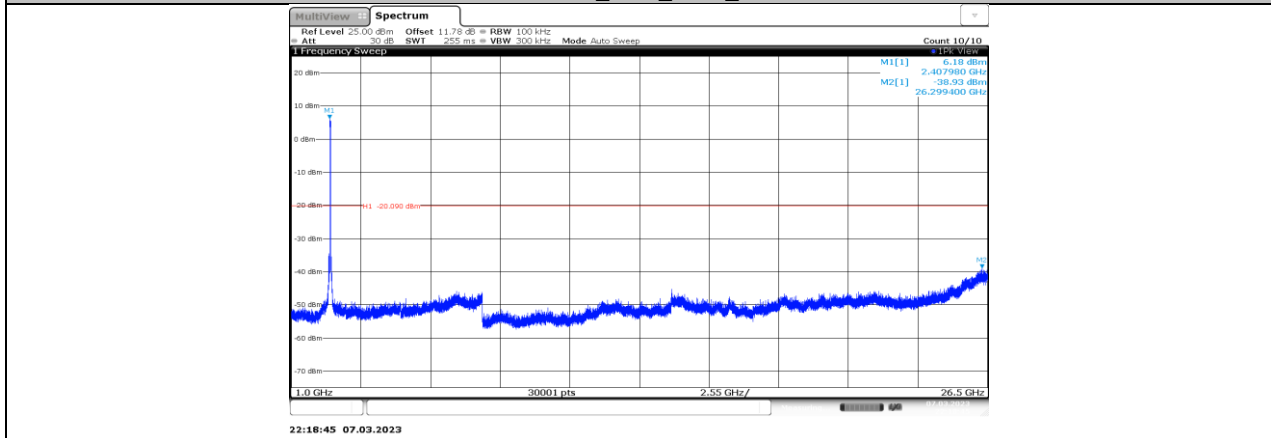
11BE40MIMO_Ant3_2422_1000~26500



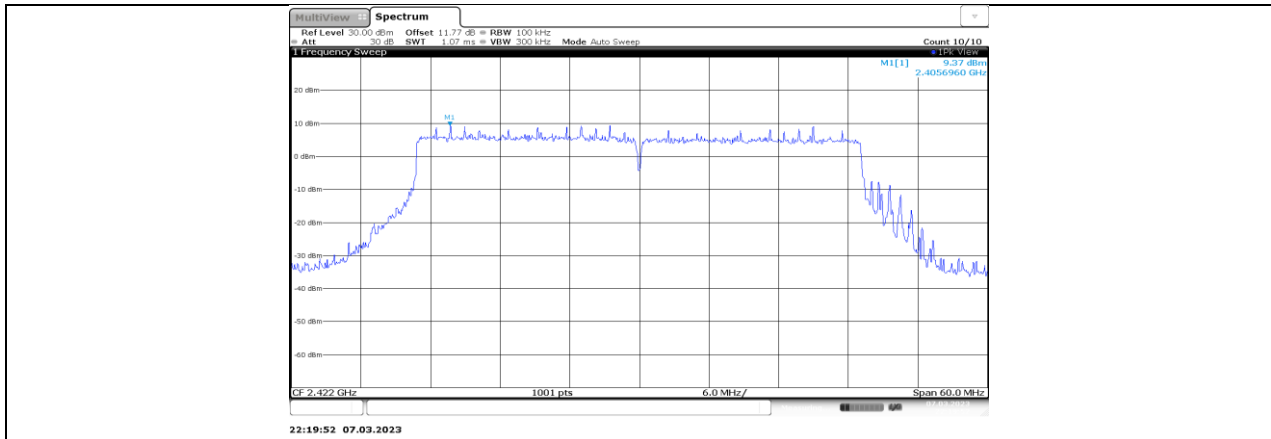
11BE40MIMO_Ant5_2422_0-Reference



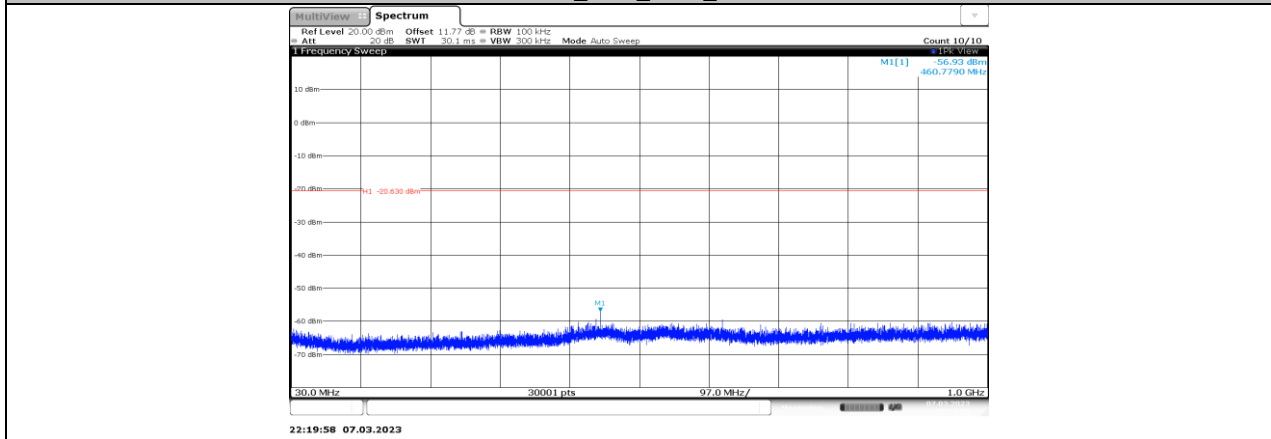
11BE40MIMO_Ant5_2422_30~1000



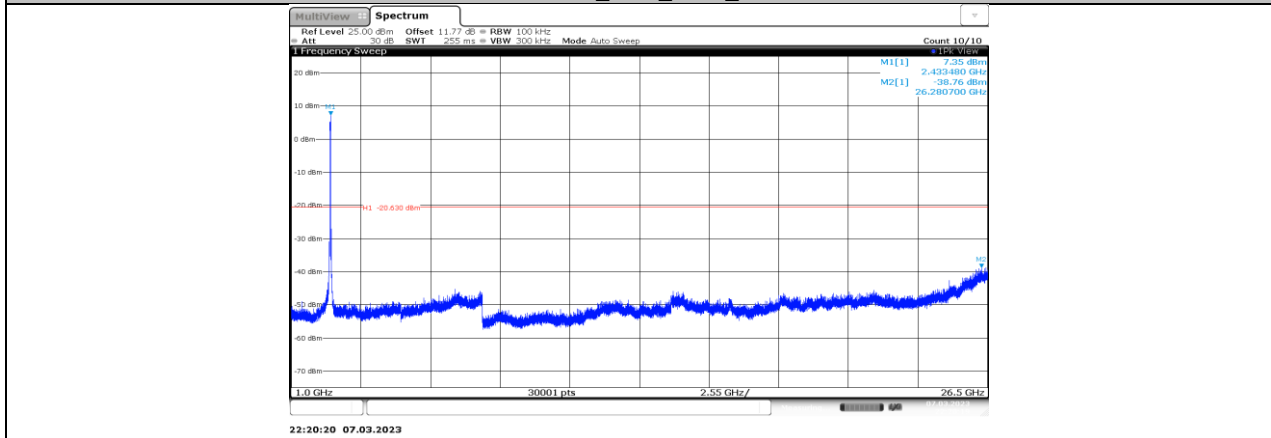
11BE40MIMO_Ant5_2422_1000~26500



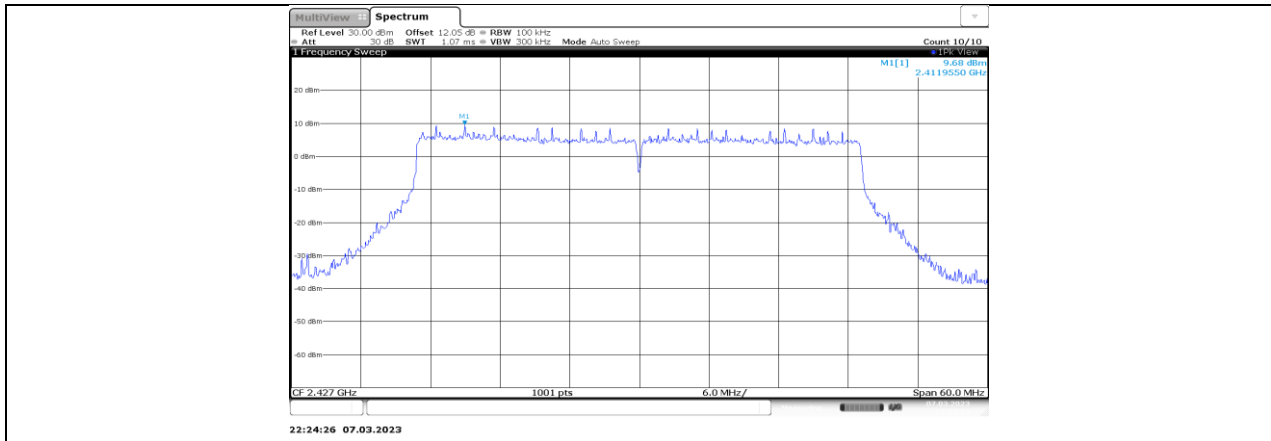
11BE40MIMO_Ant7_2422_0-Reference



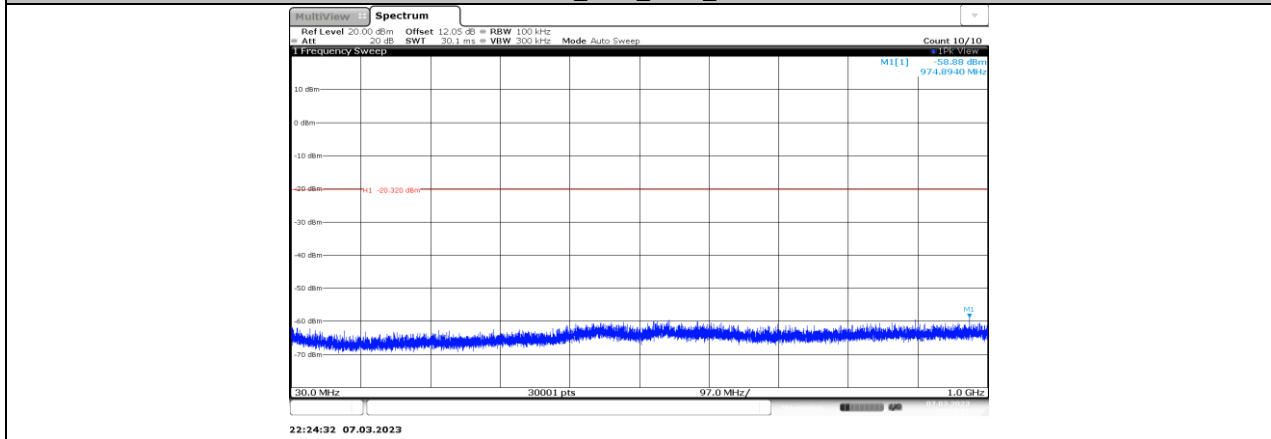
11BE40MIMO_Ant7_2422_30~1000



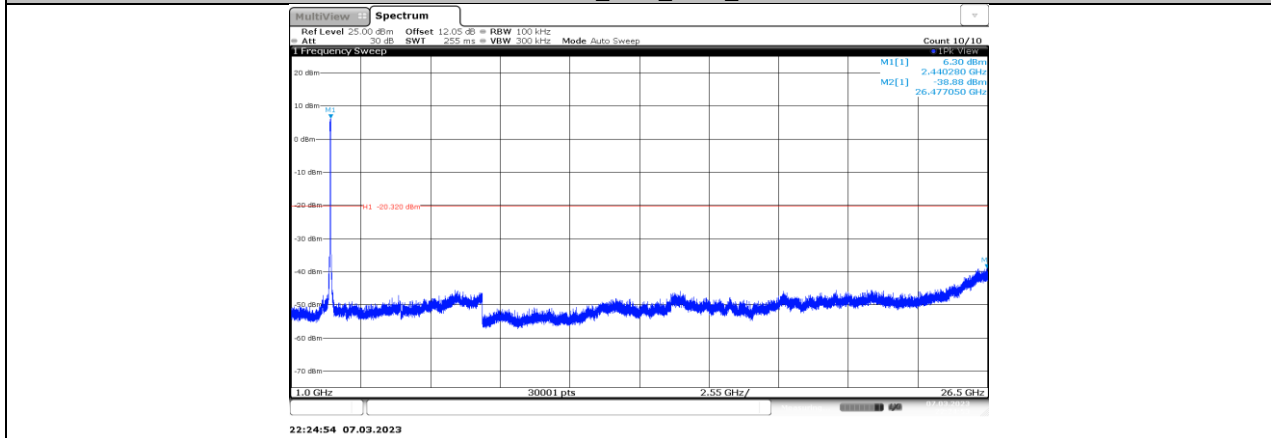
11BE40MIMO_Ant7_2422_1000~26500



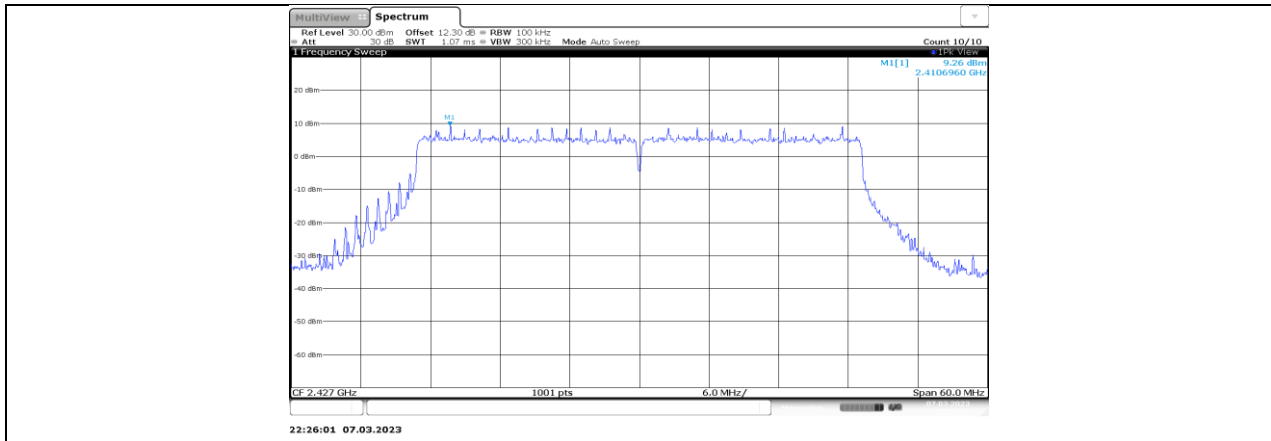
11BE40MIMO_Ant1_2427_0-Reference



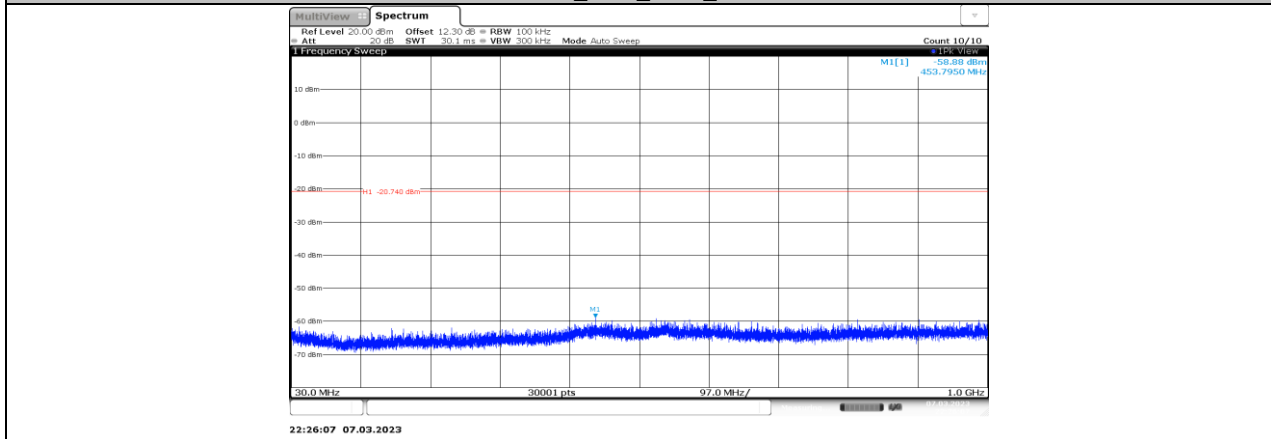
11BE40MIMO_Ant1_2427_30~1000



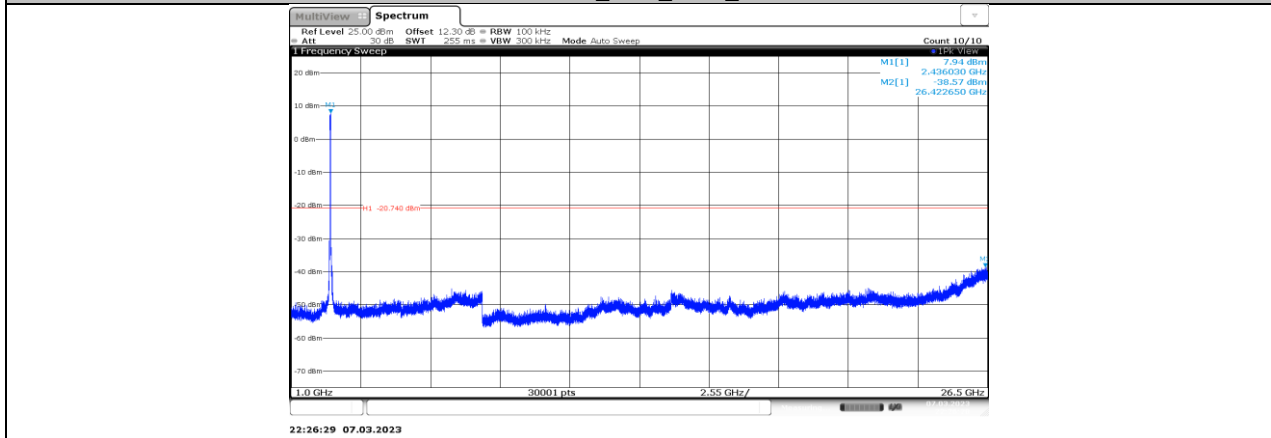
11BE40MIMO_Ant1_2427_1000~26500



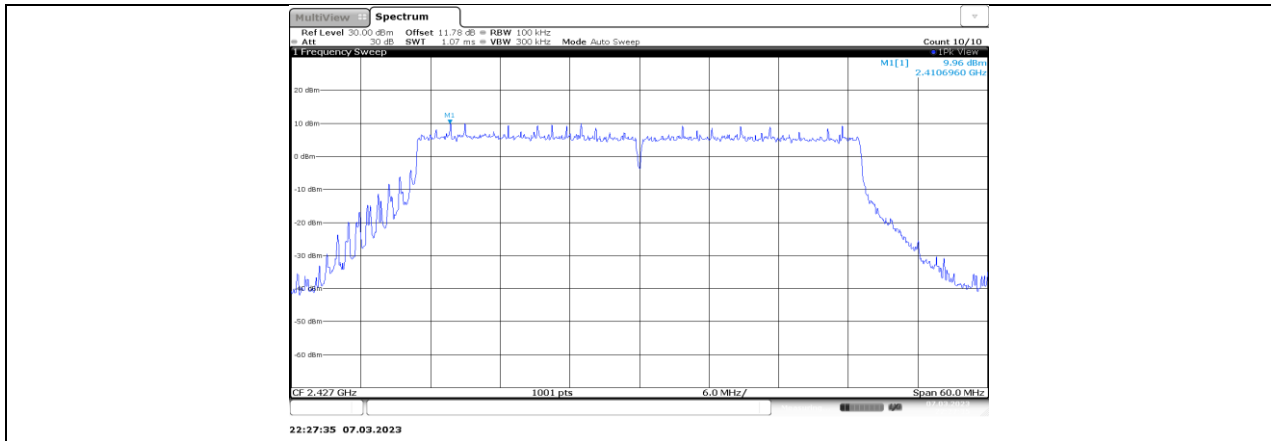
11BE40MIMO_Ant3_2427_0-Reference



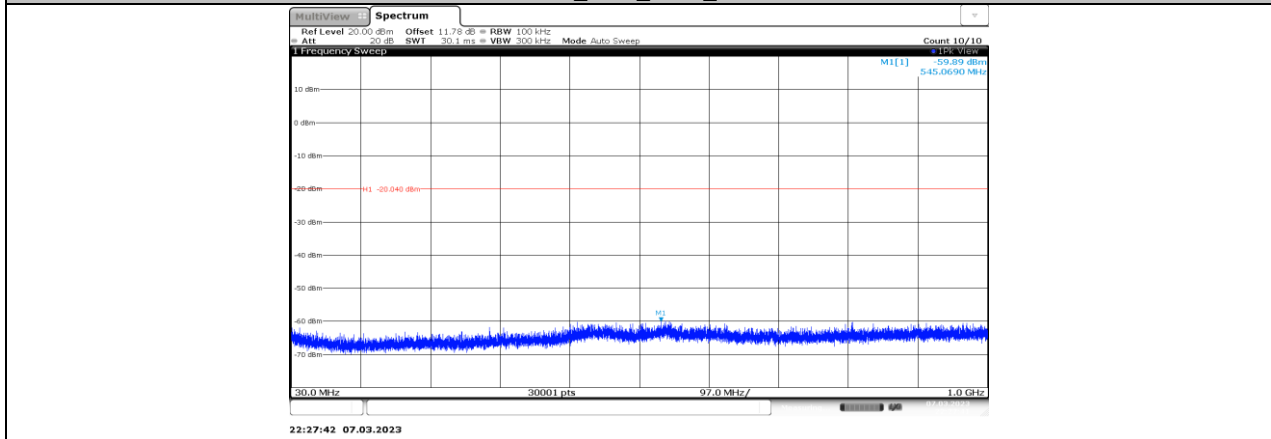
11BE40MIMO_Ant3_2427_30~1000



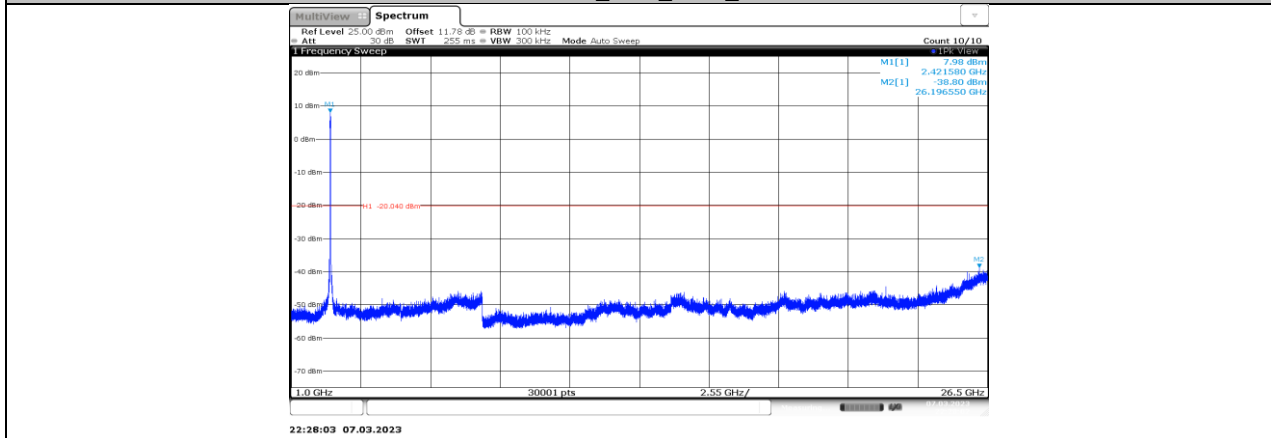
11BE40MIMO_Ant3_2427_1000~26500



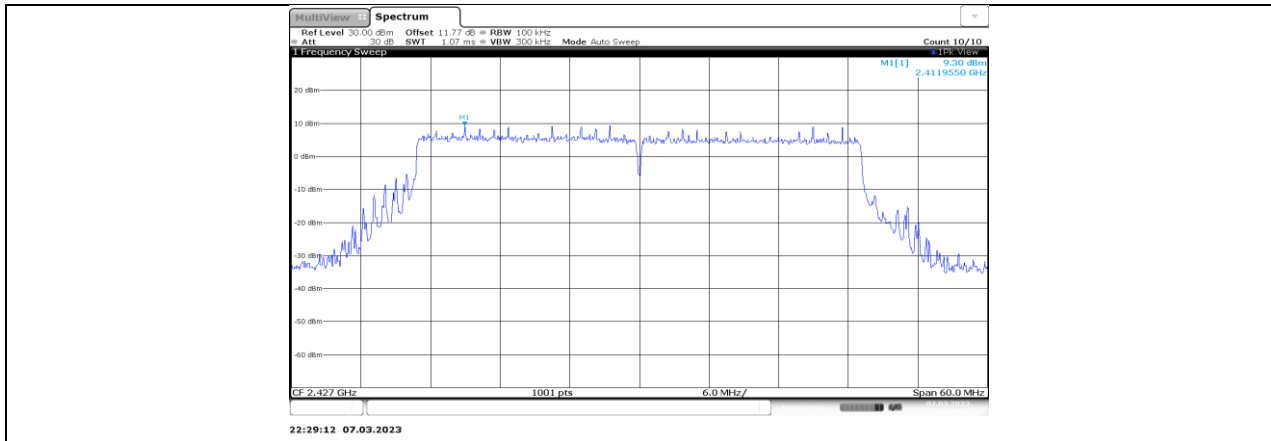
11BE40MIMO_Ant5_2427_0-Reference



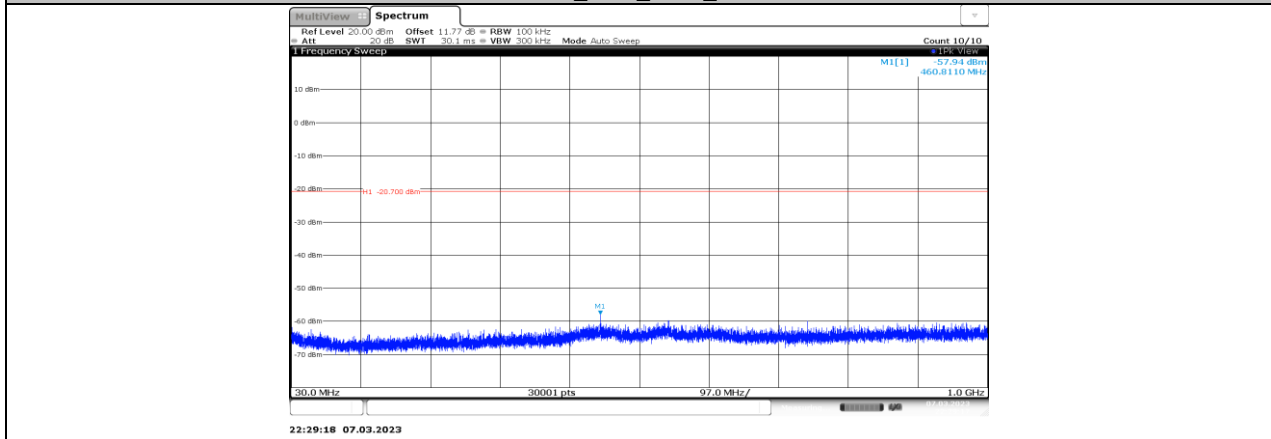
11BE40MIMO_Ant5_2427_30~1000



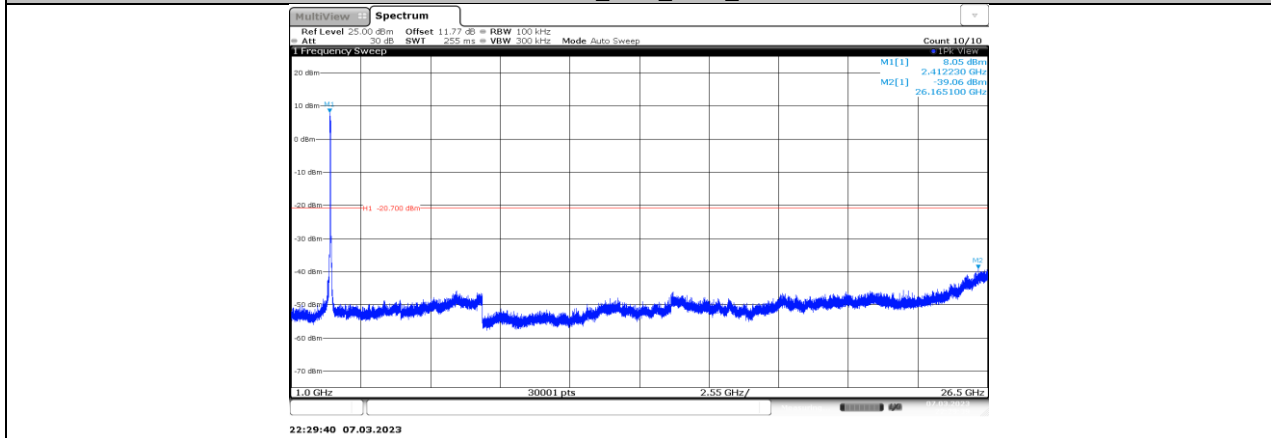
11BE40MIMO_Ant5_2427_1000~26500



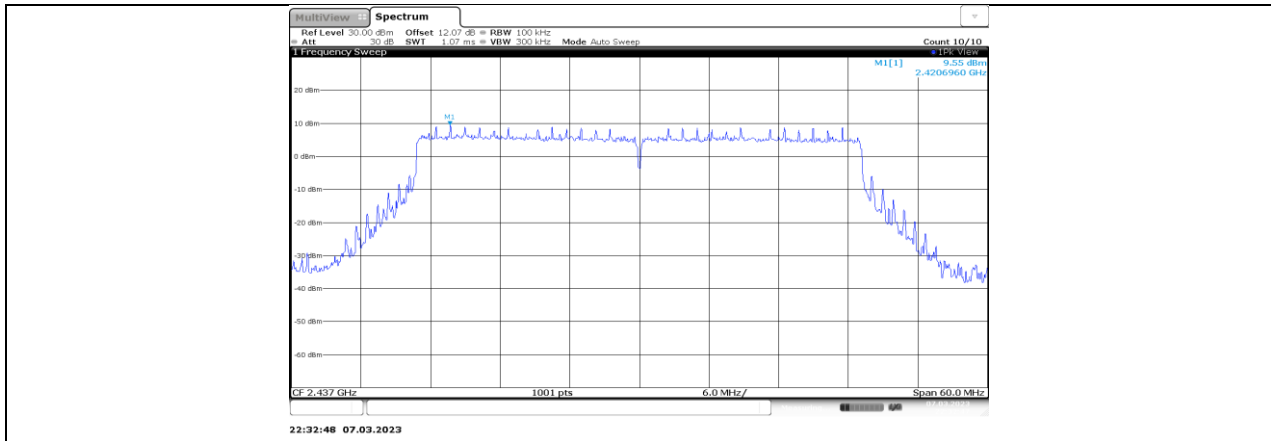
11BE40MIMO_Ant7_2427_0-Reference



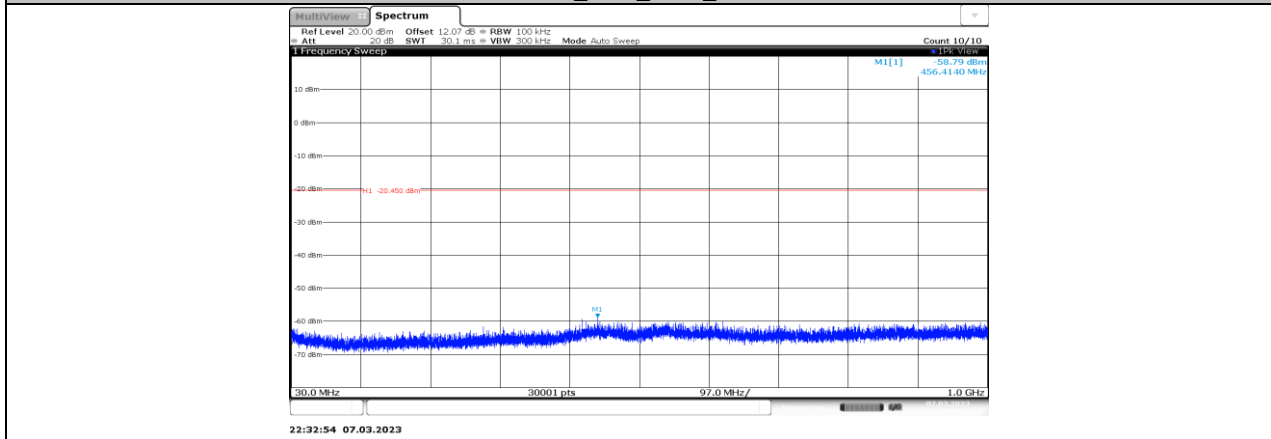
11BE40MIMO_Ant7_2427_30~1000



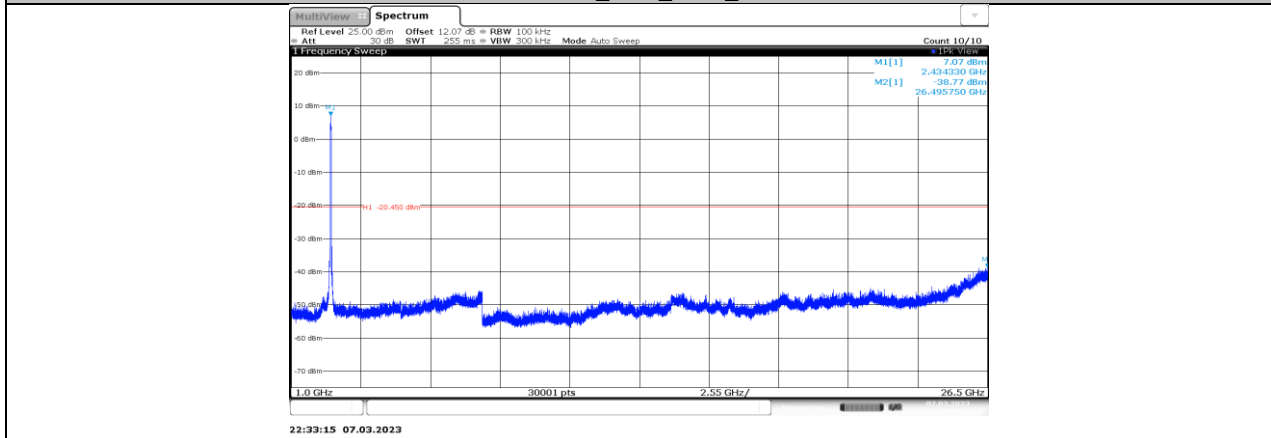
11BE40MIMO_Ant7_2427_1000~26500



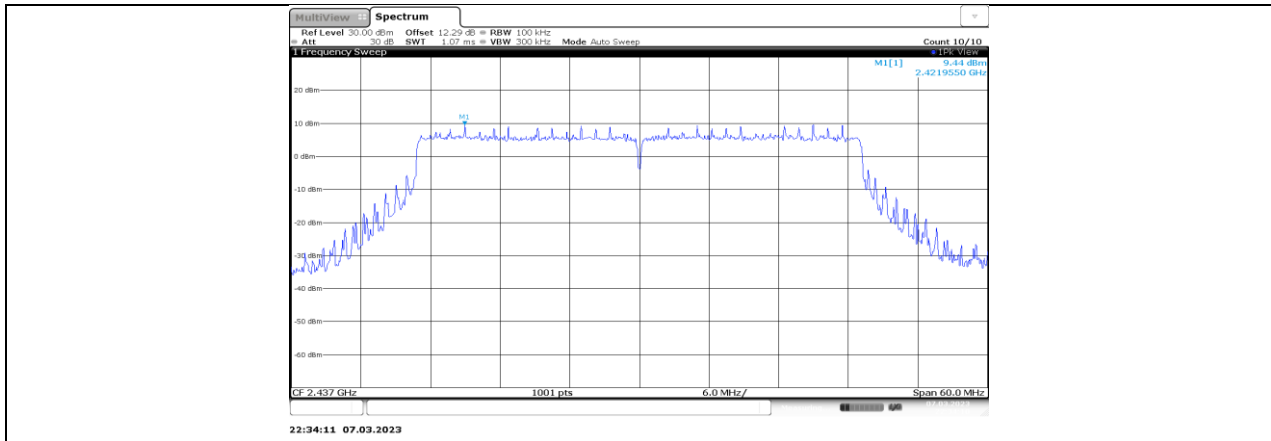
11BE40MIMO_Ant1_2437_0-Reference



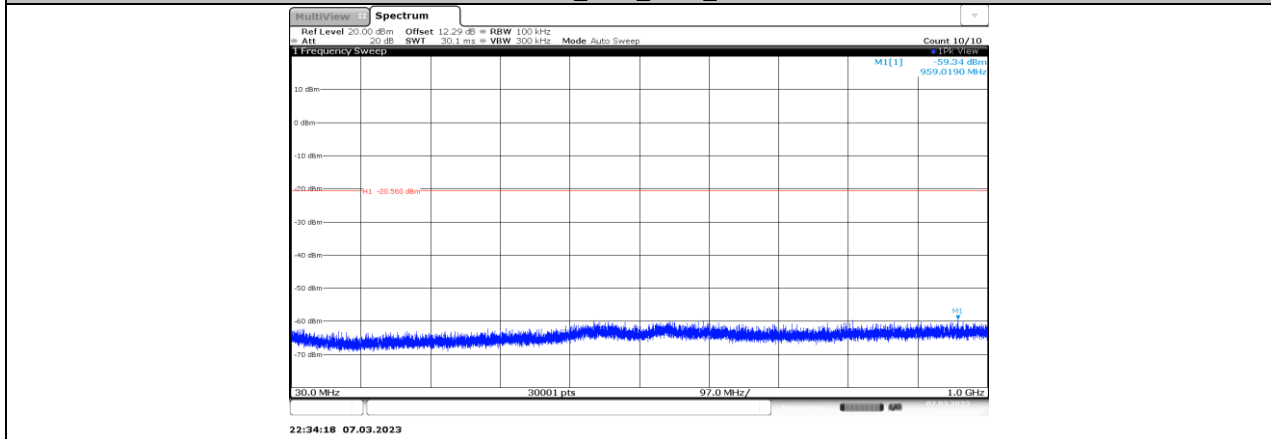
11BE40MIMO_Ant1_2437_30~1000



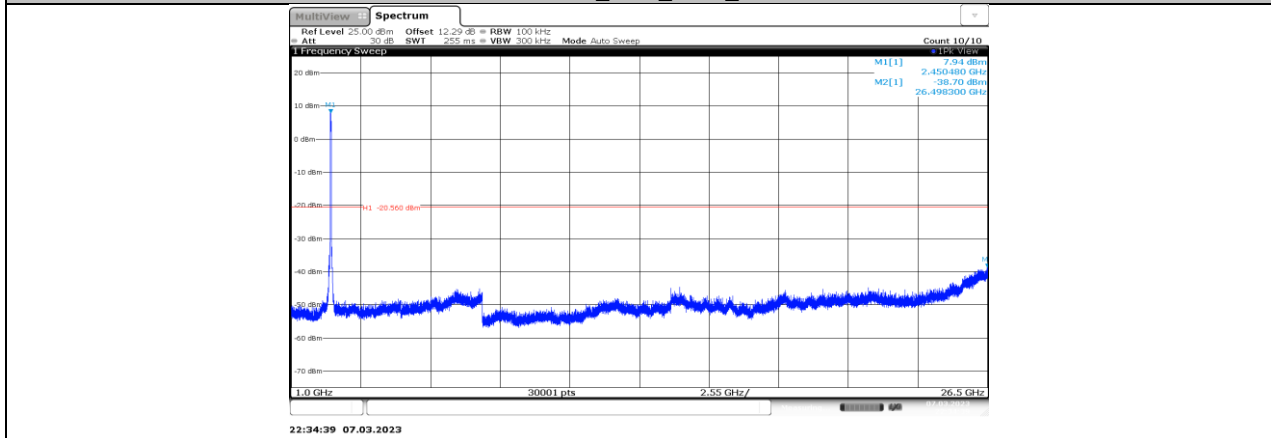
11BE40MIMO_Ant1_2437_1000~26500



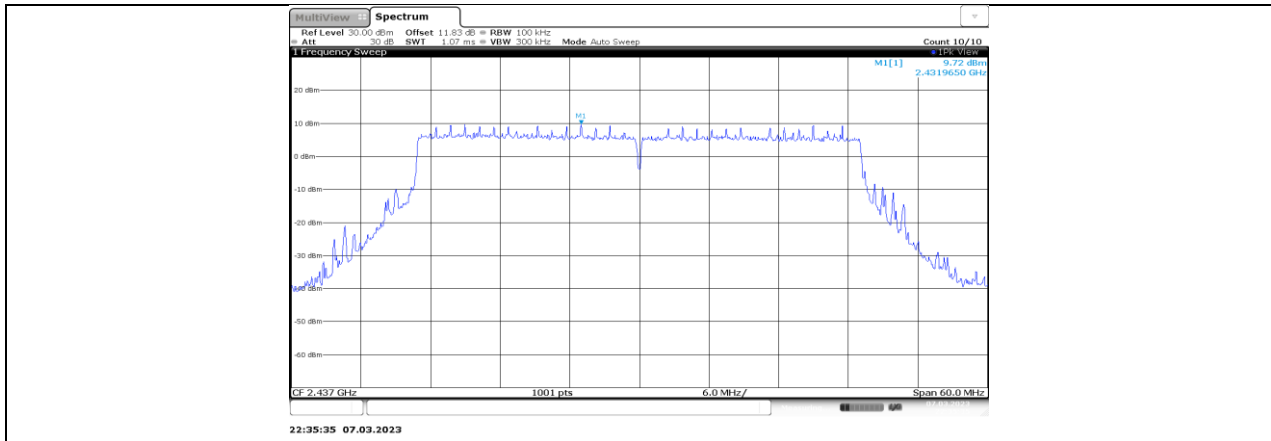
11BE40MIMO_Ant3_2437_0-Reference



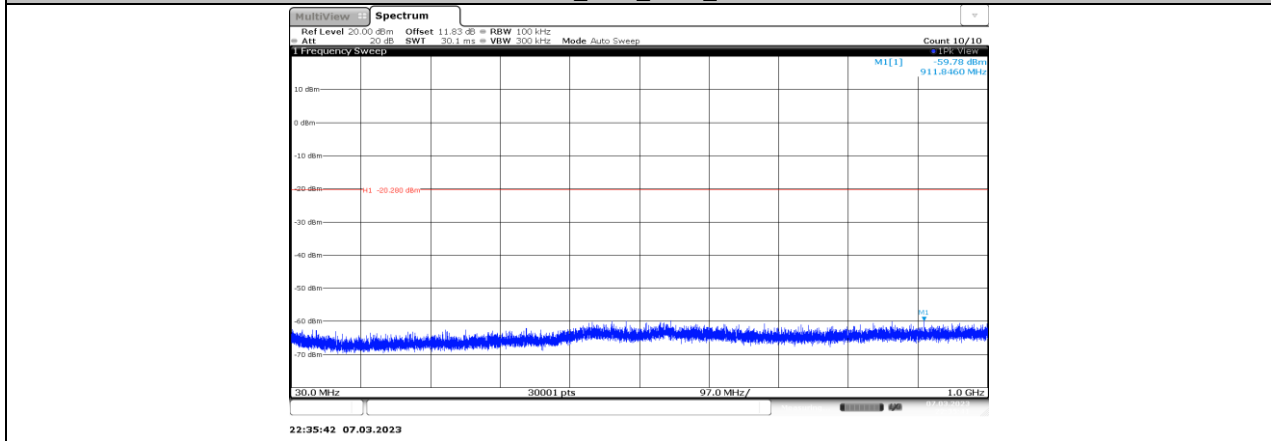
11BE40MIMO_Ant3_2437_30~1000



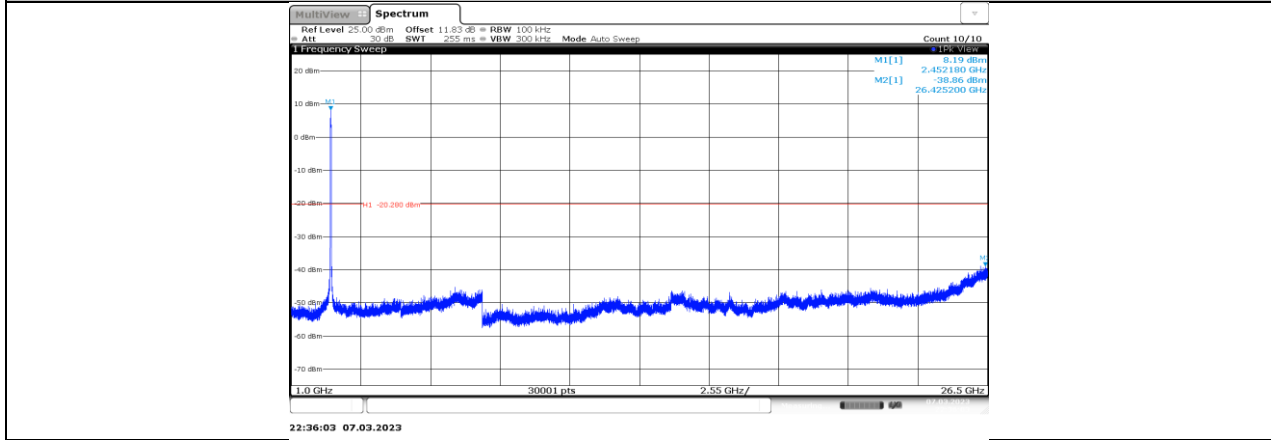
11BE40MIMO_Ant3_2437_1000~26500



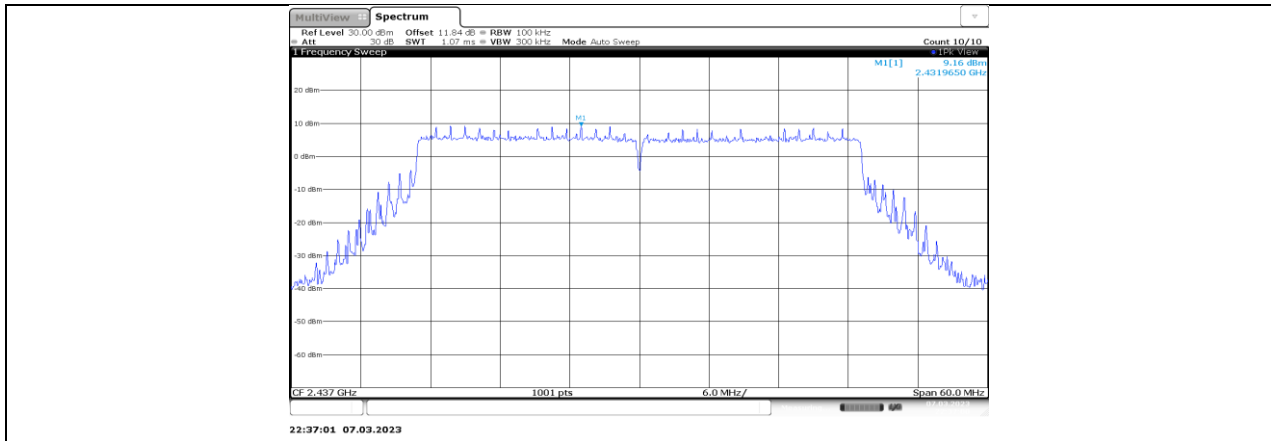
11BE40MIMO_Ant5_2437_0-Reference



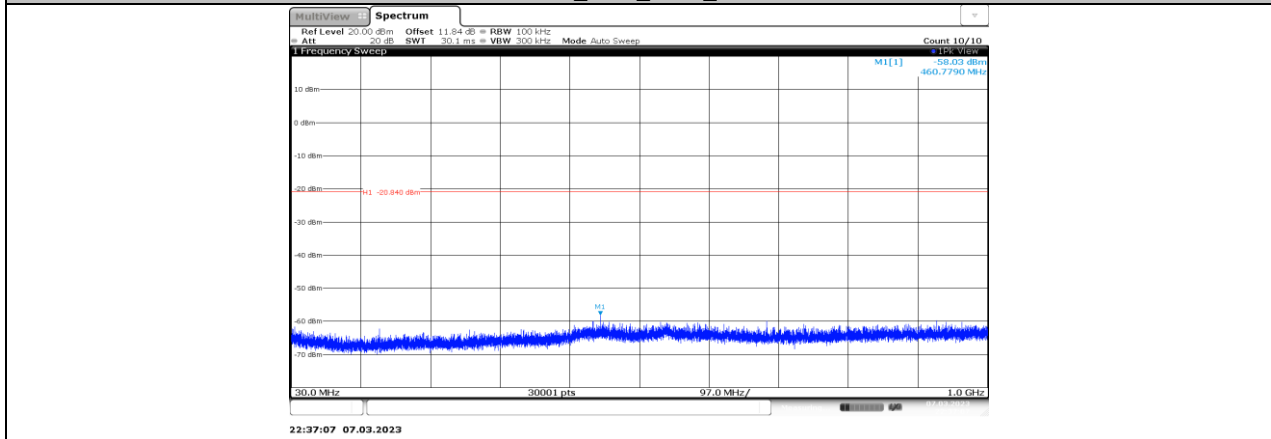
11BE40MIMO_Ant5_2437_30~1000



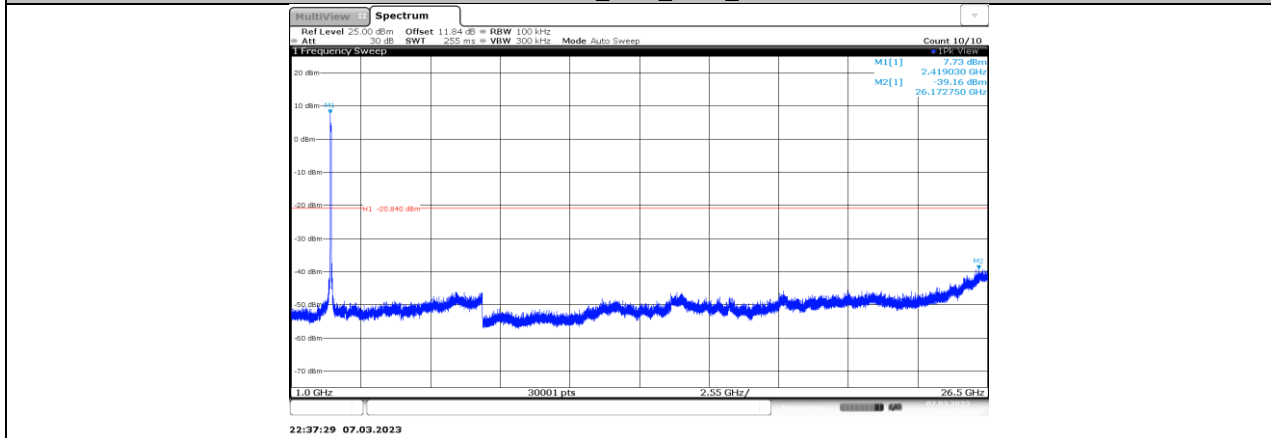
11BE40MIMO_Ant5_2437_1000~26500



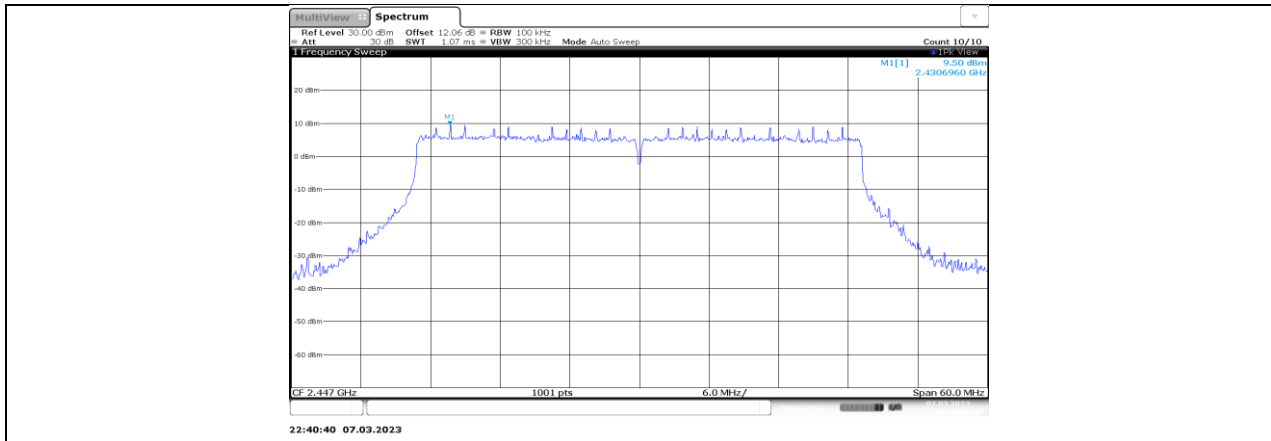
11BE40MIMO_Ant7_2437_0-Reference



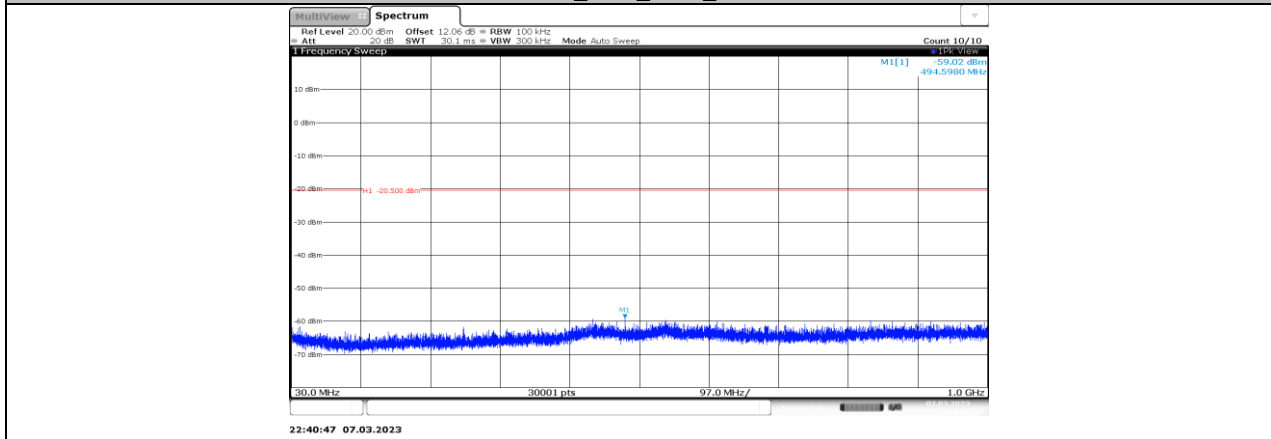
11BE40MIMO_Ant7_2437_30~1000



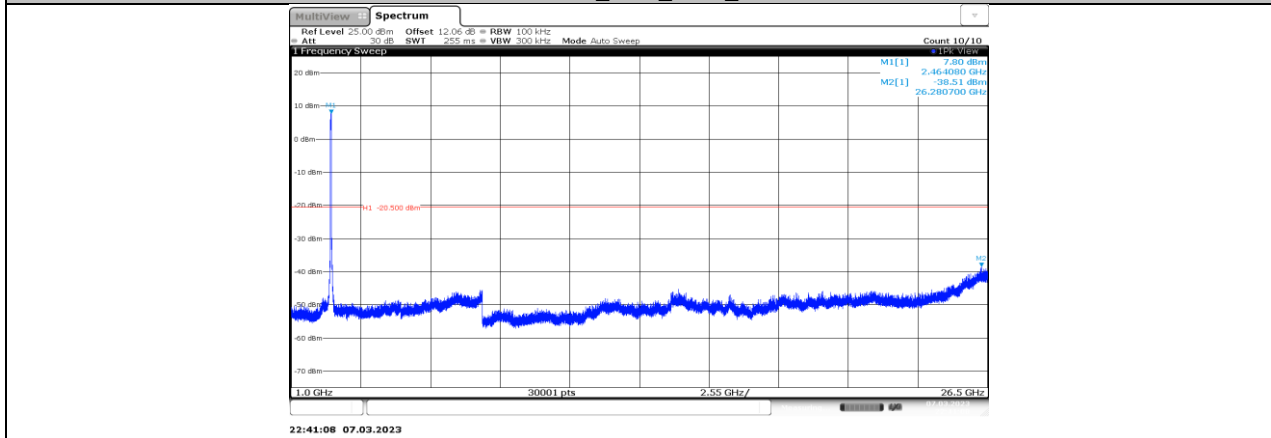
11BE40MIMO_Ant7_2437_1000~26500



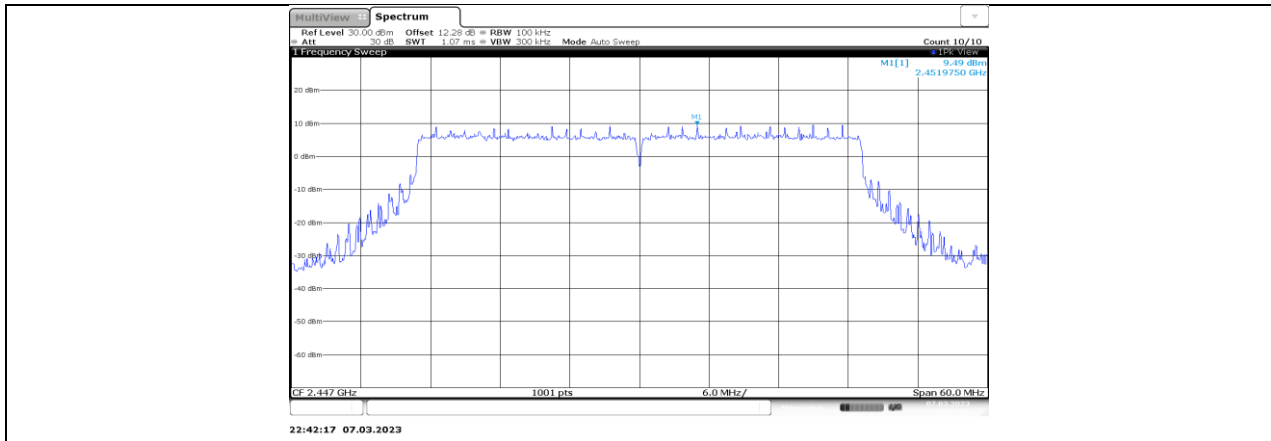
11BE40MIMO_Ant1_2447_0-Reference



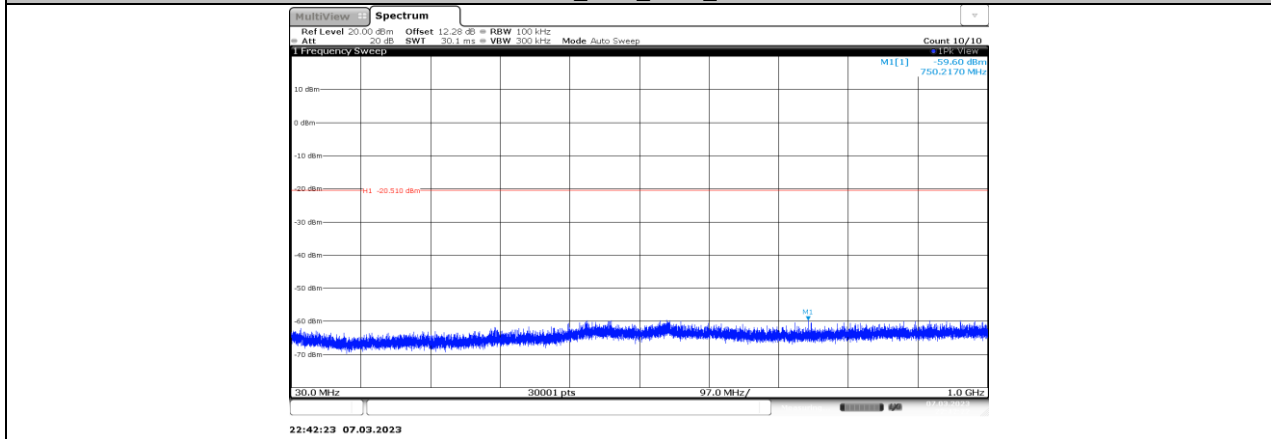
11BE40MIMO_Ant1_2447_30~1000



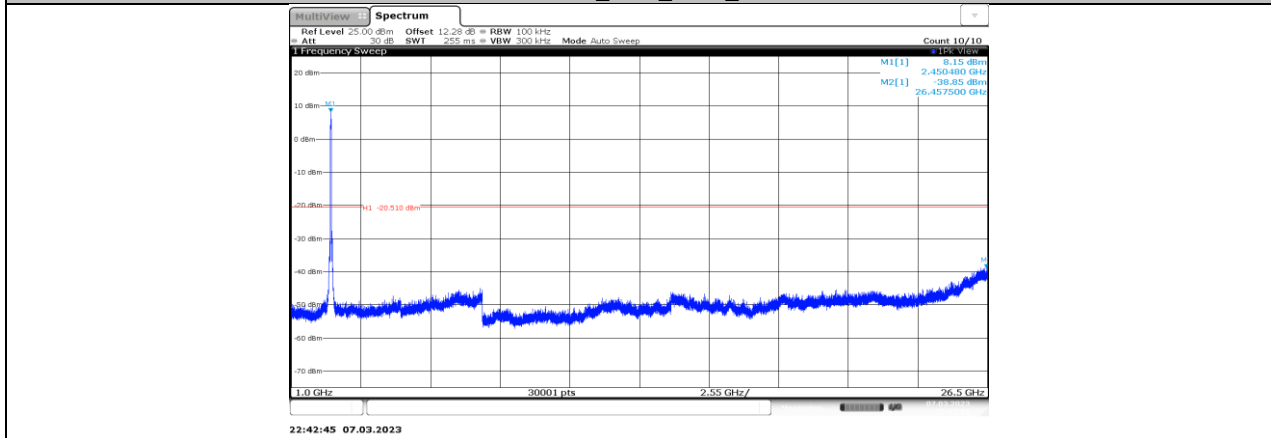
11BE40MIMO_Ant1_2447_1000~26500



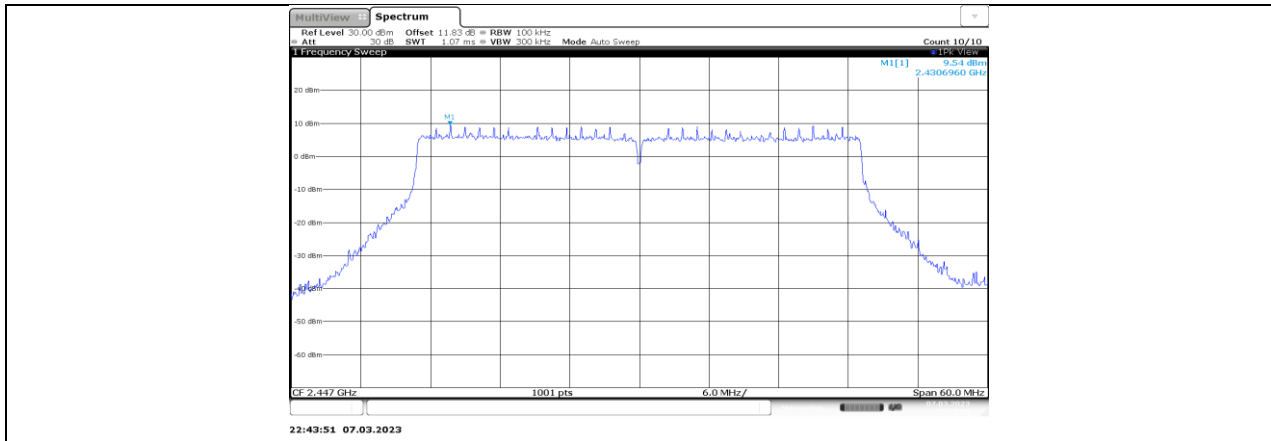
11BE40MIMO_Ant3_2447_0-Reference



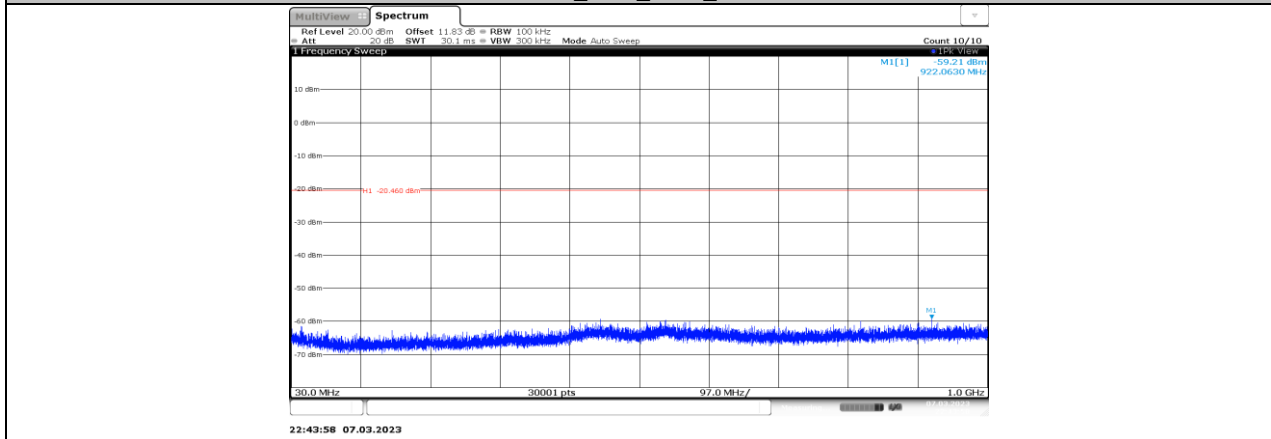
11BE40MIMO_Ant3_2447_30~1000



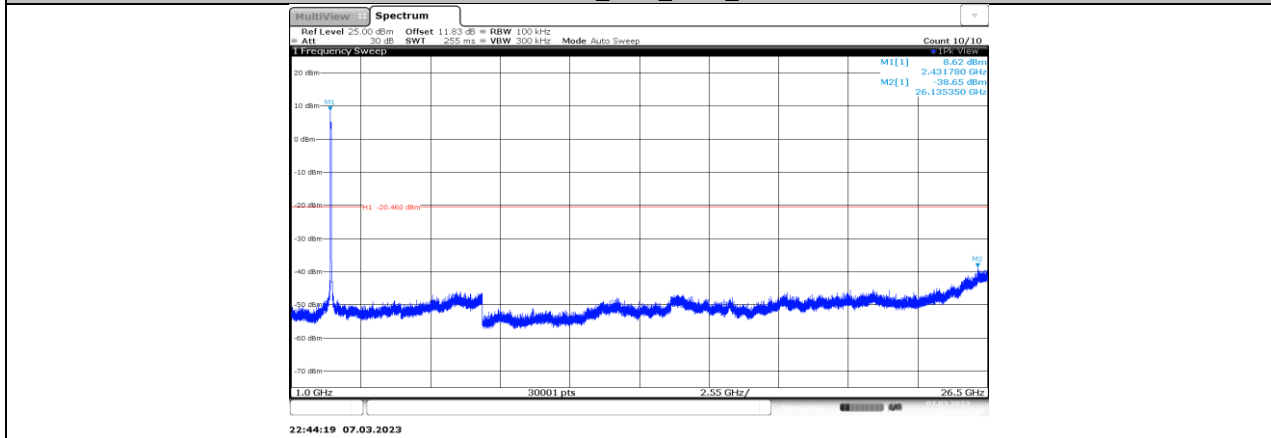
11BE40MIMO_Ant3_2447_1000~26500



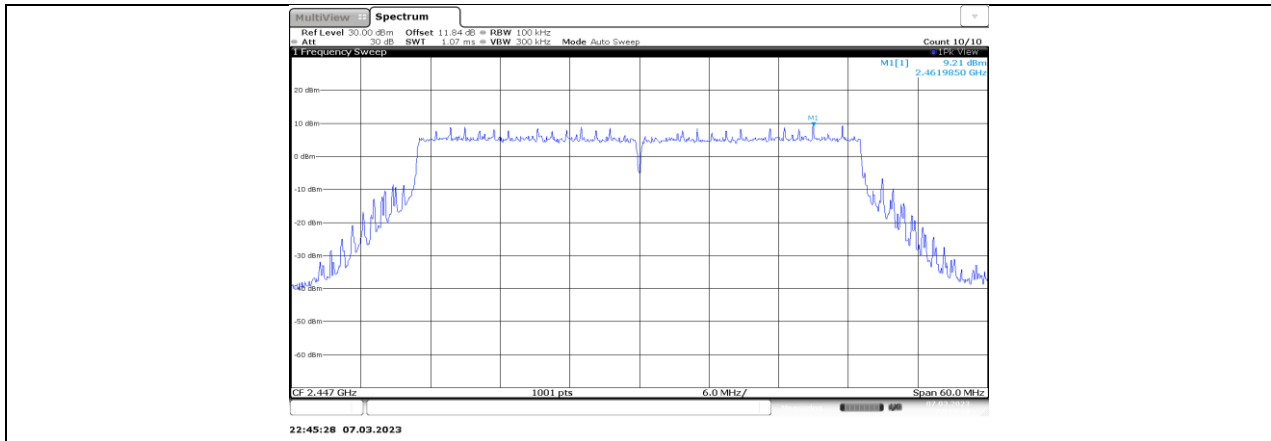
11BE40MIMO_Ant5_2447_0-Reference



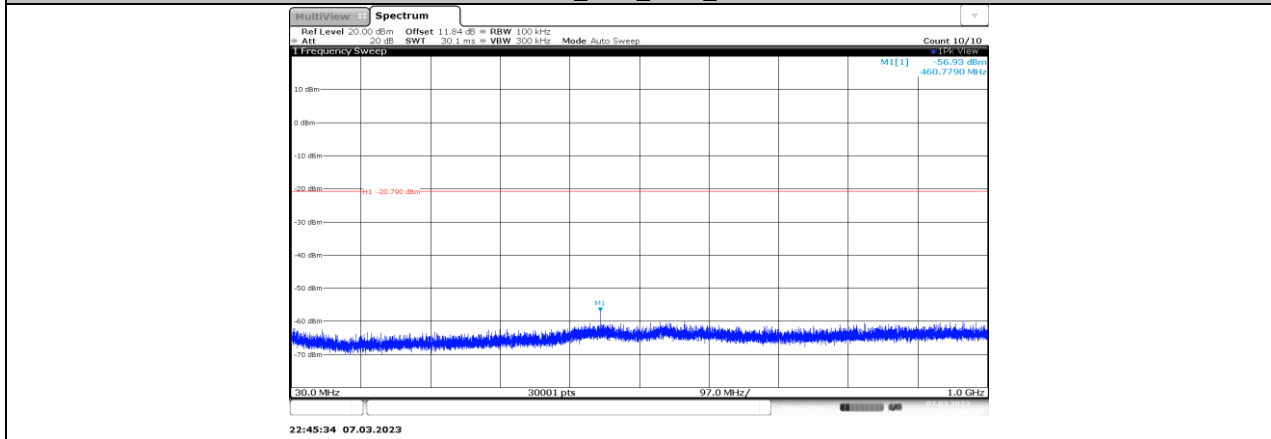
11BE40MIMO_Ant5_2447_30~1000



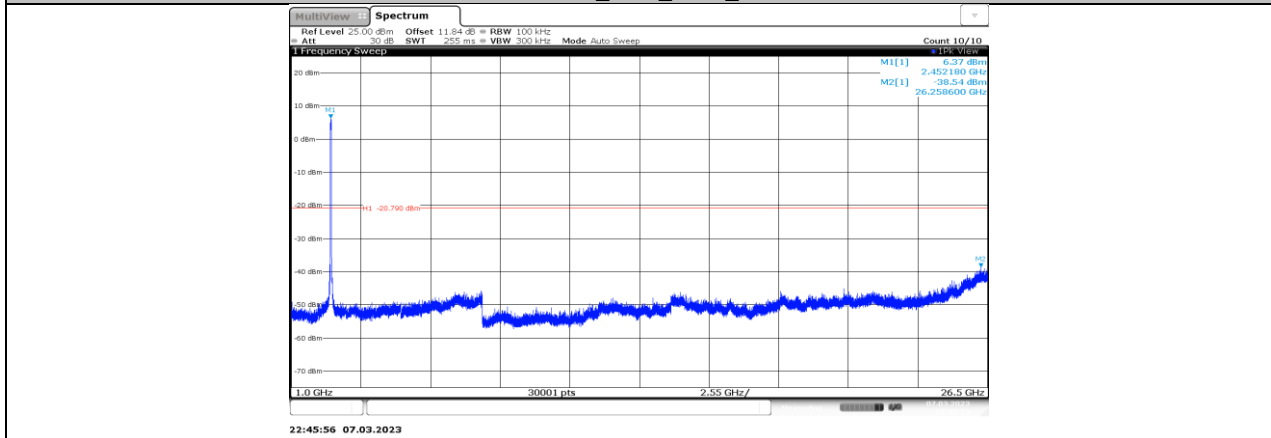
11BE40MIMO_Ant5_2447_1000~26500



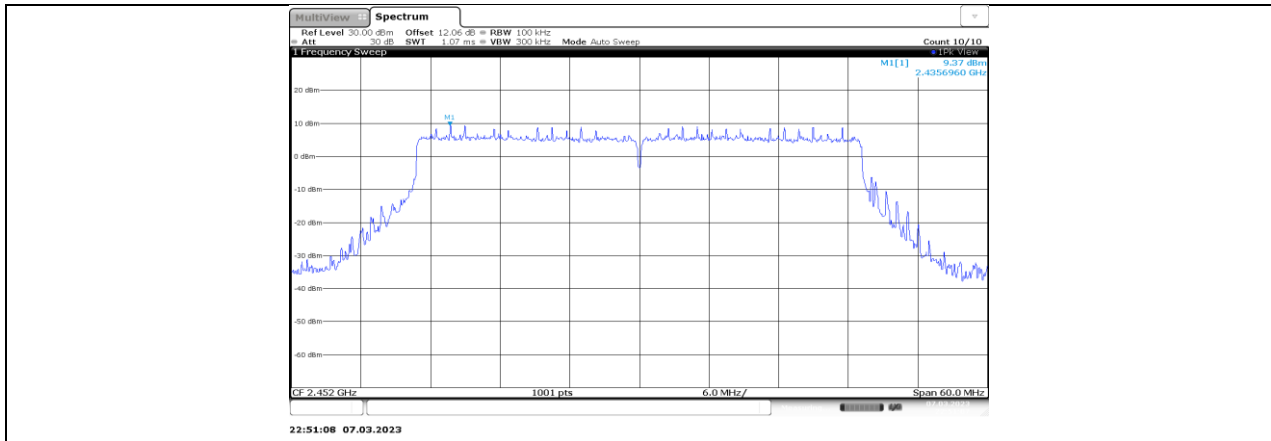
11BE40MIMO_Ant7_2447_0-Reference



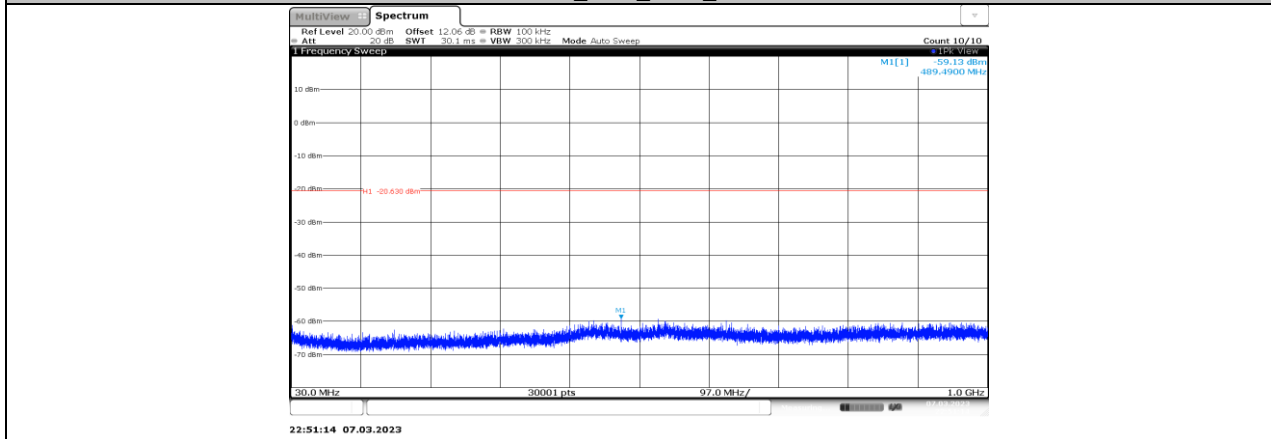
11BE40MIMO_Ant7_2447_30~1000



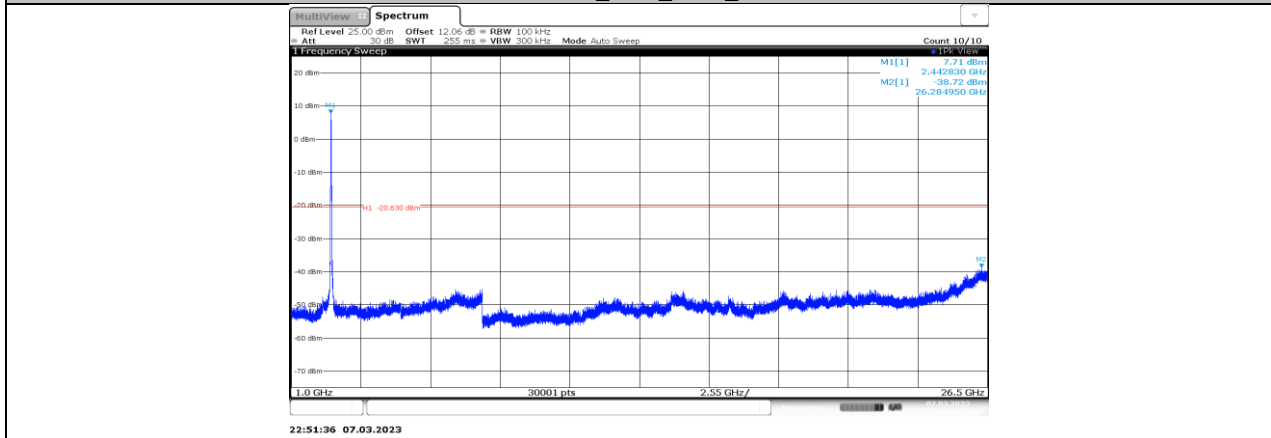
11BE40MIMO_Ant7_2447_1000~26500



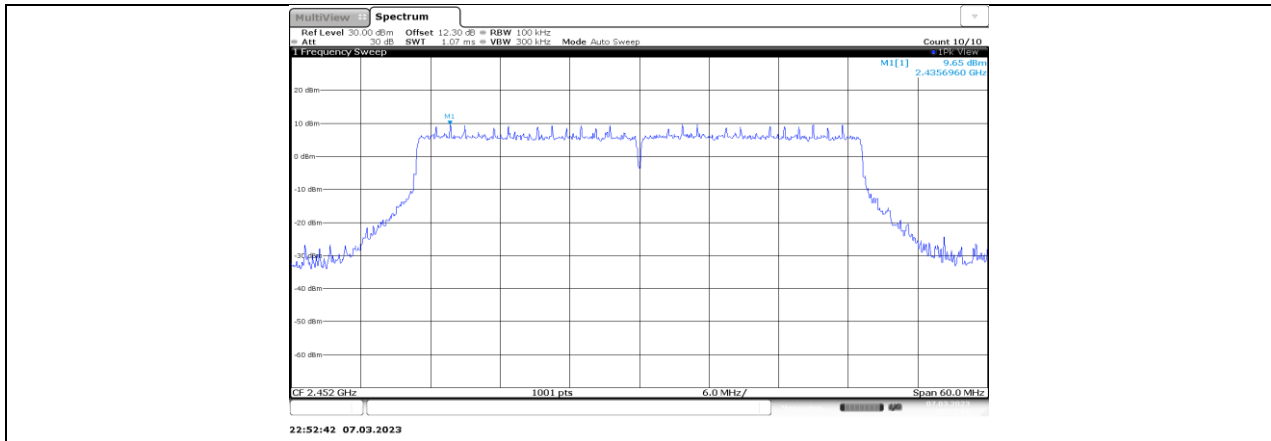
11BE40MIMO_Ant1_2452_0-Reference



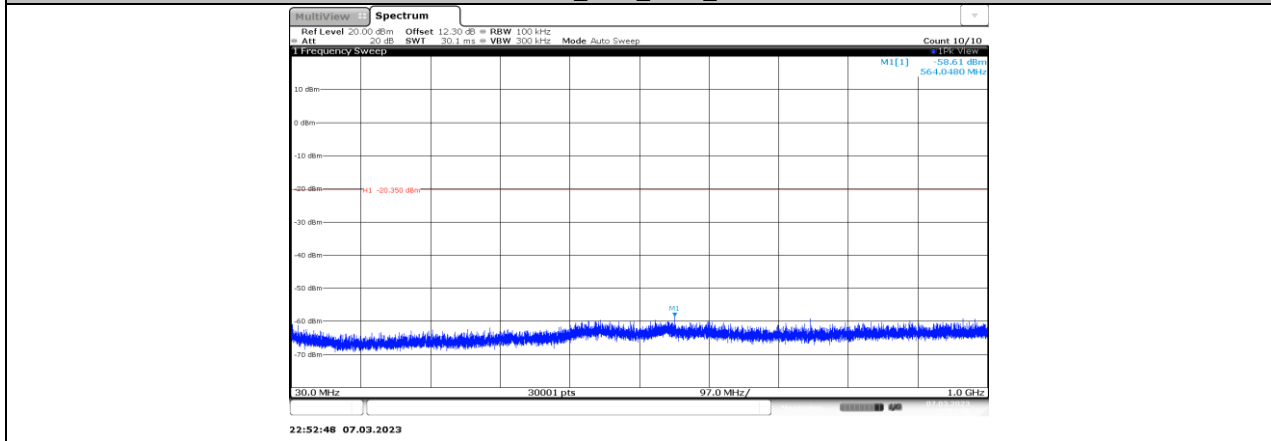
11BE40MIMO_Ant1_2452_30~1000



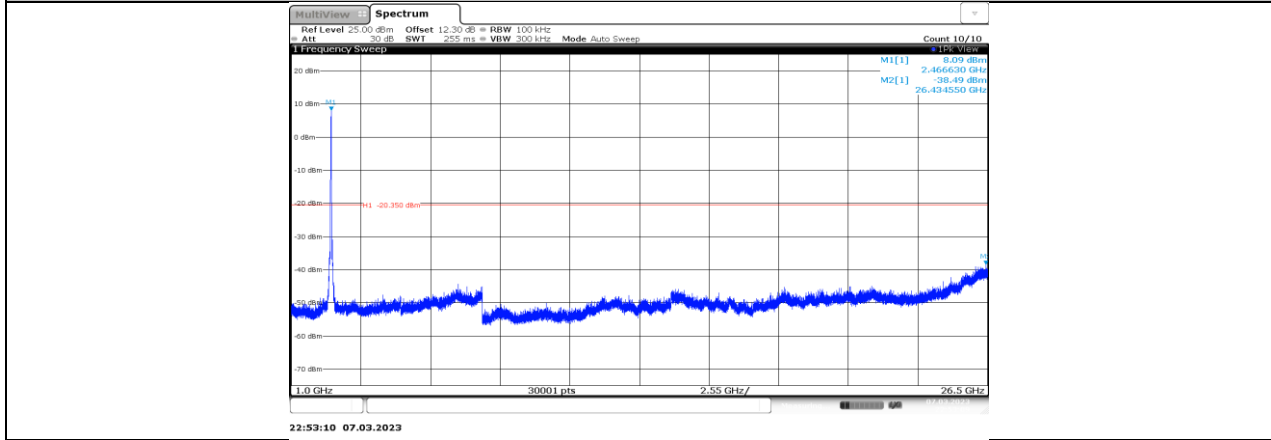
11BE40MIMO_Ant1_2452_1000~26500



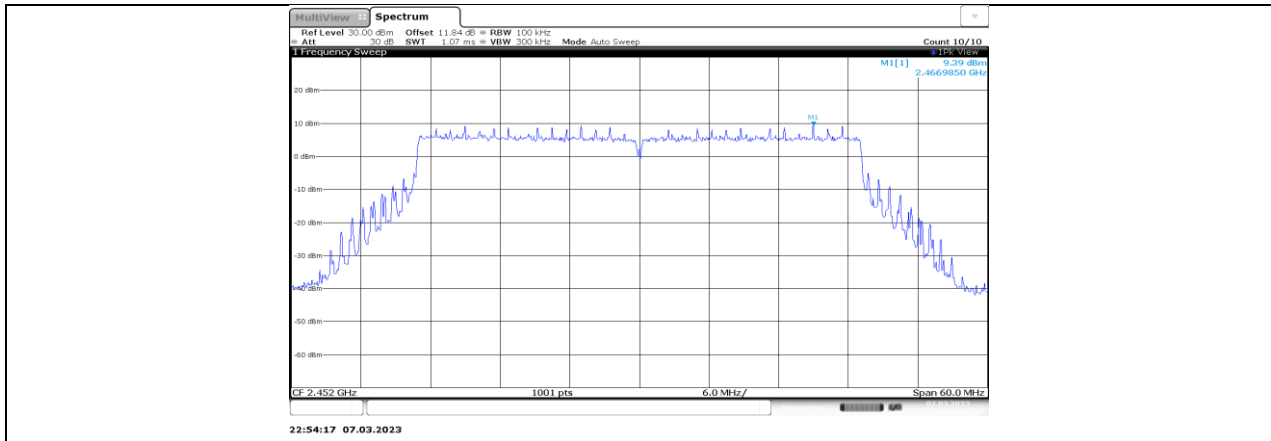
11BE40MIMO_Ant3_2452_0-Reference



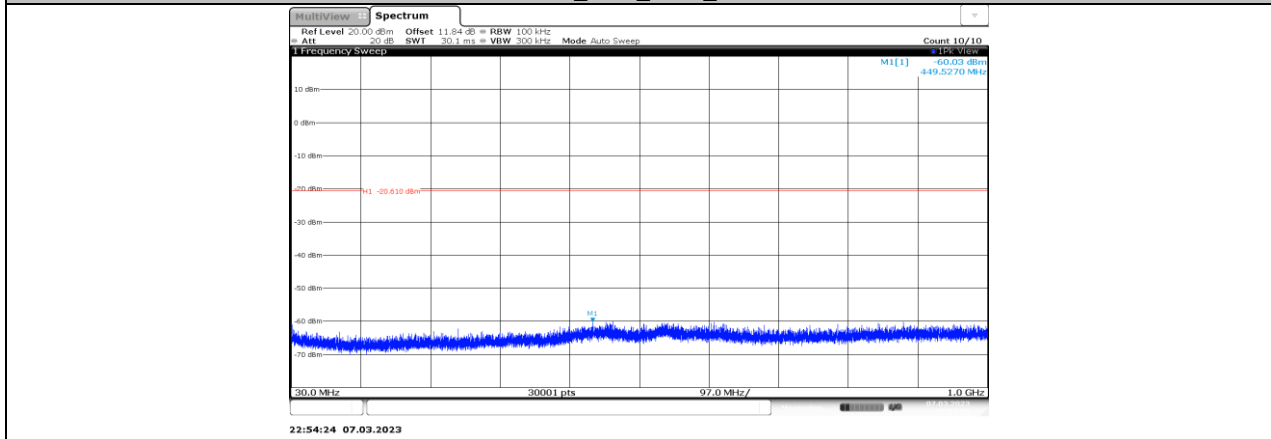
11BE40MIMO_Ant3_2452_30~1000



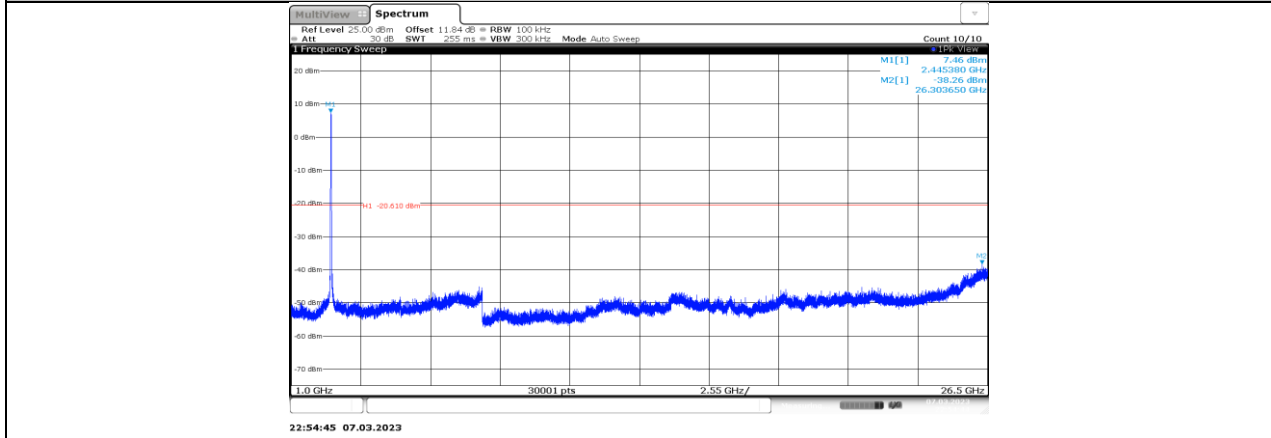
11BE40MIMO_Ant3_2452_1000~26500



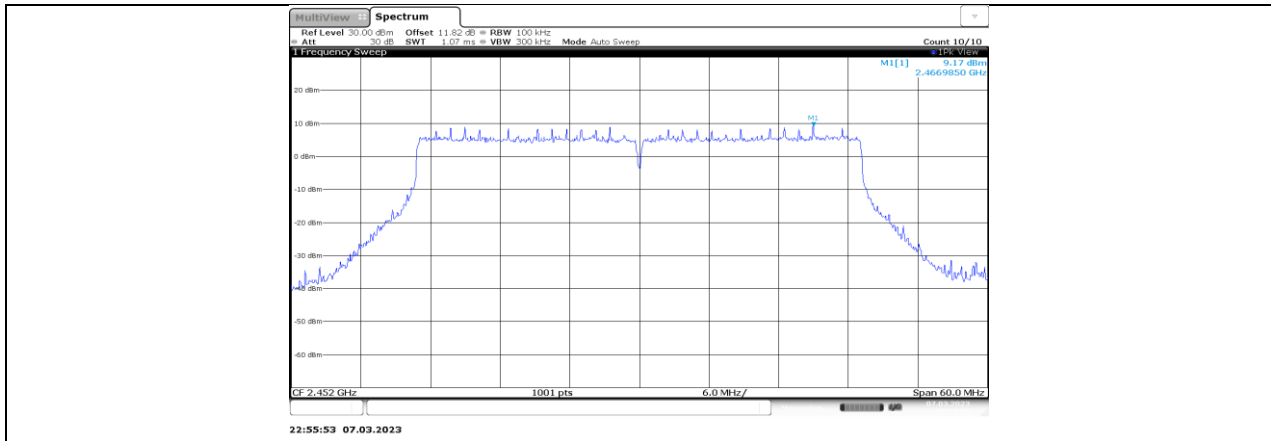
11BE40MIMO_Ant5_2452_0-Reference



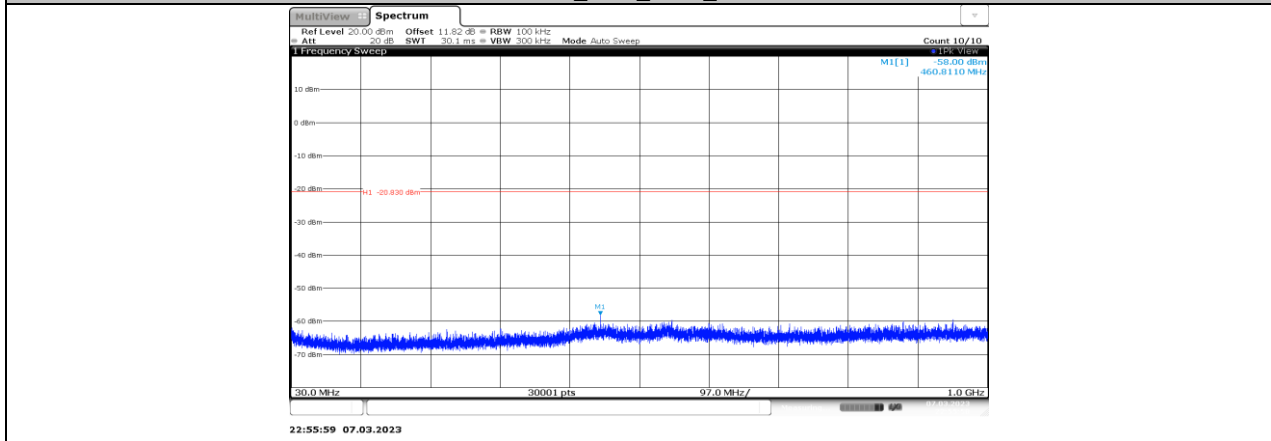
11BE40MIMO_Ant5_2452_30~1000



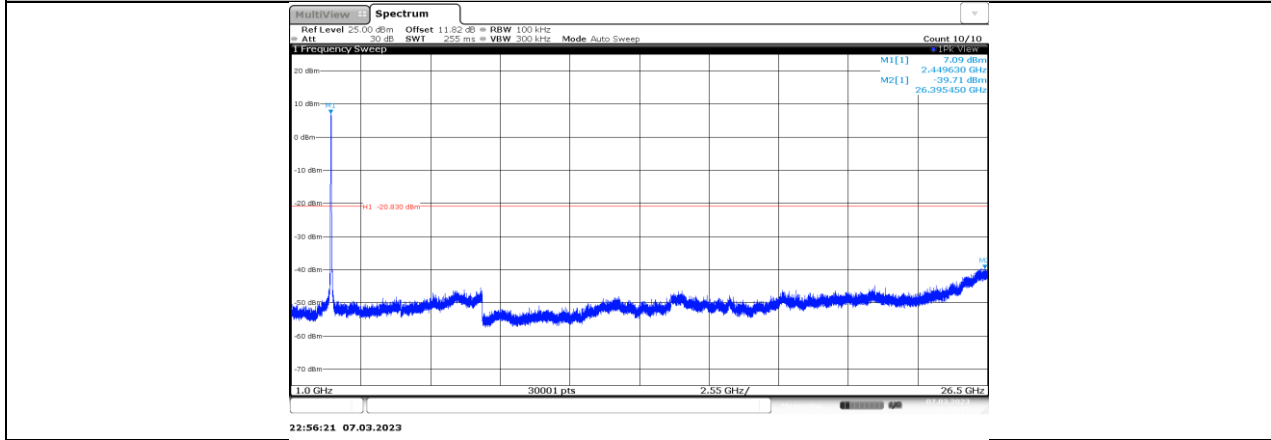
11BE40MIMO_Ant5_2452_1000~26500



11BE40MIMO_Ant7_2452_0-Reference



11BE40MIMO_Ant7_2452_30~1000



11BE40MIMO_Ant7_2452_1000~26500

11.7. APPENDIX G: DUTY CYCLE

11.7.1. Test Result

Test Mode	On Time (msec)	Period (msec)	Duty Cycle ^x (Linear)	Duty Cycle (%)	Duty Cycle Correction Factor (dB)	1/T Minimum VBW (kHz)	Final setting For VBW (kHz)
11B-CDD	13.10	13.22	0.9909	99.09	0.04	N/A	0.5
11G-CDD	2.17	2.33	0.9313	93.13	0.31	0.46	0.5
11AX20MIMO	3.60	3.74	0.9626	96.26	0.17	0.28	0.5
11AX40MIMO	3.61	3.79	0.9525	95.25	0.21	0.28	0.5
11BE20MIMO	3.62	3.79	0.9551	95.51	0.20	0.28	0.5
11BE40MIMO	3.63	3.78	0.9603	96.03	0.18	0.28	0.5

Note:

Duty Cycle Correction Factor=10log (1/x).

Where: x is Duty Cycle (Linear)

Where: T is On Time

If that calculated VBW is not available on the analyzer then the next higher value should be used.

If the EUT is configured to transmit with duty cycle $\geq 98\%$, set VBW \leq RBW/100 (i.e., 10 kHz) but not less than 10 Hz.

11.7.2. Test Graphs

